

**студенты-  
физики**

# **Ответы к экзамену по оптике**

**Барон Яков**

4 семестр  
Русаков В.С.

**2014**

# Оптика.

## Тема 3.

3. Э/и теория света. Уравнение Максвелла и материальное ур-ие. Вакуумное ур-ие. Принцип суперпозиции. Результирующее Э/и волны. Скорость света. Плоские и сферические волны. Комплексное представление гармонических волн.

Лет - Э/и волны. Оптика - наука, изучающая природу оптического излучения (света), его распространение и взаимодействие с веществом. Ставит неспоримо утверждение о том, что оптическое излучение представляет собой Э/и волны. Поэтому оптика является частью общего учения об Э/и волне.

### Ур-ие Максвеля:

$$\left\{ \begin{array}{l} \text{rot} \vec{H} = \frac{\partial \vec{D}}{\partial t} + \vec{j}, \\ \text{rot} \vec{E} = - \frac{\partial \vec{B}}{\partial t}, \\ \text{div} \vec{D} = \rho, \\ \text{div} \vec{B} = 0. \end{array} \right.$$

Материальные ур-ия среды:  $\vec{D} = \vec{D}(\vec{E}), \vec{B} = \vec{B}(\vec{H}), \vec{j} = \vec{j}(\vec{E})$ .  
Всегда эти ф-ции зависят от свойств материальной среды, в которой распространяется волна.

Для вакуума ( $j=0, \rho=0$ ) материальные ур-ия имеют простейший вид:  $\vec{D} = \epsilon_0 \vec{E}; \vec{B} = \mu_0 \vec{H}$ , где  $\epsilon_0 = 8,85 \cdot 10^{-12} \text{Ф/м}$ ,

$$\text{rot} \vec{E} = - \frac{\partial \vec{B}}{\partial t} = - \mu_0 \frac{\partial \vec{H}}{\partial t} \quad \mu_0 = 4\pi \cdot 10^{-7} \text{ Гн/м}.$$

$$\text{rot rot} \vec{E} = \text{grad div} \vec{E} - \Delta \vec{E} = - \mu_0 \text{rot} \frac{\partial \vec{H}}{\partial t} = - \mu_0 \frac{\partial}{\partial t} \text{rot} \vec{H}$$

$$\text{в вакууме: } j=0 \Rightarrow \text{rot} \vec{H} = \epsilon_0 \frac{\partial \vec{E}}{\partial t} \quad \left. \right\} \Rightarrow \Delta \vec{E} = \epsilon_0 \mu_0 \frac{\partial^2 \vec{E}}{\partial t^2}$$

$$\rho=0 \Rightarrow \epsilon_0 \text{div} \vec{E} = 0$$

Окончательно имеем:  $\boxed{\frac{\partial^2 \vec{E}}{\partial t^2} = \frac{1}{\epsilon_0 \mu_0} \Delta \vec{E}}$  — волновое уравнение. ②

$\boxed{c = \frac{1}{\sqrt{\epsilon_0 \mu_0}}}$  — скорость миг волн (скорость света).

Аналогичное волновое уравнение можно получить и для вектора  $\vec{H}$ :  $\boxed{\frac{\partial^2 \vec{H}}{\partial t^2} = \frac{1}{\epsilon_0 \mu_0} \Delta \vec{H}}$

Если записать оба векторных волновых уравнения в скалярном виде, то получим шесть одинаковых волновых уравнений вида:  $\frac{\partial^2 f}{\partial t^2} = c^2 \Delta f$ , где под  $f$  подразумевается любая из шести компонент  $E_x, E_y, E_z, H_x, H_y, H_z$  миг наст. Решение  $f$  наз. уравнением волны.

Водушная волна — волна, которая при распространении в среде передает энергию. Так же как и в случае упругой деформации, передача энергии от торка к торку. Водушная волна связана с тем, что волны электрической и магнитной напряженности находятся в одной фазе.

Пусть функция  $f$  зависит лишь от сферической координаты  $r = \sqrt{x^2 + y^2 + z^2}$ , тогда  $f(x, y, z) = f(r, t)$ .

$$\frac{\partial^2 f}{\partial t^2} = c^2 \Delta f$$

$$\frac{\partial}{\partial x} = \frac{\partial}{\partial r} \frac{\partial r}{\partial x} = \frac{x}{r} \frac{\partial}{\partial r}; \frac{\partial^2}{\partial x^2} = \frac{\partial}{\partial x} \left( \frac{x}{r} \frac{\partial}{\partial r} \right) = \frac{1}{r} \frac{\partial}{\partial r} + \frac{x}{r} \left( \frac{x}{r} \frac{\partial^2}{\partial r^2} - \frac{1}{r^2} \frac{\partial}{\partial r} \right). \text{ Тогда,}$$

$\frac{\partial^2 f}{\partial t^2} = c^2 \frac{1}{r} \frac{\partial^2}{\partial r^2} (rf)$ . Пусть  $\psi = rf$ , тогда:  $\frac{\partial^2 \psi}{\partial t^2} = c^2 \frac{\partial^2 \psi}{\partial r^2}$ . Решение этого волнового уравнения представляет собой суперпозицию волновых возмущений, движущихся навстречу друг другу:

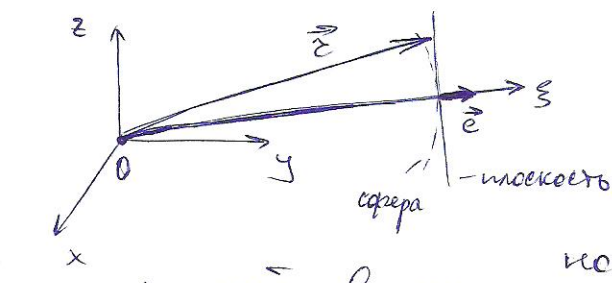
$$\psi(r, t) = \psi_1(t - \frac{r}{c}) + \psi_2(t + \frac{r}{c}), \text{ где } \psi_1, \psi_2 \text{ — произвольные функции.}$$

Окончательное уравнение сферической волны имеет вид:

$$\boxed{f(r, t) = \frac{\psi_1(t - \frac{r}{c})}{r} + \frac{\psi_2(t + \frac{r}{c})}{r}}$$

Первое синтезе в правой части представляет собой ③ сферическую волну, расходящуюся от начала координат, а второе — скользящуюся к началу координат. Важно отметить, что у расходящейся волны возмущение усиливается обратно пропорционально проходившему волной расстоянию, а у скользящейся, наоборот, нарастает.

На больших расстояниях от начала координат фронт сферической волны может быть представлен в виде плоской волны. Если ввести единичной нормальной единицей  $\vec{e}$ , то функция  $f$  постоянна на плоскости  $\vec{r} \cdot \vec{e} = \text{const}$  и зависит только от координаты  $\xi = \vec{r} \cdot \vec{e}$ , отсчитываемой вдоль направления нормали к плоскости. Поэтому уравнение должно зависеть от координаты и времени:  $f(\vec{r}, t) = f[(\xi), t]$ . Остается:



такой волны не изменяется с прохождением волной расстоянием:  $\frac{\partial^2 f}{\partial t^2} = c^2 \frac{\partial^2 f}{\partial \xi^2} \rightarrow f(\xi, t) = f_1(t - \frac{\xi}{c}) + f_2(t + \frac{\xi}{c})$ , где  $f_1$  и  $f_2$  — производные фазы. Примечание: окончательное уравнение плоской волны имеет вид:

$$f(\vec{r}, t) = f_1(t - \frac{\vec{r} \cdot \vec{e}}{c}) + f_2(t + \frac{\vec{r} \cdot \vec{e}}{c})$$

В отличие от сферической волны возмущение в плоской волне не изменяется с прохождением волной расстоянием.

Уравнение гармонической волны:

$$f(x, y, z, t) = A(x, y, z) \cos[\omega t - \varphi(x, y, z)]$$

В практике широко используется комплексное представление уравнения волны:  $f = \frac{1}{2} [A e^{i(\omega t - \varphi)} + A^* e^{-i(\omega t - \varphi)}]$ .

Если ввести комплексную амплитуду  $\hat{A} = A e^{i\varphi}$ , то получим комплексное представление гарм. волны:

$$f = \frac{1}{2} [\hat{A} e^{i\omega t} + \hat{A}^* e^{-i\omega t}]$$

2. Нелинейные оптические явления. Поляризация (4)  
среде в поле высокинтенсивного лазерного излучения.  
Среде с квадратичной нелинейностью. Оптическое детек-  
тирование и генерация гармоник.

При распространении высокинтенсивных волн, генери-  
руемых лазерами, могут возникать новые оптические яв-  
ления, которые невозможно было наблюдать до изобретения  
лазеров. В поле волн, где которых напряженность  $E$   
ион склеровской волны сопоставима с напряженностью  
Еа характерного внутримолекулярного поля, следя  $\vec{E}$  в поло-  
рении  $\vec{D} \propto \vec{E}$  становится нелинейной. Поскольку  $\vec{D} =$   
 $= E_0 \vec{E} + \vec{P}$ , напряженность среды  $\vec{P}$  нелинейным обра-  
зом зависит от напряженности  $\vec{E}$ . Физикохимическая  
эта зависимость можно представить в виде ряда:

$$P(E) = \epsilon_0 \chi E + \epsilon_0 \chi_2 E^2 + \epsilon_0 \chi_3 E^3 + \dots$$
, где  $\chi$  - линейная  
восприимчивость;  $\chi_2$  и  $\chi_3$  - квадратичная и кубичная  
нелинейные восприимчивости соответственно.

Квадратичной нелинейностью обладают кристаллы, у  
которых отсутствует центр симметрии (KDP, LiNbO<sub>3</sub> и др.).  
Эти кристаллы обладают электрооптическими св-ваами  
и являются неизоморфиками.

Направлен на кристалле KDP напоследнюю имущее  
излучение неодимового лазера ( $\lambda = 1,06 \text{ мкм}$ ). При опреде-  
лённой ориентации кристалла на его выходе появля-  
ется излучение с длиной волны  $\lambda = 0,53 \text{ мкм}$ , который  
на экране даёт сплошную зелёного света. Таким об-  
разом, в кристалле генерируется волна удвоенной частоты,  
которая наз. второй гармоникой излучения лазера.

Нелинейное явление ГВГ, в средах с квадратичной не-  
линейностью возможно Бианисовские волны с частотами  
 $\omega_1$  и  $\omega_2$ . В результате могут генерироваться гар-

ионики с частотами  $2\omega_1$  и  $2\omega_2$ , волны разностной  $(5)$   $\omega_1 - \omega_2$  и суммарной  $\omega_1 + \omega_2$  гармоник. Сложение гармоник  $2\omega$  и  $\omega$  происходит в кристалле KDP, расположенным позади кристалла  $\text{LiNbO}_3$ . В результате появляется излучение частоты  $3\omega = 2\omega + \omega$  (третий гармоник).

Пусть в кристалле вдоль оси Oz распространяются две волны с частотами  $\omega_1$  и  $\omega_2$ . Тогда суммарное эл. поле обеих волн:

$$E(z, t) = A_1 \cos(\omega_1 t - k_1 z) + A_2 \cos(\omega_2 t - k_2 z), \text{ где } k_1 = \frac{n(\omega_1) \omega_1}{c}; k_2 = \frac{n(\omega_2) \omega_2}{c}.$$

Вместе с этим полем в среде будет распространяться волна нелинейной поглощации

$P_n(z, t) = \epsilon_0 \mathcal{H} [A_1 \cos(\omega_1 t - k_1 z) + A_2 \cos(\omega_2 t - k_2 z)]$ , которая, в соответствии с классической теорией излучения, будет порождать волны с частотами  $\omega_1$  и  $\omega_2$ , как это и происходит в линейной среде. Однако волна нелинейной поглощации

$$P_{nn}(z, t) = \epsilon_0 \chi_2 [A_1 \cos(\omega_1 t - k_1 z) + A_2 \cos(\omega_2 t - k_2 z)]^2$$

будет порождать волны с частотами  $2\omega_1$ ,  $2\omega_2$ ,  $\omega_1 - \omega_2$  и  $\omega_1 + \omega_2$ .

В волне лишь одной волны (волны накачки)  $E = A \cos(\omega t - k)$

$$P_{nn} = \epsilon_0 \chi_2 \frac{A^2}{2} [1 + \cos(2\omega t - 2kz)].$$

Первое слагаемое описывает постоянную во времени поглощацию среды, пропорциональную интенсивности волны,  $I \sim A^2/2$ . Появление поглощения наз. оптическим детектированием. Второе слагаемое описывает волну поглощации частотой  $2\omega$ , движущуюся в среде со скоростью:

$$v_p = \frac{2\omega}{2k} = \frac{c}{n(\omega)} = v, \text{ равной скорости}$$

движения волны накачки. Волна нелинейной поглощации будет генерировать волну второй гармоники:

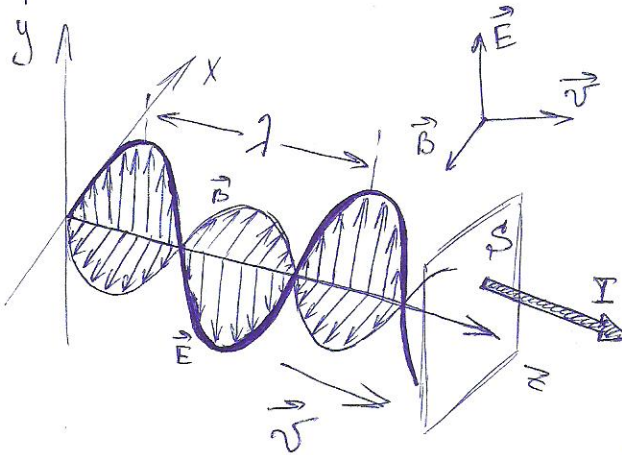
$$E_2(z, t) = A_2 \cos(\omega_2 t - k_2 z), \text{ где } \omega_2 = 2\omega, k_2 = \frac{2\omega n(2\omega)}{c}.$$

Скорость этой волны

$$v_2 = \frac{\omega_2}{k_2} = \frac{2\omega}{k_2} = \frac{c}{n(2\omega)}.$$

Тема 2.

1. Поток и мощность потока энергии ЭМ волны. Вектор Умова - Пойнтинга. Интенсивность света. Закон изменения энергии ЭМ волны.



Поток энергии ЭМ волны — энергия, передаваемая волной в единицу времени.

Мощность потока энергии ЭМ волны — энергия, передаваемая волной за единицу времени, из полусферу единичного сечения, ориентированную перпендикулярно распространяющейся волне. Эта характеристика определяется вектором Умова - Пойнтинга  $\vec{S}$ :

$$\vec{S} = [\vec{E} \times \vec{H}]$$

Поток энергии „пulsирует“ с течением времени. Поэтому на практике пользуются средней за период величиной мощности потока энергии. Эта величина называется интенсивностью волны и равна:  $I = \langle |\vec{S}| \rangle_T$ .

В случае ~~однородной~~ гармонической волны:  $S_z = E_x H_y$  (вектор имеет лишь  $z$ -компоненту распространения)

$$\text{т.к. } E_x = A \cos(\omega t - kz) \quad \left\{ \begin{array}{l} S_z = c \epsilon_0 A^2 \cos^2(\omega t - kz) \\ H_y = \frac{\epsilon_0}{\mu_0} E_x \quad E_x = c \epsilon_0 E \\ I = \langle S_z \rangle = \frac{1}{T} \int_0^T S_z dt = \frac{1}{2} c \epsilon_0 A^2. \end{array} \right.$$

Обозначение  $\mathcal{U}$  и обобщенную мощность энергии ЭМ волны:

$$\mathcal{U} = \frac{1}{2} (\epsilon_0 E^2 + \mu_0 H^2) = \frac{1}{2} (\epsilon_0 \vec{E} \cdot \vec{E} + \mu_0 \vec{H} \cdot \vec{H})$$

$$\text{rot } \vec{E} = \mu_0 \frac{\partial \vec{H}}{\partial t}$$

$$\vec{H} \cdot \text{rot } \vec{E} = \mu_0 \vec{H} \cdot \frac{\partial \vec{E}}{\partial t}$$

$$\text{rot } \vec{H} = \vec{j} + \epsilon_0 \frac{\partial \vec{E}}{\partial t}$$

$$\vec{E} \cdot \text{rot } \vec{H} = \vec{j} \cdot \vec{E} + \epsilon_0 \vec{E} \cdot \frac{\partial \vec{E}}{\partial t}$$

$$\vec{E} \cdot \text{rot } \vec{H} - \vec{H} \cdot \text{rot } \vec{E} = \vec{j} \cdot \vec{E} + \epsilon_0 \vec{E} \cdot \frac{\partial \vec{E}}{\partial t} + \mu_0 \vec{H} \cdot \frac{\partial \vec{H}}{\partial t}$$

$$-\text{div} [\vec{E} \times \vec{H}] = \vec{j} \cdot \vec{E} + \epsilon_0 \vec{E} \cdot \frac{\partial \vec{E}}{\partial t} + \mu_0 \vec{H} \cdot \frac{\partial \vec{H}}{\partial t}$$

$$\text{div } \vec{S} + \epsilon_0 \vec{E} \cdot \frac{\partial \vec{E}}{\partial t} + \mu_0 \vec{H} \cdot \frac{\partial \vec{H}}{\partial t} + \vec{j} \cdot \vec{E} = 0$$

$$\boxed{\text{div } \vec{S} + \vec{j} \cdot \vec{E} + \frac{\partial \vec{u}}{\partial t} = 0} - \text{теорема Гаусса для з-н со спр. энергии Э и магн. пол.$$

2. Нелинейные оптические явления. Поляризации среды в поле высокочастотного излучения. Среды с кубичной нелинейностью. Самофокусировка волновых пучков и генерация гармоник.

ан. Томет 1 (n. 2)

~~~~~ +

Если в среде, где которой  $\chi_2 = 0$ , распространяется монохроматическая волна, то поляризации среды:

$$P = \epsilon_0 \Re E + \epsilon_0 \chi_3 E^3 \quad (1)$$

$$E(z, t) = A \cos(\omega t - kz) = \frac{1}{2} \hat{A} e^{i\omega t} + \frac{1}{2} \hat{A}^* e^{-i\omega t} \quad (2)$$

Подставим (2) в (1) и среды имеем сума слагаемых умноженных на, которые изменяются во времени с частотой  $\omega$  падающей волны. Таких слагаемых будет три. Тогда поляризации среды на частоте  $\omega$  будет определяться выражением:

$$P = \epsilon_0 \Re E + \epsilon_0 \cdot \frac{3}{8} \chi_3 A^2 E \quad (\text{т.к. } \hat{A} \cdot \hat{A}^* = A^2).$$

Из равенства  $D = \epsilon_0 E + P = \epsilon_0 E E$  следует, что диэлектрическая проницаемость равна:

$$E = \underbrace{1 + D}_{=n_0} + \frac{3}{8} \chi_3 A^2 \text{ и зависит от}$$

интенсивности волны. Влияние показатель пропорционально интенсивности волны:

$$n = \sqrt{\epsilon} = \sqrt{n_0 + \frac{3}{8} \chi_3 A^2} \approx n_0 + \frac{3}{16} \frac{\chi_3}{n_0} A^2$$

Если перейти к интенсивности  $I = \frac{1}{2} c \epsilon_0 A^2$ , то: ⑧

$$n = n_0 + \underbrace{\Delta n_{\text{нн}}}_{\text{нелинейная добавка к некоупрочненному преломлению}} = n_0 + \underbrace{n_2 I}_{(3)}$$

Кубичная нелинейность характеризуется размеровым коэффициентом:

$$n_2 = \frac{3}{8} \frac{\chi_3}{c \epsilon_0 n_0}$$

\* распространение светового пучка радиусом  $\xi_0$  с постоянной интенсивностью  $I_0$  в его сечении. Из-за зависимости (3) в среде появится область, заполненная пучком, в которой  $n = n_0 + n_2 I_0$ . Если  $n_2 > 0$ , то  $n > n_0$ . Такая среда наз. фокусирующей. При  $n_2 < 0$ :  $n < n_0$ , и среда дифракционирующая.

\* случай  $n_2 > 0$ . Вследствие дифракции пучок стремится расширяться. Однако, находясь в оптически более плотной среде, он может распространяться в индуцированном волноводе. Оценка величины критической интенсивности  $I_{\text{кр}}$ , которая необходима для самоудержания пучка в пределах начального сечения  $\xi_0$ , даёт (см. стр. 278, Аспицкий):

$$I_{\text{кр}} = \frac{1}{2} \frac{n_0}{n_2} \left( \frac{0,631}{\pi \xi_0} \right)^2.$$

Переход к критической мощности, находим:  $P_{\text{кр}} = I_{\text{кр}} \pi \xi_0^2 = \frac{1}{2} \frac{n_0 (0,631)^2}{\pi n_2}$ .

Если мощность пучка  $P < P_{\text{кр}}$ , то он будет дифрактироваться, а при  $P > P_{\text{кр}}$  начнёт сжиматься, или самофокусироваться.

### Тема 3.

1. Метод спектрального описания волновых пачек. Суть и основы метода. Преобразование Фурье. Интегралы и коэффициенты Фурье. Спектральные амплитуды, фаза и плотность, комплексная спектральная амплитуда и их свойства.

Метод спектрального описания волновых полей:

а) суть метода:

разложение реального волнового поля (шумовика и пучка света) на совокупность гармонических волн.

б) основа метода:

принцип суперпозиции волновых полей и преобразования Фурье.

Любую абсолютно интегрируемую на интервале  $-\infty < t < +\infty$  функцию  $f(t)$  можно представить в виде интеграла Фурье:

$$f(t) = \frac{1}{\pi} \int_{-\infty}^{+\infty} [a(\omega) \cos \omega t + b(\omega) \sin \omega t] d\omega = \frac{1}{\pi} \int_{-\infty}^{+\infty} f_0(\omega) \cos(\omega t - \varphi(\omega)) d\omega$$

Коэффициенты Фурье  $a(\omega)$  и  $b(\omega)$  находятся как:

$$a(\omega) = \int_{-\infty}^{+\infty} f(t) \cos \omega t dt ; \quad b(\omega) = \int_{-\infty}^{+\infty} f(t) \sin \omega t dt .$$

Если  $f(t)$ - чётная функция, то  $b=0$ , а если нечётная, то  $a=0$ . Функции  $a(\omega)$ ,  $b(\omega)$  и  $f_0 = \sqrt{a^2 + b^2}$  наз. спектральными амплитудами (или фурье-амплитудами). Со является чётной функцией частоты:  $f_0(\omega) = f_0(-\omega)$ . Спектральная фаза  $\varphi$  является нечётной функцией частоты:  $\varphi(\omega) = -\varphi(-\omega)$ , т.к.  $a(\omega) = a(-\omega)$ ,  $b(\omega) = -b(-\omega)$ . Св.-ка чётности  $f_0(\omega)$  и  $\varphi(\omega)$  называют расширение формально область интегрирования в область отрицательных частот:  $f(t) = \frac{1}{2\pi} \int_{-\infty}^{+\infty} f_0(\omega) \cos[\omega t - \varphi(\omega)] d\omega$ .

Введём комплексную спектральную амплитуду

$$\hat{f}_0(\omega) = f_0(\omega) e^{-i\varphi(\omega)} .$$

Тогда последний интеграл заменяется в виде:  $f(t) = \frac{1}{2\pi} \int_{-\infty}^{+\infty} \hat{f}_0(\omega) e^{i\omega t} d\omega$  — прямое преобразование Фурье.

$$\hat{f}_0(\omega) = \int_{-\infty}^{+\infty} f(t) e^{-i\omega t} dt$$

$$\hat{f}_0(\omega) = a(\omega) - i b(\omega)$$

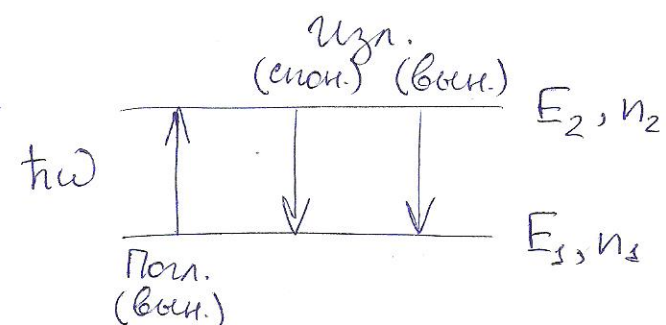
— комплексная спектральная амплитуда.

Для практических целей вычислить спектральную плотность  $|f_0(\omega)|^2$ , поскольку именно её можно экспериментально измерить.

2. Резонансное усиление света. Многие коэффициенты <sup>(10)</sup> поглощения и усиления среды. Инерсная зависимость энергетических уровней. Воздействие светового потока на зависимость уровней. Получение инерской зависимости с помощью трёхуровневой системы. Зависимость коэффициента усиления от частоты.

Типы радиационных переходов:

$n_{3,2}$  - зависимости на уровнях  $E_1$  и  $E_2$  соответственно.



a) спонтанное излучение: самопротиводействие кванта света.

$$\left( -\frac{\Delta n_2}{\Delta t} \right)^{\text{спонт}} = A_{21} n_2$$

- коэф. Гинзбурга (вероятность перехода одного атома в единицу времени).

b) вынужденное поглощение: атом поглощает квант света и переходит  $1 \rightarrow 2$ .

$$\left( -\frac{\Delta n_1}{\Delta t} \right)^{\text{вын}} = B_{32} \tilde{W}(\omega, T) n_3$$

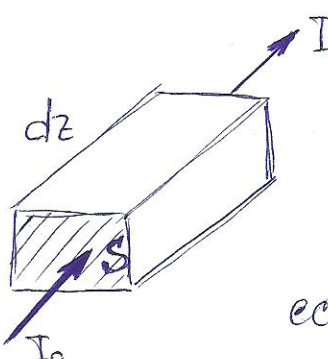
коэф. Гинзбурга } спектр. интенсивность излучения

b) вынужденное излучение: переход  $2 \rightarrow 1$  происходит под действием резонансного кванта света и сопровождается излучением такого же кванта.

$$\left( -\frac{\Delta n_2}{\Delta t} \right)^{\text{вын}} = B_{21} \tilde{W}(\omega, T) n_2$$

~~Излучение~~  $I = I_0 e^{\alpha z}$  - закон Бугера.

$$\alpha = B \Delta n \frac{h\omega}{kT}, \text{ где } \Delta n = n_2 - n_1 - \text{инверсия среды.}$$



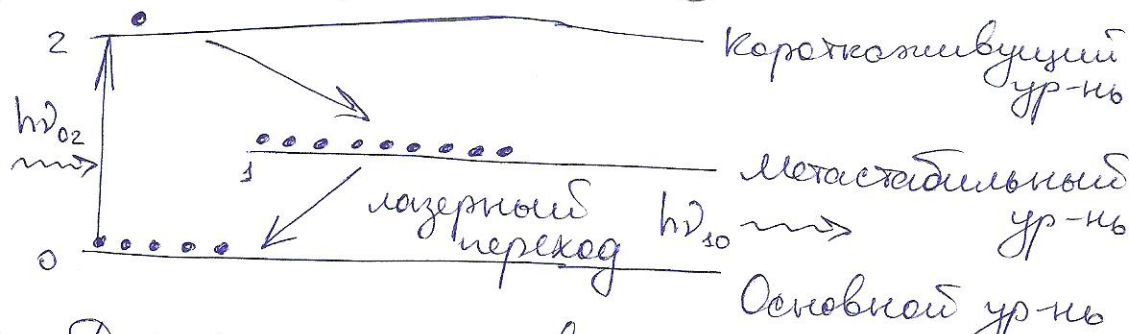
если  $n_2 < n_1$ , то  $\alpha < 0$  - коэф. поглощений.

если  $n_2 > n_1$  (инверсия зависимости), то  $\alpha > 0$  - коэф. усиления света в инвертированной среде.

\* создание инверсной заселенности на примере трёх-уровневой системы, используемой в рубиновых лазерах.

Рубин — это кристаллическая окись алюминия  $\text{Al}_2\text{O}_3$ , являющаяся прозрачной и безветчиной в-бен. В это в-бо (в матрицу) внедрены атомы хрома в кол-ве около 0,05%. Именно хром обеспечивает лазерную генерацию.

Из всего ин-ва энергетических ур-ней атома хрома в рубиновом лазере используется три: основной, первой (метастабильный, с временем жизни  $\sim 3 \text{ мс}$ ) и второй уровень с малым временем жизни.



Для создания инверсной заселенности рубин облучают импульсами импульсов света. При этом используются фотоны с частотой  $\nu_{02}$ , соответствующий переходу частиц — атомов хрома — из ур-ний 0 и 2 ( $h\nu_{02} = E_2 - E_0$ ). Фотоны внешнего облучения с частотой  $\nu_{02}$  не могут создать инверсную заселенность из ур-ний 2 и 0, т.к. при выравнивании их заселеностей вероятность попадания фотона сравняется с вероятностью его вынужденного испускания. Для создания инверсной заселенности используют метастабильный ур-нь 1. Попавшие на ур-нь 2 частицы быстро, spontанно и безуспешно переходят на метастабильный ур-нь 1.

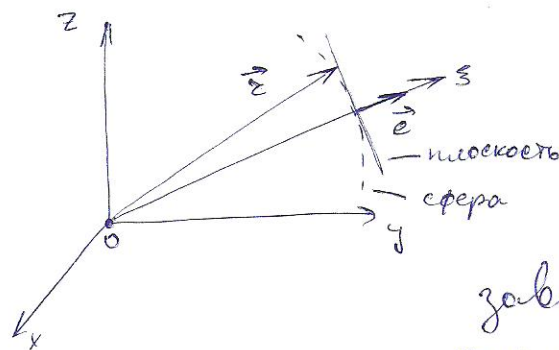
Фотоны внешнего облучения  $\nu_{02}$  не могут вызвать вынужденное излучение с ур-нем 1, т.к. для этого требуется фотон с другой частотой ( $\nu_{01}$ ). Поэтому на ур-не 1 постепенно накапливаются частицы и в конечном конусе их кол-во превосходит кол-во частиц на начальном ур-не. Таким образом, из ур-ний 0 и 1 будет создана инверсная заселенность. В обычных условиях переход с ур-ня 1 на ур-нь 0 происходит спонтанно и сопровождается излучением с длиной волны  $\lambda = 694,3 \text{ нм}$ .

Блок 4.

1. Волновое уравнение. Общее решение в виде плоских волн. Свойства плоских волн: ориентация и волновосходящие векторы. Поляризация света. Классификация состояний поляризации. Поляризация естественного света.

$$\boxed{\frac{\partial^2 \vec{E}}{\partial t^2} = \frac{1}{\epsilon_0 \mu_0} \Delta \vec{E}} = c^2$$

- волновое уравнение.



Такие f-уравнения волны.

Если ввести единичный нормалевый вектор  $\vec{e}$ , то функция f постоянна на на плоскости  $\vec{E} \cdot \vec{e} = \text{const}$  и

зависит только от координаты  $\xi = \vec{z} \cdot \vec{e}$ , отсчитываемой вдоль направления нормали к плоскости. Поэтому уравнение такой волны должно зависеть от координаты  $\xi$  и времени след. образом:

$$\left. \begin{aligned} f(\vec{z}, t) &= f[(\vec{z} \cdot \vec{e}), t] ; \\ \frac{\partial^2 f}{\partial t^2} &= c^2 \Delta f ; \end{aligned} \right\} \Rightarrow \frac{\partial^2 f}{\partial t^2} = c^2 \frac{\partial^2 f}{\partial \xi^2}$$

Решение этого уравнения есть суперпозиция двух плоских волн, движущихся навстречу друг другу:

$$f(\xi, t) = f_1(t - \frac{\xi}{c}) + f_2(t + \frac{\xi}{c})$$

$$\boxed{f(\vec{z}, t) = f_1(t - \frac{\vec{z} \cdot \vec{e}}{c}) + f_2(t + \frac{\vec{z} \cdot \vec{e}}{c})} - \frac{\text{общее решение } f}{\text{виде плоских волн}}$$

В плоской волне векторы  $\vec{E}$  и  $\vec{H}$  зависят от координат и времени следующим образом:

$$\vec{E}(\vec{z}, t) = \vec{E}(t \mp \frac{\vec{z} \cdot \vec{e}}{c}) ; \quad \vec{H}(\vec{z}, t) = \vec{H}(t \mp \frac{\vec{z} \cdot \vec{e}}{c})$$

Установлено склонение и ориентацию векторов  $\vec{E}$  и  $\vec{H}$ .

Видимо где оп-ти знак "-", будем тем самым  $\vec{E}$  тоискую  $\vec{H}$  волны, распространяющуюся вдоль вектора  $\vec{e}$ .  
Представим  $\vec{E}(\vec{z}, t)$  и  $\vec{H}(\vec{z}, t)$  в первое два ур-ния Максвелла.  
Для удобства добавим введём новую переменную  $t' = t - \frac{\vec{z} \cdot \vec{e}}{c}$ .

Tогда:

$$\text{rot } \vec{E} = -\frac{1}{c} \vec{e} \times \frac{\partial \vec{E}}{\partial t'} = -\mu_0 \frac{\partial \vec{H}}{\partial t'} \quad \left. \begin{array}{l} \\ \end{array} \right\} \Rightarrow \frac{1}{c} \vec{e} \times \vec{E} = \mu_0 \vec{H}$$

$$\text{rot } \vec{H} = -\frac{1}{c} \vec{e} \times \frac{\partial \vec{H}}{\partial t'} = \epsilon_0 \frac{\partial \vec{E}}{\partial t'} \quad \left. \begin{array}{l} \\ \end{array} \right\} \Rightarrow -\frac{1}{c} \vec{e} \times \vec{H} = \epsilon_0 \vec{E}$$

$$\Rightarrow \left\{ c = \frac{1}{\sqrt{\epsilon_0 \mu_0}} \right\} \Rightarrow \boxed{\begin{array}{l} \sqrt{\epsilon_0} \vec{e} \times \vec{E} = \sqrt{\mu_0} \cdot \vec{H} \\ \sqrt{\mu_0} \vec{e} \times \vec{H} = \sqrt{\epsilon_0} \cdot \vec{E} \end{array}}.$$

Отсюда следует несколько важнейших выводов. В тоиской форме:  
 а) векторы  $\vec{E}, \vec{H}$  и  $\vec{e}$  взаимно перпендикулярны, поэтому волна является поперечной;  
 б) эти векторы образуют правую тройку векторов;  
 в) величины напряжённости эт. и магн. полей изменяются во времени синхронно, достигая одновременно максимумов и минимумов значений.

$$\sqrt{\epsilon_0} E = \sqrt{\mu_0} H$$

Поляризация волн — характеристика поперечных волн, описывающая поведение вектора колеблющейся величины в тоискости, перпендикулярной направлению распространения волны.

Классификация состояний поляризации:

- а) линейная поляризация;
- б) эллиптическая поляризация;
- в) круговая поляризация.

Изучение естественных источников представляет собой пример одиных волн со всевозможными равновероятными ориентациями вектора  $\vec{E}$ , т.е. неопределённые состояния поляризации.

2. Многоуровневые системы. Энергетическая структура (14)  
атомов, молекул и твёрдых тел. Явление молекулени-  
ции: определение и классификация, механизмы и св-ва.  
Квантовый и энергетический выходы, пучение молекулени-  
ции.

Атомы имеют линейчатую энергетическую структуру. Из-  
менение энергии называемое атаками световое вспышка  
при переходе с уровня энергии  $W_n$  на уровень энергии  
 $W_m$ , однократническое с частотой  $\nu_{nm}(\omega_{nm})$ , определяемой  
условием:  $h\nu_{nm} = h\omega_{nm} = W_n - W_m$ .

Серия Лаймана:  $m=1$ ,  $h\nu_{ns} = W_n - W_1 = Rhc \left( 1 - \frac{1}{n^2} \right)$

Серия Бальмера:  $m=2$ ,  $h\nu_{n2} = W_n - W_2 = Rhc \left( \frac{1}{2^2} - \frac{1}{n^2} \right)$

Серия Франца:  $m=3$ ,  $h\nu_{n3} = W_n - W_3 = Rhc \left( \frac{1}{3^2} - \frac{1}{n^2} \right)$

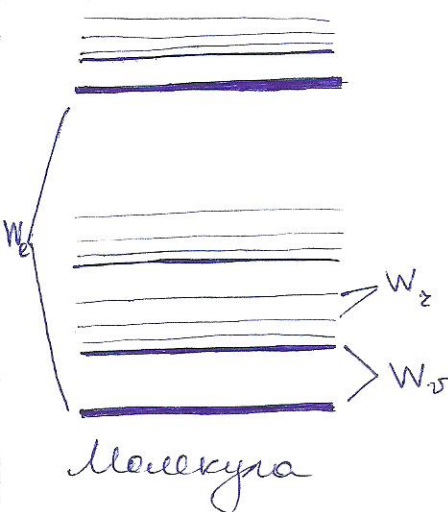
Здесь  $R = 109678 \text{ см}^{-1}$  — постоянная Ридберга.

Молекулы имеют линейчато-полосатую энергетическую  
структур. Молекулы, как и атомы, могут находиться в раз-  
личных энергетических состояниях. В отличие от атомов энер-  
гетическое состояние молекул определяется не только состояни-  
ем электронов в них, но и колебательным движением ато-  
мов около равновесных положений внутри молекул и вра-  
щательным движением самих молекул. Эти движения под-  
чиняются законам квантования, как и переход электронов  
в атомах. Изменение характера колебательного и вращатель-  
ного движения связано с переходами молекул с одного энер-  
гетического уровня на другой. Каждому такому переходу соот-  
ветствует поглощение или излучение в молекуларной спектре, как и  
в случае перехода электронов с одной молекуларной орби-  
тами на другую.

Энергия колебательного движения:  $W_v = h\omega_v \left( v + \frac{1}{2} \right)$ ,  
 $v=0, 1, 2, \dots$  — колебательное квантовое число,  $\omega_v$  — частота  
колебаний.

$$\text{Энергия броуновского движения: } W_e = \frac{\gamma^2}{2I_0} = \frac{\hbar^2 \gamma (\varepsilon + 1)}{2I_0}, \quad (15)$$

$I_0$  - момент инерции,  $\gamma = \hbar \sqrt{\varepsilon(\varepsilon+1)}$  - момент ква-ва движения,  $\varepsilon = 0, 1, 2, 3, \dots$  - броуновское квантовое число.



В первом приближении три вида движений независимы:  $W = W_e + W_r + W_z$ ,

$$\omega = \frac{\Delta W}{\hbar} = \frac{\Delta W_e}{\hbar} + \frac{\Delta W_r}{\hbar} + \frac{\Delta W_z}{\hbar} = \omega_e + \omega_r + \omega_z,$$

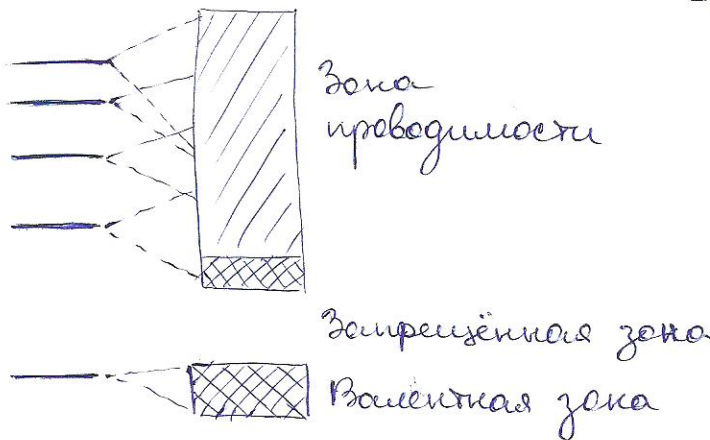
причём  $\omega_e > \omega_r > \omega_z$ .

$\Delta W_e = \hbar \omega_e$  - вакуумная и ультрафиолетовая область;

$\Delta W_r = \hbar \omega_r$  - инфракрасная область;

$\Delta W_z = \hbar \omega_z$  - дальневидная инфракрасная область.

Твёрдые тела имеют полосатую энергетическую структуру.



Ламинация — квантовый неравновесный процесс спонтанного излучения при энергетических переходах, происходящих после возбуждения вещества в газообразном (в атомах и молекулах), жидким и твёрдым состояниях. Ламинация представляет собой избыток над температуру излучения тела и продолжается в течение времени ( $\tau$ ), значительно превышающего период ( $T = 10^{-14} - 10^{-15}$  с) световых колебаний ( $\tau \gg T$ ).

В-бо, на которое оказывается энергетическое воздействие, должно находиться в состоянии, близком к равновесному.

Излучение нерегрентно, поскольку длительность между энергетическим воздействием и испусканием фотона больше периода световой волны. В природе — северное сияние, свечение насекомых, минералов, листвующего дерева.

## Виды излучения:

а) по способу возбуждения:

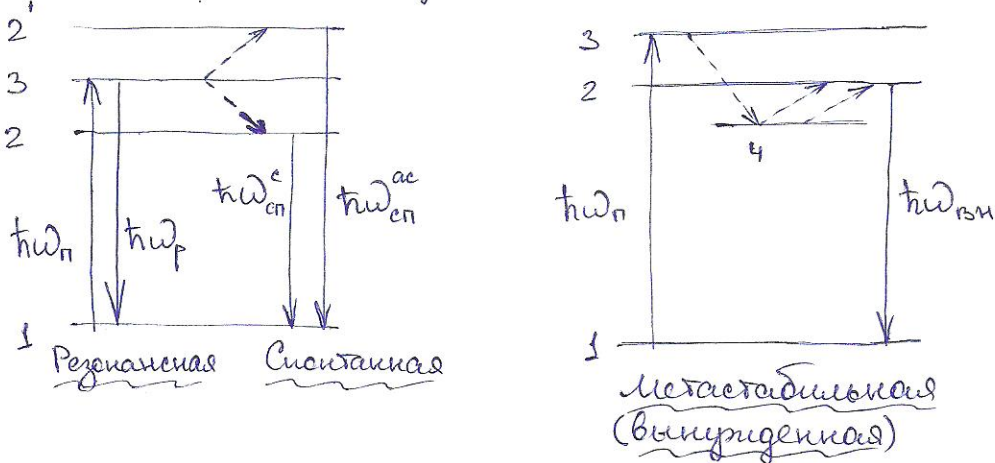
фото-, радио-, ионо-,  $\alpha$ - , кван- , электро- , кандзакинес-  
ческий и др.;

б) по длительности свечения:

флюоресценция ( $T < 10^{-8}$  с)

фосфоресценция ( $T > 10^{-8}$  с)

## Механизмы процесса:



Рекомбинационная излучение: возбуждение вещества  $\Rightarrow$

$\Rightarrow$  разжение разноимённо заряженных частиц  $\Rightarrow$  рекомбина-  
ции  $\Rightarrow$  возбужденное состояние молекул  $\Rightarrow$  высвечивание.

## Св.-ва излучения:

Бровисо Стокса - длина волны испущенного кванта света  
больше, чем поглощённого - стоксов излучение:  $\hbar\omega_s < \hbar\omega_n$ .

Возникновение антостоксова излучение - испущенный квант  
света имеет длину волны меньше, чем поглощённой:  $\hbar\omega_s > \hbar\omega_n$ .

В соответствии с распределением Больцмана:  $N_i = N_0 e^{-\frac{W_i}{kT}}$ :

$$I^c(T) > I^{ac}(T); \text{ при } T \uparrow: I^c(T) \downarrow, I^{ac}(T) \uparrow.$$

Энергетический выход - отношение энергии излучения  $E_1$  к поглощённой энергии возбуждения  $E_n$  за единицу времени:  $B_0 = E_1/E_n < 1$ .

При фотолюминесценции: квантовый выход - отношение  
числа испускаемых световых квантов  $q_1$  к общему числу

поглощённых квантов  $q_n$  за единицу времени:  $B_{\text{кв}} = q_1/q_n$ . (47)

В стационарном состоянии —  $B_s = \frac{E_n}{E_0} = \frac{q_1 \cdot \hbar \omega_1}{q_n \cdot \hbar \omega_n} = B_{\text{кв}} \cdot \frac{\omega_n}{\omega_1}$ , где

$\omega_n$  и  $\omega_1$  — частоты язоминесценции и поглощённого света.

Две смешанные (самостоятельной) язоминесценции:

$N(t) = N_0 e^{-(A_p + A_{\text{би}})t} = N_0 e^{-At}$ , где  $A_p$  и  $A_{\text{би}}$  — вероятности радиационного и безразлучательного переходов молекулы в основное состояние в единицу времени.

Тумение язоминесценции — уменьшение выхода язоминесценции  $B$  при увеличении вероятности безразлучательных переходов  $A_{\text{би}}$ . Если вероятность  $A_{\text{би}}$  постоянна в течение всего времени возбуждённого состояния, то:  $I_p = \frac{A_p}{A_p + A_{\text{би}}} I_0 e^{-(A_p + A_{\text{би}})t}$ ,

$$I_{\text{би}} = \frac{A_{\text{би}}}{A_p + A_{\text{би}}} I_0 e^{-(A_p + A_{\text{би}})t} \quad \text{и} \quad B \sim \frac{A_p}{A_p + A_{\text{би}}}.$$

Механизм тумения — внутренне- и межмолекулярные взаимодействия. Виды тумения — температурное, концентрационное и присоечное.

### Таблица 5.

1. Спектральная плотность интенсивности: световой импульс, непрерывное стационарное излучение, совокупность суперпозиций разбросанных во времени одиночевых световых импульсов.

Применить интеграл Фурье можно к описанию спектральных характеристик света. Под функцией  $f(t)$  будем подразумевать единицу из компонент  $E(t)$  напряжённости поля световой волны. Но тогда  $f(t)$  явн. спектральной функцией. Спектральными будут и фурье-амплитуды  $a, b, f_0$  и фаза  $\varphi$ . Кроме того, в реальном эксперименте время наблюдения ограничено, поэтому на практике можно анализировать сигнал  $f_r(t)$  такой, что

$$f_r(t) = f(t) \text{ при } 0 < t < T_h;$$

$$f_r(t) = 0 \text{ при } T_h < t < \infty, t < 0, \text{ где } T_h \text{ — время наблюдения.}$$

$$S(\omega) = \lim_{T_n \rightarrow \infty} \frac{|\hat{f}_{\text{ок}}(\omega)|^2}{T_n} - \text{спектральная мощность интенсивности.}$$

$$I = \langle E^2 \rangle = \int_0^\infty S(\omega) d\omega$$

Иные источники света (в том числе и большое число лазеров) излучают световые волны. Эти волны динамическое время  $T_0$  и представляют собой  $N$  импульсы. Амплитуда волны  $A$  и фаза  $\varphi_0$  в таких импульсах зависит не только от координат, но и от времени. Угловая волна  $\omega$  импульсного, но по-прежнему направлена вдоль оси  $Oz$  излучение может быть записано в виде:

$$f(x, y, z, t) = A(x, y, z, t - \frac{z}{c}) \cos [\omega t - kz + \varphi_0(x, y, z, t - \frac{z}{c})]$$

Также имеется излучение в виде суммы последовательности одинаковых импульсов  $f(t-t_\ell)$ , где  $t_\ell$  — суммарное время нахождения импульса. Рассчитаем спектральную мощность суммы импульсов сигнала

$$F(t) = \sum_{\ell=1}^N f(t-t_\ell), \text{ где } N \text{ число импульсов суммы}$$

зависит от времени наблюдения. Согласно обратному преобразованию Фурье спектральная амплитуда:

$$\hat{F}_0(\omega) = \int_{-\infty}^{+\infty} F(t) e^{-i\omega t} dt = \sum_{\ell=1}^N \int_{-\infty}^{+\infty} f(t-t_\ell) e^{-i\omega t} dt = \sum_{\ell=1}^N \hat{f}_0(\omega) e^{-i\omega t_\ell}.$$

$$\text{Тогда: } |\hat{F}_0(\omega)|^2 = \hat{F}_0(\omega) \hat{F}_0^*(\omega) = |\hat{f}_0(\omega)|^2 \sum_{\ell=1}^N \sum_{m=1}^N e^{i\omega(t_\ell - t_m)}.$$

Если длительность импульса равна  $\tau$ , то их число за время наблюдения  $T_0$  в среднем равно  $N = T_0/\tau$ . Если  $N$  велико, то звонкая сумма будет равна сумме членов при  $\ell=m$ . Остальные слагающие скомпенсируют друг друга. Поэтому при  $N \rightarrow \infty$  спектральная мощность:

$$|\hat{F}_0(\omega)|^2 = |\hat{f}_0(\omega)|^2 N = |\hat{f}_0(\omega)|^2 \frac{T_0}{\tau}.$$

Тогда спектральная мощность интенсивности сигнала  $F(t)$  будет равна:

$$S(\omega) = \frac{|\hat{F}_0(\omega)|^2}{\pi \tau_n} = \frac{|\hat{f}_0(\omega)|^2}{\pi \tau}. \text{ Она совпадает со спектральной } \textcircled{13} \text{ мощностью интенсивности для одного излуча.}$$

2. Рассеяние света. Изучение элементарного рассеивателя. Индикаторы рассеяния, измерение рассеянного света и закон Рэлея.

Рассеяние света — возникновение (изменение) световых полей на оптических пространственных неоднородностях среды. При оптических неоднородностях появляются всплески и спады частот и флюктуации оптических свойств среды.

Процесс рассеяния света состоит в заимействовании макромолекул или частиц материала распространяющейся в среде волны и последующем излучении всей или части этой энергии.

Рэлеевское рассеяние — упругое когерентное рассеяние света на оптических неоднородностях, размеры которых  $\ll \lambda$ .

Виды (типы) рассеяния:

- 1) макромолекулярное рассеяние;
- 2) рэлеевское рассеяние в дисперсных системах;
- 3) рассеяние Ильинского;
- 4) рассеяние Мандельштама-Бриллюзона;
- 5) комбинационное рассеяние.

Индикаторы рассеяния — пространственная диаграмма зависимости интенсивности  $I(\varphi, \Omega)$  рассеянного света от телесного угла  $\Omega$  (направление) рассеяния на данном расстоянии  $\varphi$  от рассеивателя.

Элементарный рассеиватель:  $I(\theta) = \langle E^2 \rangle = \frac{\omega^4}{(4\pi\epsilon_0 c^2)^2} \bar{P}^2 \sin^2 \theta$ .

Обсудим состояние поперечных колебаний рассеянного света. Предположим, что пучок параллельных лучей естественного (неподрассеянного) света распространяется в рассеивающей среде по оси  $Ox$ . В плоскости  $Yoz$  вектор  $\vec{E}$  может быть описан в произвольном образе. Однако его всегда можно представить как совокупность составляющих  $\vec{E}_y$  и  $\vec{E}_z$ . Такие

ориентированные и дипольные излучатели вторичных волн. (20)  
 Будем регистрировать вторичные волны, распространяющиеся перпендикулярно к направлению распространения исходного пучка. Свет, рассеянный под прямым углом к исходному пучку, оказывается также измеряемым. Например, для вторичных волн, распространяющихся по оси ОY, визуализация дает лишь диполи, ориентированные по оси Z.

Закон Рэлея:

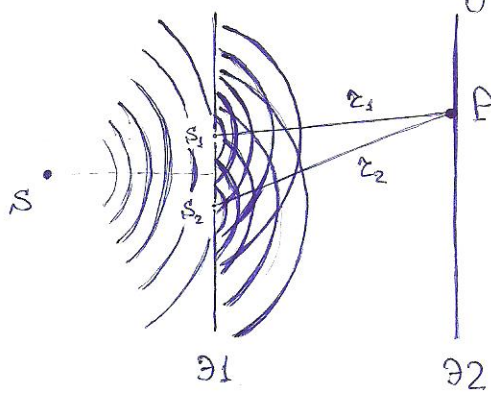
Если разность фазодобротностей между по сравнению с дипольной волной, то интенсивность рассеянного света оказывается:  $I \sim \omega^4 \sim \frac{1}{\lambda^4}$ .

### Билет 6.

1. Интерференция света. Общая схема и упрощение двухволновой интерференции. Интерференция монохроматических волн: упрощение интерференции, порядок интерференции, физическая видимость, кинескоп и условия ширинки интерференционных полос.

Под интерференцией понимают явление наложения волн, приводящего к перераспределению в пространстве интенсивности энергии волны.

Схема Юнга (двухволновая интерференция):



Свет от точечного источника S попадает на экран E1 с двумя малыми близкорасположенными отверстиями, а на втором экране E2 формируется интерференционная картина.

Волновое возмущение в непосредственной окрестности отверстий эквивалентны точечным источникам S<sub>1</sub> и S<sub>2</sub>, возникающим в точке P волны:

$$E_1(t) = a_1(t) \sin [\omega_0 t - k_0 z_1 + \varphi_1(t)];$$

$$E_2(t) = a_2(t) \sin [\omega_0 t - k_0 z_2 + \varphi_2(t)].$$

Также в торце P будет равно:

$$E_{1+2}(t) = A \sin(\omega_0 t + \Phi), \text{ где}$$

$$A^2 = a_1^2 + a_2^2 + 2a_1 a_2 \cos[(\varphi_1 - \varphi_2) + k_0(z_2 - z_1)];$$

$$\operatorname{tg} \Phi = \frac{a_1 \sin(\varphi_1 - k_0 z_1) + a_2 \sin(\varphi_2 - k_0 z_2)}{a_1 \cos(\varphi_1 - k_0 z_1) + a_2 \cos(\varphi_2 - k_0 z_2)}.$$

Интенсивность бояль в торце P равна:

$$I = \frac{A^2}{2} = I_1 + I_2 + 2\sqrt{I_1 I_2} \cos[(\varphi_1 - \varphi_2) + k_0(z_2 - z_1)], \text{ здесь } I_1 = \frac{a_1^2}{2};$$

$I_2 = \frac{a_2^2}{2}$ . Величина  $z_2 - z_1$  наз. разностью хода.

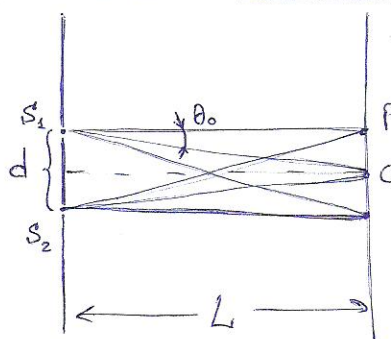
В случае интерференции монохроматических волн  $a_1 = a_2 = a = \text{const}$ ;  $\varphi_1 = \varphi_2 = \varphi = \text{const}$ . Тогда уравнение интерференции примет вид:  $I = 2I_0(1 + \cos(k_0(z_2 - z_1)))$ , здесь  $I_0 = \frac{a^2}{2}$ .

В интерф. максимумах  $I = 4I_0$ . Их положение определяется условием  $k_0(z_2 - z_1) = 2\pi m$ , или  $z_2 - z_1 = m\lambda$ , где  $m = 0, \pm 1, \pm 2, \dots$

Число m определяет порядок интерф. максимума, или порядок интерференции. Если же  $k_0(z_2 - z_1) = 2\pi m + \frac{\pi}{2}$ , или  $z_2 - z_1 = m\lambda + \frac{\lambda}{2}$ , то будут интерф. минимумы, в которых  $I = 0$ .

$$V = \frac{I_{\max} - I_{\min}}{I_{\max} + I_{\min}}$$

- физ. видности.



$$\Delta x = \frac{\lambda L}{d} \quad - \text{линейкая ширина интерф. полос.}$$

$$\theta_0 = \frac{\Delta x}{L} = \frac{\lambda}{d} \quad - \text{угловая ширина интерф. полос.}$$

## 2. Молекулярное рассеяние света в газах и жидкостях. (22)

Начало статистической теории рассеяния. Фернандо Эйнштейн и Рэлея. Основные особенности молекулярного рассеяния.

Молекулярное рассеяние — резкое рассеяние света на тепловых статистически независимых флюкутирующих оптических свойствах макроскопически однородной среды, не содержащей примесей.

Статистическая теория рассеяния:

для разреженных газов — Маркун Смолуховский (1908г.);  
для жидкостей — Альберт Эйнштейн (1910г.).

Основное положение:

- разнотип оптических неоднородностей мало по сравнению с длиной волны света;
- положение каждой области неоднородности не зависит от положения других областей;
- взаимодействием областей неоднородности можно пренебречь.

Основная причина статистических (тепловых) флюкутуаций оптических свойств — флюкутуации плотности среды.

$$I = I_0 \frac{\omega^4}{(4\pi c^2 \varepsilon)^2} \left( \rho \frac{\partial \varepsilon}{\partial p} \right)_T^2 V \beta_T k T \sin^2 \Theta$$

— ф. Эйнштейна для рассеяния света в жидкостях и газах.

Здесь  $\omega$  — расстояние до точки наблюдения,  $\rho$  — плотность среды,  $\varepsilon$  — удл. проприеменность среды,  $V$  — объём оптических неоднородностей,  $\beta_T$  — изотермическая сплошаемость,  $\Theta$  — угол рассеяния.

$$I = I_0 \frac{\omega^4}{(4\pi c^2 \varepsilon)^2} 4(n-1)^2 \frac{V}{N} \sin^2 \Theta$$

— ф. Рэлея для рассеяния света в разрежённых газах.

Здесь  $n$  — показатель преломления среды,  $N$  — число молекул в объёме  $V$ .

Основные особенности молекулярного рассеяния:

- 1) Числовой закономерности интенсивности рассеянного света — как у элементарного рассеивателя:

- инерционное поляризованное излучение —  $I(\Omega) \sim \sin^2 \theta$ ;
- естественное поляризование —  $I(\Omega) \sim \frac{1 + \cos^2 \theta_z}{2}$ .

### 2) Поляризация рассеянного света:

- от изотропных молекул — как у элементарного рассеивателя:  
степень поляризации —  $P(\theta_z) = \frac{I_{\perp} - I_{\parallel}}{I_{\perp} + I_{\parallel}} = \frac{\sin^2 \theta_z}{1 + \cos^2 \theta_z}$ ;
- от анизотропных молекул — деполяризация света при  $\theta_z = 90^\circ$ ;  
коэффициент деполяризации —  $\gamma = \frac{I_{\parallel}}{I_{\perp}}$  ( $\theta_z = 90^\circ$ ).

### 3) З-и Рэлея — $I \sim \omega^4 \sim \frac{1}{\lambda^4}$ — как у элементарного рассеивателя.

4) Критическое опацесение — явление возрастания интенсивности рассеянного излучения ближе критической температуры из-за возрастания флюктуаций и соответственно возрастания величин:  $\beta_T = -\frac{1}{V} \left( \frac{\partial V}{\partial P} \right)_T$  и  $\left( \frac{\partial E}{\partial P} \right)_T$ .

5) Селективное по частоте рассеяние — интенсивность рассеянного излучения возрастает ближе к собственным частотам элементарного рассеивателя  $\omega \sim \omega_0$ , поскольку  $I_s \propto (n-1)^2$ .

### Тема 7.

1. Интерференция квазимохроматического света. Условие интерференции. Спектральное описание, ур-ние интерференции в частотном представлении. Фазы видности, время и длина когерентности, максимальный порядок интерференции.

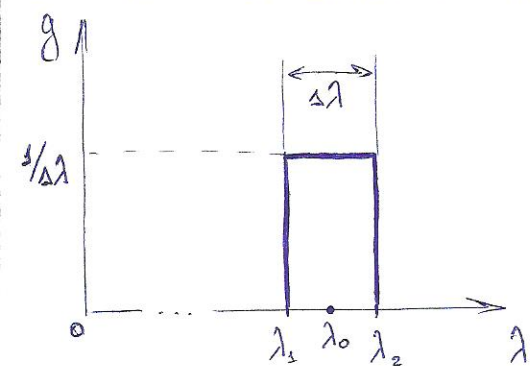
$$\left. \begin{aligned} E_1(t) &= a_1(t) \sin [\omega_0 t - k_0 z_1 + \varphi_1(t)] \\ E_2(t) &= a_2(t) \sin [\omega_0 t - k_0 z_2 + \varphi_2(t)] \end{aligned} \right\} \text{квазимохроматические волны, у которых амплитуды } a_1, a_2 \text{ и фазы } \varphi_1, \varphi_2 \text{ являются медленно меняющимися ф-циями времени.}$$

$$I = I_s + I_2 + 2 \sqrt{I_s I_2} \cos [(\varphi_1 - \varphi_2) + k_0(z_2 - z_1)], \text{ где } I_s = \frac{a_1^2}{2}, I_2 = \frac{a_2^2}{2}.$$

$$\langle E^2 \rangle = \langle E_1^2 \rangle + \langle E_2^2 \rangle + \underbrace{2 \langle \vec{E}_1 \vec{E}_2 \rangle}_{\text{интерфер. ген}}$$

Необходимые условия интерференции являются отличие от типичного интерференционного генера.

Кратковременное вырождение уровня энергии в нау. кол-во неизменных состояний на этом уровне.



Для простоты будем считать, что линия излучения имеет прямоугольный контур с центральной длиной волны  $\lambda_0$  и шириной  $\Delta\lambda = \lambda_2 - \lambda_1$ . Интенсивность излучения связана с контуром линии зависимостью:  $S(\lambda) = I_0 g(\lambda)$ .

Если выделить узкий спектральный интервал  $d\lambda$ , то интенсивность для этого интервала  $dI_0 = S(\lambda)d\lambda$ . Каждый монохроматический источник света с такой интенсивностью и длиной волны  $\lambda$  формирует свою элементарную интерференционную картину, симметричную относительно начала координат. Полная картина будет являться суперпозицией элементарных картин. Однако эти картины будут иметь разные расстояния  $\Delta X$  между полосами (т.к.  $\Delta X = x_{max} - x_m = \frac{\lambda L}{d}$ ). Поэтому при удалении от начала координат интерф. полосы суммарной картины будут расширяться и в некотором интерф. порядке  $m_{max}$  сольются. При  $m > m_{max}$  картина будет полностью смазана.

Оценка  $m_{max}$ . Для этого будем считать, что в точке Р реализуется  $m$ -й максимум для длины волн  $\lambda_2$  и  $(m+1)$ -ий для длины волн  $\lambda_1$ :

$$(z_2 - z_1)_{max} = m_{max} \lambda_2 = (m_{max} + 1) \lambda_1$$

$$m_{max} = \frac{\lambda_1}{\lambda_2 - \lambda_1} \approx \frac{\lambda_0}{\Delta\lambda}$$

— максимальный порядок интерференции.

Этому порядку соответствует максимальная разность хода:

$$(z_2 - z_1)_{max} = m_{max} \lambda_2 \approx \frac{\lambda^2}{\Delta\lambda}.$$

Получим распределение интенсивности при заданной спектральной мощности. Запишем упрощение интерференции для монохроматического излучения в частотном виде:

$$I = 2I_0 [1 + \cos(\omega_0(z_2 - z_1))] \rightarrow I(\tau) = 2I_0 [1 + \cos(\omega_0\tau)], \text{ где } \quad (25)$$

$\tau = \frac{z_2 - z_1}{c}$  - время задержки, пропорциональное разности хода.

Для квазимохроматического изучения зависимость  $I_0$  на  $dI_0(\omega) = S(\omega)d\omega$ . Тогда:  $dI(\tau) = 2S(\omega)d\omega(1 + \cos(\omega\tau))$ .

Интегрируя последнее по всем частотам, получаем:

$$I(\tau) = \int dI(\tau) = 2I_0 + 2 \int_0^\infty S(\omega) \cos(\omega\tau) d\omega. \quad (\star)$$

Рассчитаем  $I(\tau)$  при помощи  $\eta$  контура. Предполагая, что при  $\omega_1 < \omega < \omega_2$   $S(\omega) = \frac{I_0}{\Delta\omega}$ , после подстановки в  $(\star)$  имеем:

$$I(\tau) = 2I_0 + 2 \frac{I_0}{\Delta\omega} \int_{\omega_1}^{\omega_2} \cos(\omega\tau) d\omega = 2I_0 + 2I_0 \operatorname{sinc}\left(\frac{\Delta\omega\tau}{2}\right) \cos(\omega_0\tau).$$

При увеличении  $\tau$  качество картины (контраст) снижается, и при задержке  $\tau_k = \frac{2\pi}{\Delta\omega} = \frac{1}{\Delta\nu}$  картина исчезает. Время  $\tau_k$  наз. временем коррентности изучения:  $\boxed{\tau_k = \frac{1}{\Delta\nu}}$ . Оно определяет масштаб времени, на котором существенно изменяются амплитуда и фаза квазимохроматического изучения. Этому времени соответствует разность хода, называемая длиной коррентности:  $\boxed{l_k = c\tau_k = \frac{c}{\Delta\nu}}$ .

Однако, поскольку  $\lambda_0 = \frac{c}{\nu_0}$ , то  $\frac{\Delta\lambda}{\lambda_0} = \left| \frac{\Delta\nu}{\nu_0} \right|$ . Поэтому  $l_k = \frac{c}{\Delta\nu} = \frac{c}{\frac{\Delta\lambda}{\lambda_0}} = \frac{c}{\Delta\lambda} \cdot \lambda_0 = \frac{\lambda_0^2}{\Delta\lambda}$ .

Для описание качества картины А. Майклсон ввел функцию видности:  $\boxed{V(\tau) = \frac{I_{\max}(\tau) - I_{\min}(\tau)}{I_{\max}(\tau) + I_{\min}(\tau)}}$ , где  $I_{\max}$  и  $I_{\min}$  - интенсивности в интерф. максимуме и близайшие к нему минимуме.

Для  $\eta$  контура:  $V(\tau) = \left| \operatorname{sinc}\left(\frac{\Delta\omega\tau}{2}\right) \right|$

2. Распространение света в анизотропных средах. Описание 26  
диэлектрических свойств анизотропных сред. Главные диэлектрические оси. Глоссия  $\vec{v}$  волны в анизотропной среде. Структура световой волны, нормаль и лук, фазовая и лучевая скорости.

Основные особенности распространения света в анизотропной среде:

1) Фазовая  $\vec{v} = v\vec{n}$  и лучевая  $\vec{v}_s = v_s\vec{s}$  скорости распространения волны в общем случае не равны по модулю ( $v = v_s \cos \alpha$ ) и не совпадают по направлению ( $\vec{n} \cdot \vec{s} = \cos \alpha$ ).

2) Модуль фазовой  $\vec{v}$  и лучевой  $\vec{v}_s$  скоростей распространения волны зависит только от ориентации векторов эл. поля волны относительно главных диэлектрических осей кристалла —

$v(\frac{\vec{D}}{D})$ ,  $v_s(\frac{\vec{E}}{E})$ . Главные дил. оси — такие координатные оси, в которых тензор  $\hat{E} = (E_{ij})$  имеет диагональный вид.

3) В данном направлении нормали  $\vec{n}$  могут распространяться только две линейно неперпендикулярные волны в общем случае с различными по модулю фазовыми скоростями —  $v$ ,  $v'$ , векторы эл. индукции которых взаимно перпендикулярны ( $\vec{D}' \perp \vec{D}''$ ).

4) В данном направлении луча  $\vec{s}$  могут распространяться только две линейно неперпендикулярные волны в общем случае с различными по модулю лучевыми скоростями —  $v_s'$ ,  $v_s''$ , векторы эл. поля которых взаимно перпендикулярны ( $\vec{E}' \perp \vec{E}''$ ).

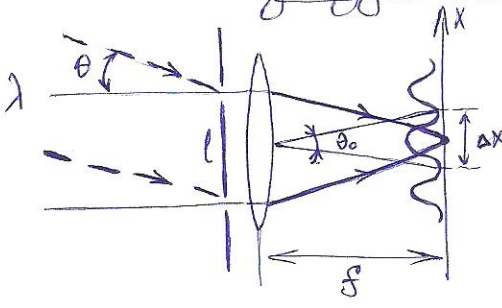
В анизотропных средах вектор  $\vec{D}$  не совпадает по направлению с вектором  $\vec{E}$ . Направление распространения волны задаётся вектором  $\vec{n}$  (нормаль), а направление переноса световой энергии задаётся вектором  $\vec{s}$  (луч).

Пусть в анизотропной среде распространяется волна с направлением эл. поля:  $\vec{E}(t, \vec{z}) = \vec{A} \exp[i\omega(t - \frac{\vec{z} \cdot \vec{n}}{c} n_0)]$ , где  $\vec{n}$  — вектор нормали;  $n_0$  — показатель преломления. Векторы  $\vec{D}$ ,  $\vec{E}$  и  $\vec{n}$  лежат в одной плоскости. Вектор  $\vec{n}$  перпендикулярен этой плоскости. Векторы  $\vec{D}$ ,  $\vec{n}$  и  $\vec{s}$  образуют правую тройку векторов. Вектор  $\vec{E}$ , в общем случае, образует с векторами  $\vec{D}$  угол анизотропии  $\theta$ .

## Билет 8.

1. Пространственная когерентность. Узлы интерференции. Фазы вибрации, угол и радиус когерентности. Звёздной интерферометр Майкельсона.

Схема звёздного интерферометра Майкельсона:



Если объектив телескопа закрыт диафрагмой с двумя отверстиями, находящимися на расстоянии  $l$ , то изображение дальнейшей звезды в его фокальной плоскости будет представлять собой пятью когерентных размывов, изреданное интерф. полосами.

$\Delta x = \frac{\lambda f}{l}$ , где  $f$  - фокусное расстояние объектива. Узкий размыв полосы:  $\theta_0 = \frac{\Delta x}{f} = \frac{1}{l}$ .

Если на объектив падает свет от второй звезды (или помехи от источников линий), то из-за некогерентности света независимых источников (звёзд) в фокальной плоскости будет происходить наложение двух интерферограмм. При углах  $\Theta < \theta_0$  суммарная интерферограмма не будет размыта. При увеличении угла  $\Theta$  интерферограмма становится, когда интерф. максимумы от одной звезды совпадут с интерф. минимумами от другой. Это происходит при:  $\Theta = \theta_0/2 = \frac{1}{2l}$ .

Посмотрим на результаты опытов Майкельсона иные образы. Свет звезды или пары звёзд падает на диафрагму с отверстиями, расположенным на расстояние  $l$ . При увеличении расстояния  $l$  интерферограмма ухудшается и исчезает при  $l_K = \frac{1}{2\theta}$ . Это происходит потому, что с ростом  $l$  ухудшается взаимная когерентность колебаний, что пары звёзд в областях, где расположены отверстия. В этом случае говорят о пространственной когерентности, характеризуемой величиной  $l_K$ . Эта величина наз. радиусом пространст. когерентности.  $\theta$  в данном случае наз. углом когерентности.

2. Оптические свойства однородных кристаллов. Ответатель - (28)ные и поломистельные кристаллы; сечение лучевых поверхностей. Главная плоскость, обыкновенный и необыкновенный лучи. Взаимное расположение фазовой и лучевой скоростей. Двойное лучепреломление и поларизация света. Метод построения Гюйгенса. Закон Малюса.

Однородный приставка (среда) — кристалл (среда), для которого две главные скорости распространения волн равны —  $v_x = v_y \neq v_z$  ( $\epsilon_x = \epsilon_y \neq \epsilon_z$ ;  $n_x = n_y \neq n_z$ ). Для однородного кристалла имеется:

- одна оптическая ось, совпадающая с осью вращения — главной дихроматической осью, для которой дих. пропицаемость отлична от остальных;
- эллипсоид лучевых скоростей — эллипсоид вращения;
- лучевая поверхность — совокупность сфер и эллипсоидов вращения, вписанных друг в друга.

Главная плоскость (главное сечение) — плоскость, образованная лучами и оптической осью.

Обыкновенный луч — луч, направление эл. поля которого направлено перпендикулярно главной плоскости (а значит и оптической оси). Ему соответствует лучевая поверхность в виде сферы. Фазовая и лучевая скорости равны  $v_0 \equiv v_x = v_y$  и не зависят от направления.

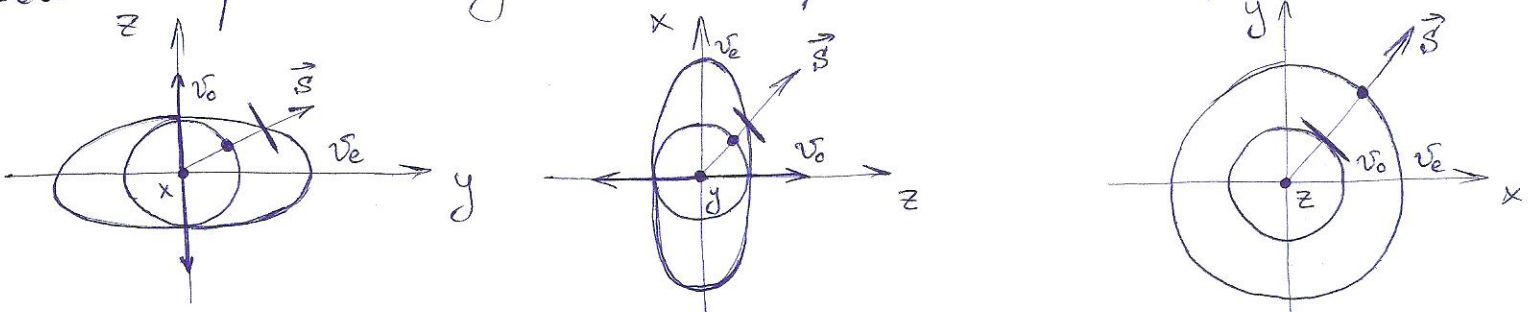
Необыкновенный луч — луч, вектор направления эл. поля которого лежит в главной плоскости. Ему соответствует лучевая поверхность в виде эллипсоида вращения. Фазовая и лучевая скорости не равны и зависят от угла  $\theta$  между лучами и оптической осью, меняясь при этом от  $v_0 \equiv v_x = v_y \equiv v_e \equiv v_z$ .

В однородной оптической среде:

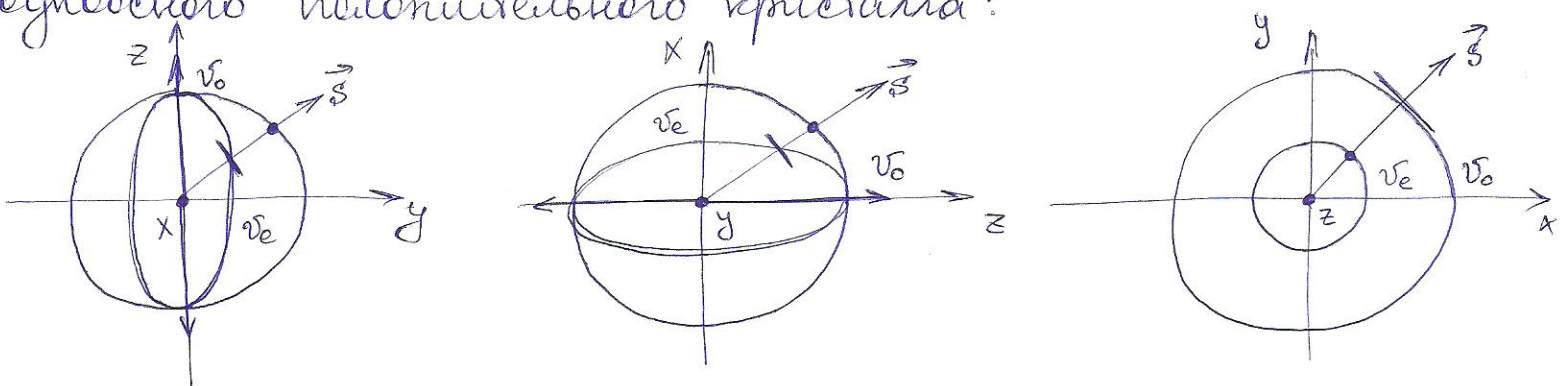
- для обыкновенного луча лучевая и фазовая скорости совпадают по величине и направлению и не зависят от направления;
- для необыкновенного луча они не совпадают и зависят от направления.

Оризонтальный кристалл —  $v_o \equiv v_x = v_y < v_e \equiv v_z$

( $n_0 \equiv n_x = n_y < n_e \equiv n_z$ ); эллипсоид Френеля вытянут вдоль оси вращения  $X$ ; лучевая сфера вписана в симметричный вдоль оси  $X$  лучевой эллипсоид вращения. Главные сечения лучевой поверхности односоставного ортосимметричного кристалла:



Наполимерный кристалл —  $v_o \equiv v_x = v_y > v_e \equiv v_z$  ( $n_0 \equiv n_x = n_y > n_e \equiv n_z$ ); эллипсоид Френеля сплюснут вдоль оси  $X$ ; лучевая сфера охватывает вытянутый вдоль оси  $X$  лучевой эллипсоид вращения. Главные сечения лучевой поверхности односоставного наполимерного кристалла:



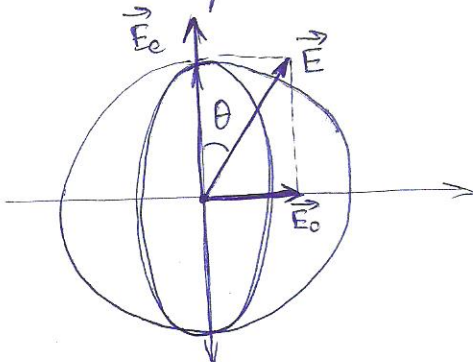
Двойное лучепреломление — явление возникновения двух преломленных лучей и взаимно перпендикулярно пограничных плоских волн.

Метод построение Гюйгенса (ост. пограничия):

- 1) Каждая точка, до которой доходит безоблучение, становится источником вторичных волн, несущих следующее преломление;
- 2) опидающая вторичных волн — касательная поверхность к лучевой поверхности — определяет фронт волн в последующий момент времени.

Построение Гюйгенса даёт как направление нормали, так и направление луча. Нормаль к опидающей из источника вторичной волны даёт направление нормали к опидающей из источника первичной волны.

иции. Прямое, соединяющее источник вторичной волны (30) с точкой касания определяет с линией поверхности, даёт направление излучения.



Закон Макса:

$$\boxed{I_0 = I \sin^2 \theta}$$
$$I_e = I \cos^2 \theta$$

### Тема 9.

1. Свойства преобразования Фурье: суперпозиция импульсов, сдвиг импульса во времени, изменение масштаба времени, соотношение между длительностью импульса и шириной спектра, сдвиг спектра по частоте. Теорема Гильберга. Примеры преобразования Фурье.

#### Св-ва преобразования Фурье:

1) суперпозиция импульсов:

$$f(t) + g(t) = \frac{1}{2\pi} \int_{-\infty}^{+\infty} (\hat{f}_0(\omega) + \hat{g}_0(\omega)) e^{i\omega t} d\omega = \frac{1}{2\pi} \int_{-\infty}^{+\infty} \hat{f}_0(\omega) e^{i\omega t} d\omega + \\ + \frac{1}{2\pi} \int_{-\infty}^{+\infty} \hat{g}_0(\omega) e^{i\omega t} d\omega.$$

2) сдвиг импульса во времени:

$$f(t-t_0) = e^{-i\omega t_0} \cdot \frac{1}{2\pi} \int_{-\infty}^{+\infty} \hat{f}_0(\omega) e^{i\omega t} d\omega.$$

3) изменение масштаба времени:

$$f(at) = \frac{1}{2\pi} \int_{-\infty}^{+\infty} \hat{f}_0(\omega) e^{i\omega at} d\omega = \frac{1}{a} \cdot \frac{1}{2\pi} \int_{-\infty}^{+\infty} \hat{f}_0(\omega) e^{i\omega a t} d(a\omega).$$

4) соотношение между длительностью импульса и шириной спектра:  
 $\Delta\omega = 2/\tau$ .

5) сдвиг спектра по частоте:

$$\hat{f}_0(\omega - \omega_0) = \int_{-\infty}^{+\infty} f(t) e^{-i(\omega - \omega_0)t} dt = \int_{-\infty}^{+\infty} [e^{i\omega t} f(t)] e^{-i\omega_0 t} dt.$$

Менделея Фурье:

$$\int_{-\infty}^{+\infty} f^2(t) dt = \frac{1}{2\pi} \int_{-\infty}^{+\infty} |\hat{f}_0(\omega)|^2 d\omega.$$

Пример преобразований Фурье:

Р/у импульс:  $f(t) = \begin{cases} f_0, & \text{при } t \in [-\frac{\tau}{2}, \frac{\tau}{2}], \\ 0, & \text{при } t \notin [-\frac{\tau}{2}, \frac{\tau}{2}]. \end{cases}$

$$S(\omega) = \int_{-\infty}^{+\infty} f(t) e^{-i\omega t} dt = f_0 \int_{-\frac{\tau}{2}}^{\frac{\tau}{2}} e^{-i\omega t} dt = f_0 \cdot \frac{e^{-i\omega \frac{\tau}{2}} - e^{i\omega \frac{\tau}{2}}}{-i\omega} =$$

$$= f_0 \tau \frac{-2i \sin(\omega \frac{\tau}{2})}{-i\omega \tau} = f_0 \tau \operatorname{sinc}\left(\frac{\omega \tau}{2}\right).$$

Декомпозиционный импульс:

$$f(t) = f_0 e^{-t/\tau} = f_0 e^{-8t} \text{ при } t \geq 0.$$

$$S(\omega) = \int_{-\infty}^{+\infty} f_0 e^{-8t} e^{-i\omega t} dt = f_0 \left. \frac{e^{-(8+i\omega)t}}{-(8+i\omega)} \right|_0^{\infty} = \frac{f_0}{8+i\omega} = f_0 \frac{8-i\omega}{8^2 + \omega^2}.$$

2. Поляризационные приборы. Получение и анализ поляризованного света — явление дихроизма, панорог и поляризационные призмы. Управление поляризацией света — компенсатор Тадеуса, оптические пластинки  $\frac{1}{4}$  и  $\frac{1}{2}$ .

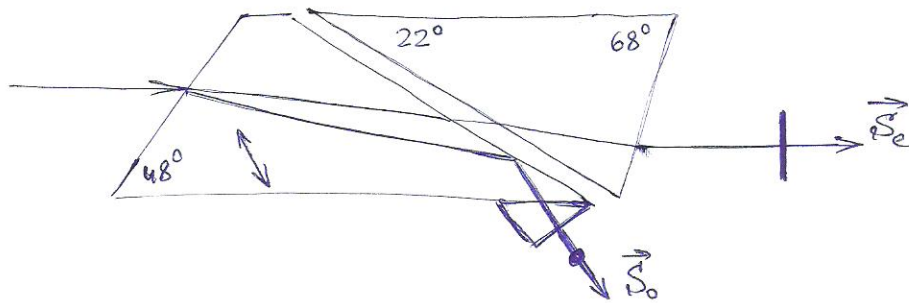
Панорог — дихроическая пластина, при прохождении которой один из лучей в результате поглощения сильно ослабляется, а другой выходит линейно поляризованным.

В основе — явление дихроизма — зависимость поглощений света от направления поляризации.

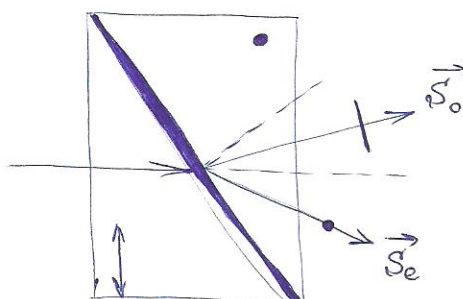
Поляризатор — панорог, использующийся для получения поляризованного света.

Анализатор — панорог, использующийся для анализа поляризованного света.

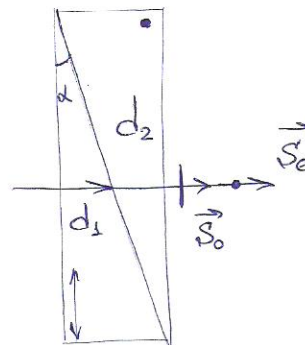
Поляризационная призма — комбинация кристаллов, оставляющая один поляризованный луч на выходе.

Пряжка Никола:

Двухконтролируемая пряжка — комбинация кристаллов, оставляющая оба поляризованных луча на выходе.

Пряжка Волластона:

Компенсатор — пластинка, вдоль которой непрерывно меняется разность фаз выходящих лучей.

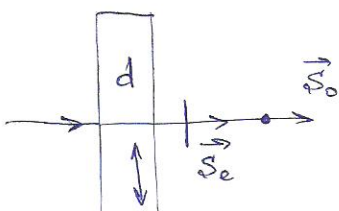
Компенсатор Бабине:

тонкие кварцевые пластины с  $\alpha \ll \frac{\pi}{2}$ .

$$\Delta = (n_{eS}d_1 + n_{oS}d_2) - (n_{oS}d_1 + n_{eS}d_2) = (n_e - n_o)(d_1 - d_2).$$

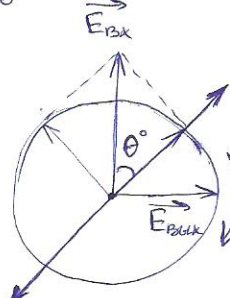
$$\Delta\varphi = \frac{2\pi}{\lambda} \Delta = \frac{2\pi}{\lambda_0} (n_e - n_o)(d_1 - d_2).$$

Оптические пластины — пластины из оптически анизотропных кристаллов, вносящие заданную разность хода двух обыкновенного и необыкновенного лучей:



$$\Delta = (n_e - n_o)d$$

$$\Delta\varphi = \frac{2\pi}{\lambda_0} (n_e - n_o)d.$$

Пластина 1/4:

$$\Delta = (n_e - n_o)d = \frac{\lambda}{4}$$

$$\Delta\varphi = \frac{2\pi}{\lambda_0} (n_e - n_o)d = \frac{\pi}{2}$$

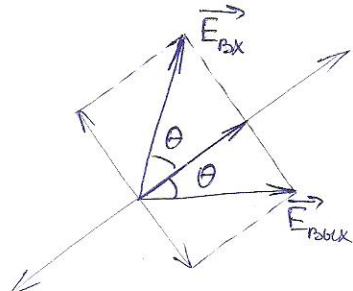
Линейная поляризация  
циркулярная,  $\theta = 45^\circ$   
(эллиптическая,  $\theta \neq 45^\circ$ )

поляризация

Пластика 2/2:

$$\Delta = (n_e - n_o) d = \frac{\lambda_0}{2}$$

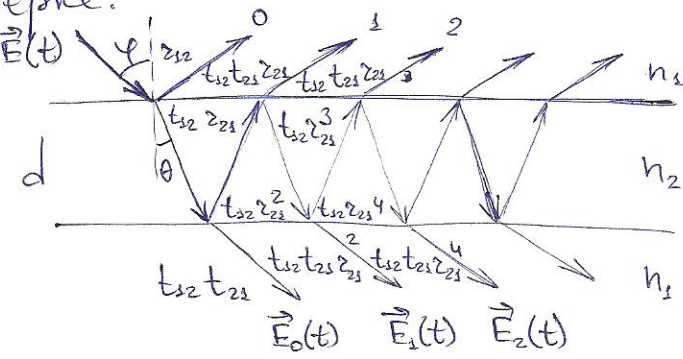
$$\Delta\varphi = \frac{2\pi}{\lambda_0} (n_e - n_o) d = \pi$$



Поворот плоской поляризации на  $2\theta$  или изменение направления циркулярной (эллиптической) поляризации на обратное.

### Тема 10.

1. Многоволновая интерференция. Уравнения многоволновой интерференции — формулы Эйри. Фазы видности, ширина и резкость интерференционных полос. Интерференционный фильтр. Интерферометр Фабри-Перо. Пластика Мюнхера — Теркса.



$\tau_{12} e^{j\omega t}$  — комплексное коэффициенты отражения и пропускания по амплитуде;

$R$  и  $T$  — коэффициенты отражения и пропускания по интенсивности:

$$t_{12} t_{21} = T_{12} = T_{21} \equiv T,$$

$$|\tau_{12}|^2 = |\tau_{21}|^2 = R_{12} = R_{21} \equiv R.$$

$$I_{\text{inp}} = I \frac{T^2}{(1-R)^2 + 4R \sin^2 \frac{\Phi}{2}},$$

$$I_{\text{out}} = IR \frac{(1-(R+T))^2 + 4(R+T) \sin^2 \frac{\Phi}{2}}{(1-R)^2 + 4R \sin^2 \frac{\Phi}{2}}.$$

формулы Эйри (ур-равнения многоволновой интерференции — зависимости интенсивностей прошедшего  $I_{\text{inp}}$  и отраженного  $I_{\text{out}}$  волн от разности фаз  $\Phi$  между двумя соседними волнистыми пучками).

$\Phi$ -член видности:  $V_{\text{inp}}(R) = \frac{2R}{1+R^2}$ ,  $V_{\text{out}} = 1$ .

Ширина интерф. полос:  $\delta_{\text{inp}}(R) = 2 \frac{1-R}{\sqrt{R}}$ ,  $\delta_{\text{out}}(R) = 2\pi - \delta_{\text{inp}}(R)$ .

Резкость интерф. полос:

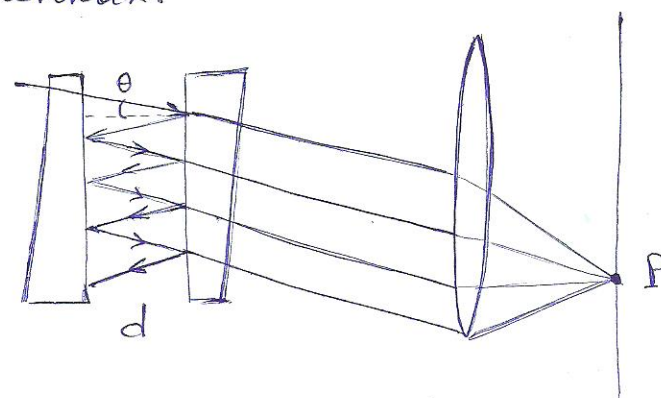
$$F_{\text{inp}}(R) = \frac{2\pi}{\delta_{\text{inp}}(R)} = \frac{\pi\sqrt{R}}{1-R}, F_{\text{out}} = \frac{2\pi}{2\pi - \delta_{\text{inp}}(R)} \approx 1.$$

Интерференционный (дихроичный) фильтр — отражает одну <sup>(34)</sup>, и пропускает другую часть спектра падающего излучения благодаря явлению многолучевой интерференции в тонких диэлектрических пленках.

### Схема интерферометра

Фабри - Перо:

стеклянные или кварцевые пластинки, покрытые полупрозрачной пленкой с радиусом  $R$ .

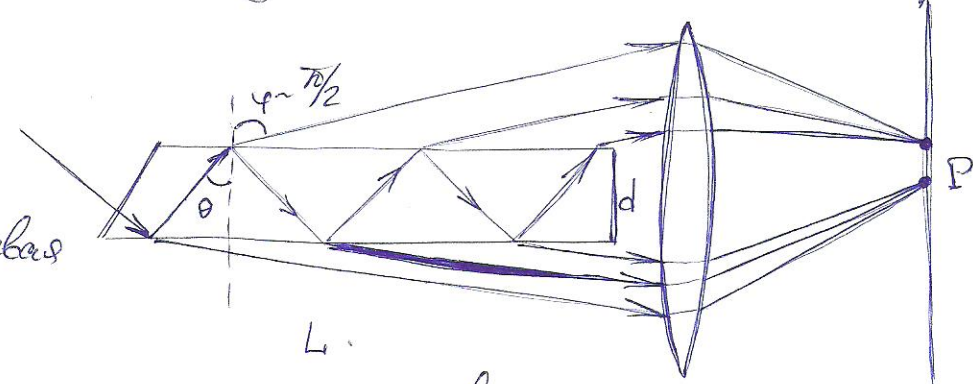


Для уменьшения брефного видения света, многократно отраженного от поверхности внутренней пластинки, видение поверхности делают несколько наклоненным по отношению к внутренним рабочим поверхностям. Пластины могут передвигаться в перпендикулярном направлении друг относительно друга. Интерф. картина имеет равного наклона — концентрические кольца, наблюдаемые с помощью собирающей линзы.

### Схема пластины

Ламмера - Герке:

стеклянная или кварцевая пластина.



Чтобы добиться нормального падения света и уменьшить такие образцы потери энергии на отражение, один конец пластины либо срезается, либо снабжается добавочной прозрачной пружинкой. Лучи света от источника направляются на срезанный конец пластины так, чтобы на границу раздела луч падал под углом чуть меньшим угла полного внутреннего отражения —  $\theta \leq \theta_0 = \arcsin \frac{n_1}{n_2}$ . Такое падение угла обеспечивает  $R \approx 1$  и примерно единичную интенсивность  $N \approx 10 \div 15$  лучей, вышедших из пластины, число которых определяется длиной пластины. При каждом отражении от внутренней поверхности пластины из схемы, под малыми углами к пластине, выходит очень

мощь гасть падающей световой волны. В фокальной (35) плоскости линз собираются израильские ауры, образованные методом деления амплитуды и использующие различные светящиеся ткани источника под определенным углом (полостя ровного конуса).

2. Распространение света в анизотропных средах. Главные скорости. Уравнение Френеля для фазовых скоростей. Световая волна, распространяющаяся в заданном направлении нормали.

если. Таблица 7 (n.2).

Пусть  $\vec{n} = \{n_x, n_y, n_z\}$  - нормаль волны;  $v = v_{n_0}$  - фазовая скорость (здесь  $n_0$  - показатель преломления среды);  $v_x, v_y, v_z$  - главные скорости волны (главные оси эллипсуса скоростей). Тогда:

$$\frac{n_x^2}{v^2 - v_x^2} + \frac{n_y^2}{v^2 - v_y^2} + \frac{n_z^2}{v^2 - v_z^2} = 0$$

- ур-ние нормали  
Френеля.

Таблица 11.

3. Основные схемы звуковальной интерференции. Метод деления волнового фронта и метод деления амплитуды. Характерные особенности методов. Примеры реализации методов. Интерференция при естественных условиях в тонких пленках.

Метод деления амплитуды состоит в разделении световой волны на полупрозрачной пластине на две когерентные волны.

В методе деления волнового фронта две интерферирующие волны получаются, как два участка одного фронта волны.

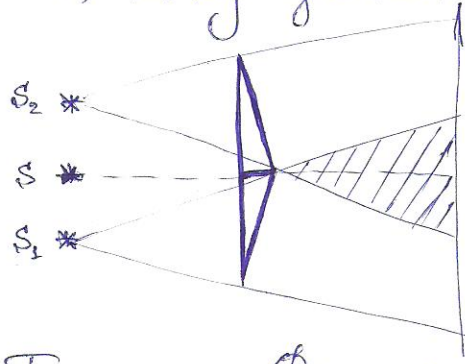
# Основные характеристики методов реализации звукового поля интерференции. 36

Большой интервал времени.

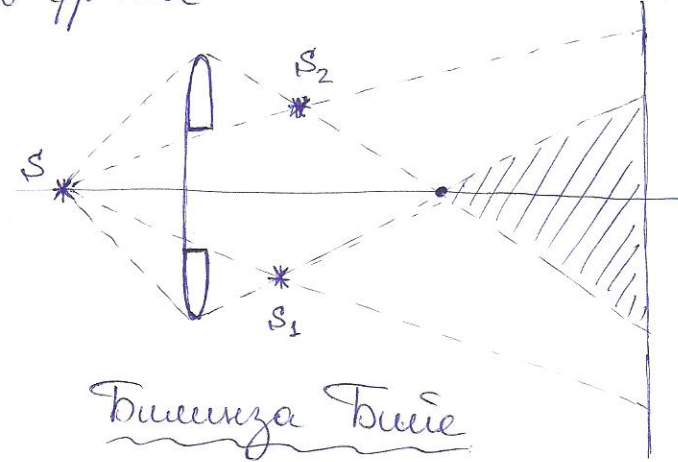
| № | Характеристика                                                         | Метод генерации                                                                                                       |                                                                                                                       |
|---|------------------------------------------------------------------------|-----------------------------------------------------------------------------------------------------------------------|-----------------------------------------------------------------------------------------------------------------------|
|   |                                                                        | Волнового фронта                                                                                                      | амплитудное                                                                                                           |
| 1 | Число интерференций $\alpha$ и сходимости $\beta$                      | $\alpha \neq 0, \beta \neq 0 (d \neq 0)$                                                                              | $\alpha \approx 0, \beta \approx 0 (d \approx 0)$                                                                     |
| 2 | Локализация интерф. картинки                                           | не локализована                                                                                                       | локализована                                                                                                          |
| 3 | Образование интерф. картинки                                           | пучкание от одной точки источника                                                                                     | пучкание от всех точек источника                                                                                      |
| 4 | Интенсивность интерф. картинки                                         | максимум                                                                                                              | всплеск                                                                                                               |
| 5 | Увеличение размера источника                                           | ухудшает видимость<br>$\Delta t \leq \Delta t_k = \frac{\lambda}{d}; S \leq S_{\max} = \frac{1}{\alpha}$              | не ухудшает видимость                                                                                                 |
| 6 | Увеличение ширины спектра $\Delta\omega$ или $\Delta\ell(\Delta l, m)$ | ухудшает видимость,<br>$\Delta t \leq \Delta t_k \approx \frac{2\pi}{\Delta\omega}, \Delta l \leq l_k = \Delta t_k v$ | ухудшает видимость,<br>$\Delta t \leq \Delta t_k \approx \frac{2\pi}{\Delta\omega}, \Delta l \leq l_k = \Delta t_k v$ |

Примеры реализации методов:

а) метод генерации волнового фронта:

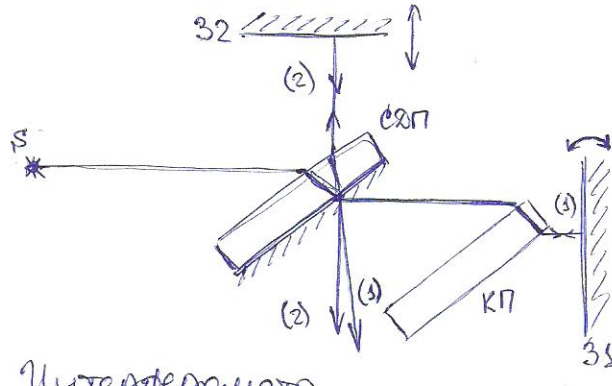


Бипризма Френеля

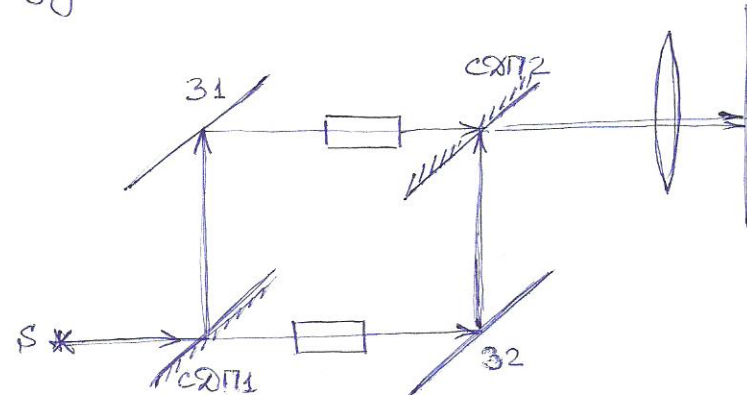


Бипризма Тьюре

б) метод генерации амплитудное:

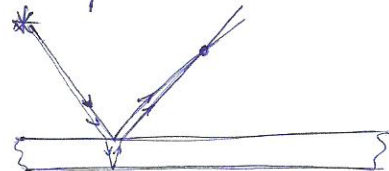


Интерферометр  
Маш-Ценгера



Интерферометр  
Мах-Ценгера

В природе часто можно наблюдать радужное окраине 37  
блеск тонких пленок. Эти явления обусловлены интерференцией света в тонких прогрессивных пленках, которые возникают в результате наложения когерентных волн, отражаемых от верхней и нижней поверхности.



2. Распространение света в анизотропных средах. Главные скорости. Уравнение Френеля для лучевых скоростей. Свойства волн, распространяющихся в заданном направлении угла.

Теорема 10 (п.2)

Луч  $\vec{s} = \{s_x, s_y, s_z\}$  - лук волны;  $u$  - лучевая скорость;  
 $\vec{v} = \{v_x, v_y, v_z\}$  - фазовая скорость.

$$\left[ \frac{s_x^2}{\frac{1}{u^2} - \frac{1}{v_x^2}} + \frac{s_y^2}{\frac{1}{u^2} - \frac{1}{v_y^2}} + \frac{s_z^2}{\frac{1}{u^2} - \frac{1}{v_z^2}} = 0 \right]$$

- уравнение Френеля для лучевых скоростей.

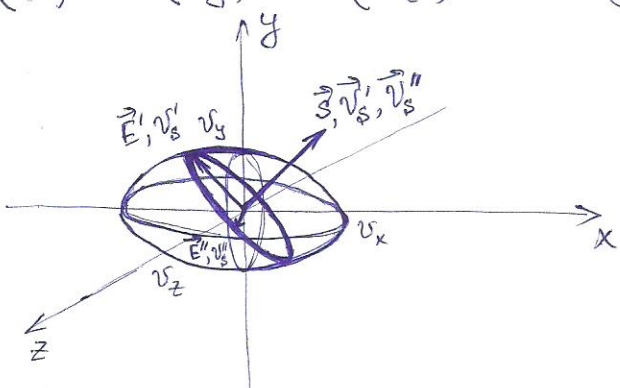
Теорема 12.

1. Эллипсод лучевых скоростей. Лучевая поверхность и её сечение. Оптическая ось. Классификация анизотропных сред.

Взаимосвязь модуля лучевой скорости и ориентации неприменимости поля  $E$  относительно главных дипл. осей кристалла:  $\frac{1}{v_s^2} = \sum_i \frac{1}{v_i^2} \left( \frac{E_i}{E} \right)^2$ ;  $\sum_i \frac{v_s^2}{v_i^2} \left( \frac{E_i}{E} \right)^2 = 1$ .

Сделаем замену переменных:  $x_i = v_s \frac{E_i}{E}$ . Тогда:

$$\left( \frac{x}{v_x} \right)^2 + \left( \frac{y}{v_y} \right)^2 + \left( \frac{z}{v_z} \right)^2 = 1 - \text{уравнение эллипсода.}$$



Эллипсод лучевых скоростей (эллипсод Френеля) - эллипсод, главные оси которого совпадают с главными дипл. осями  $x, y, z$  кристалла, а главные полуси равны главным скоростям  $v_x, v_y$  и  $v_z$  распространения света в среде.

В сечении линзового эллипсоида, перпендикулярном плоскости главных осей, обозначенной  $\vec{S}$ , образуется эллипс, вдоль главных осей которого направлена наименьшие скорости  $E'$  и  $E''$  двух волн, а его главные скорости равны модулям соответствующих линзовых скоростей  $v_s'$  и  $v_s''$  этих волн.

Оптическая ось — направление в кристалле (среде), перпендикулярное плоскости кругового сечения эллипса линзовых скоростей. Всем лучам вдоль оптической оси соответствует одна и та же линзовая скорость, а некоторое направление  $\vec{E}$  может меняться в любом направлении, перпендикулярном линзе.

Классификация аниородичных сред:

a) двухосный кристалл —  $v_x \neq v_y \neq v_z$  ( $\epsilon_x \neq \epsilon_y \neq \epsilon_z$ ;  $n_x \neq n_y \neq n_z$ ).

Кристалл имеет две оптические оси, лежащие в главной плоскости, образованной главными диэл. осами, для которых главные скорости (диэл. проницаемости, показатели преломления) имеют максимальное и минимальное значение.

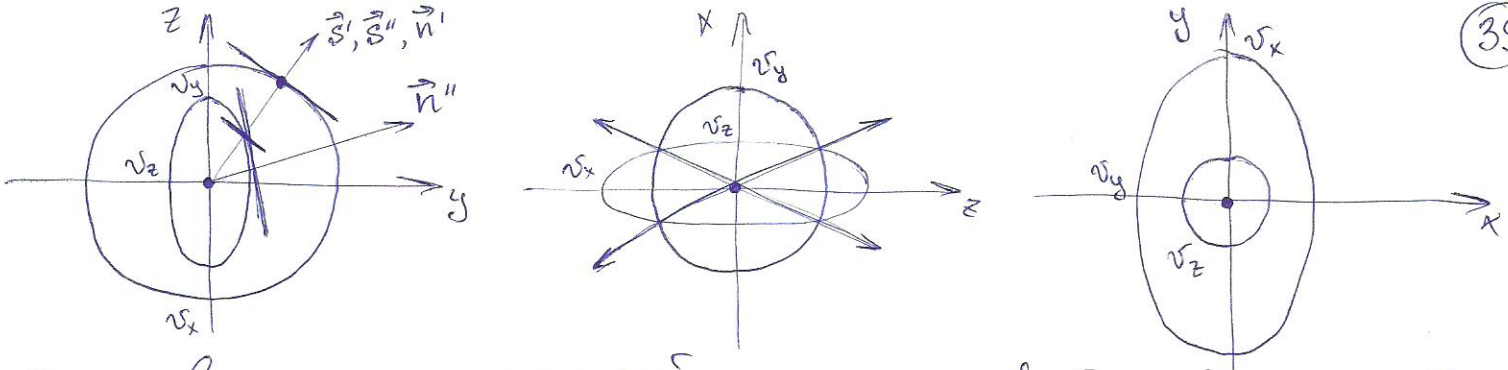
b) одноосный кристалл —  $v_x = v_y \neq v_z$  ( $\epsilon_x = \epsilon_y \neq \epsilon_z$ ;  $n_x = n_y \neq n_z$ ).

Эллипсоид линзовых скоростей — эллипсоид вращения вокруг оси, для которой главная скорость отлична от остальных ( $x$ ). При этом имеется только одна оптическая ось, совпадающая с осью вращения.

Линзовая (волновая) поверхность — поверхность, до которой доходит световое возбуждение из данной точки среды зафиксированный интервал времени.

Это двухбоковая самопресекающаяся поверхность четвёртого порядка. В общем случае в камере направлении из начала координат линзовая поверхность вспрятается 2 раза.

Главные координатные плоскости пересекают линзовую поверхность по эллипсу и окружности. При  $v_x > v_y > v_z$  получим следующие сечения:



Фронт волны для каждой точки лучевой поверхности (волны с заданным лучом) — плоскость, касательная к лучевой поверхности в этой точке.

2. Дисперсия и поглощение света. Поляризация молекулы и вектор поляризации. Формула Клаузиуса-Максвелла. Классическая электронная теория дисперсии. Направленная частота. Комплексный показатель преломления. Закон Бугера. Зависимость показателя преломления и коэффициента поглощения от частоты. Дисперсионная формула и сила асимметрии.

Дисперсия волн — зависимость скорости распространения волн от её частоты.

В установившемся режиме молекула под действием светового поля частоты  $\omega$  приобретает ортогональный дипольный момент:

$$\rho_i = \epsilon_0 \sum_{j=1}^3 a_{ij} E_{\text{эфф},j}, \text{ где } a_{ij}(\omega) - \text{коэффициент}$$

тензора диэлектрической восприимчивости, или поляризуемости молекулы, явившейся в общем случае анизотропной. Эта компонента зависит от частоты  $\omega$  световой волны;  $E_{\text{эфф}}$  — эффективное (действующее на молекулу) поле, вообще говоря, отличающееся от среднего макроскопического поля  $E$  в среде.

Поляризующая диэлектрика определяется единичным моментом  $P$  единицы его объема (вектором поляризации). Единица  $N$  — число молекул в единице объема, то:

$$\rho_i = \sum_{l=1}^N P_{il} = N \langle \rho_i \rangle, \text{ где } \langle \rho_i \rangle - \text{среднее значение проекции единичного момента молекул (средненее проводится по всем ориентациям молекул в единице объема)}$$

Пусть  $\alpha$  - средняя поляризуемость молекулы. Тогда:

(40)

$$\left[ \frac{\epsilon-1}{\epsilon+2} = \frac{Na}{3} \right] - \phi\text{-ра Кеауруса - логика.}$$

Классическая теория дисперсии базируется на рассмотрении воздействия светового поля на оптический электрон в атоме (атомный осциллятор), обладающий осциллирующим дипольным моментом  $p(t) = ex(t)$ . В это поле  $E_{\text{эфф}}(t) = E_0 e^{i\omega t}$  он совершает вынужденное колебание, которое описывается ур-ием:  $m\ddot{x} + \Gamma\dot{x} + kx = eE_0 e^{i\omega t}$ , где  $m$  - масса и заряд электрона;  $k$  - коэф-т "упругой" связи;  $\Gamma$  - коэф-т, описывающий силу "радикационного трения" (сила, действующая на заряженную точечную частицу со стороны её собственного  $\vec{p}$  излучения, вызываемого неравномерным движением этой частицы). Переход к дипольному моменту:  $\ddot{p} + 2\delta\dot{p} + \omega_0^2 p = \frac{e^2}{m} E_0 e^{i\omega t}$ , здесь  $\delta = \frac{\Gamma}{2m}$  - пока-  
затель затухания;  $\omega_0 = \sqrt{k/m}$  - собственная частота колебаний электрона.

$$\left[ k^2 = \frac{\omega^2}{c^2} \left( \epsilon - i \frac{\sigma}{\epsilon_0 \omega} \right) \right] - \text{дисперсионное соотношение}$$

$\tilde{\epsilon}_k = \tilde{\epsilon} - i \frac{\tilde{\sigma}}{\epsilon_0 \omega}$  - комплексная диэл. проницаемость, обладающая собственную диэл. проницаемостью и проводимостью.

Из дисперсионного соотношения:

$k = \frac{\omega}{c} \sqrt{\tilde{\epsilon}_k} = \frac{\omega}{c} n_k = \frac{\omega}{c} (n - i\chi)$ . Здесь  $n_k = \sqrt{\tilde{\epsilon}_k}$  - комплексный показатель преломления. Его действительная и минус за-  
стри определяются выражениями:

$$\left[ n^2 = \frac{1}{2} \left( \sqrt{\tilde{\epsilon}^2 + \frac{\tilde{\sigma}^2}{\epsilon_0 \omega^2}} + \tilde{\epsilon} \right); \chi^2 = \frac{1}{2} \left( \sqrt{\tilde{\epsilon}^2 + \frac{\tilde{\sigma}^2}{\epsilon_0 \omega^2}} - \tilde{\epsilon} \right) \right]$$

Величина  $n$  наз. показателем преломления. Она опре-  
деляет фазовую скорость волны:  $v = c/n$ .

Величина  $\chi$  определяет уменьшение амплитуды волны (41) вдоль оси Oz и наз. искажением поглощения. Интенсивность волны убывает по зону Бугера:  $I(z) = I_0 e^{-\alpha z}$ ,

здесь  $\alpha = 2 \frac{\omega}{c} \chi$  — коэф. поглощения.

Если допустить, что из  $N$  молекул среды в единице общей части из них  $f_1 N$  ( $f_1 < 1$ ) имеют собств. частоту  $\omega_1$  и коэф. затухания  $\delta_1$ , группу частей  $f_2 N$  — частоту  $\omega_2$  и  $\delta_2$  и т. д.

$$\text{Тогда: } \frac{E-1}{E+2} = \frac{Ne^2}{3m\epsilon_0} \sum_e \frac{f_e}{\omega_{qe}^2 - \omega^2 + 2i\delta_e \omega}.$$

Величина  $f_e$  наз. спектральной осциллятора ( $0 < f_e < 1$ ). Её расчет может быть выполнен методами квантовой механики. Если частоте  $\omega_1$  поставить в соответствие частоту  $\omega_{21}$  квантового перехода, то спектральная осциллятора  $f_{21}$  при таком переходе связана с дипольным моментом  $P_{21} = e\epsilon_{21}$  перехода:  $f_{21} = \frac{2m}{\hbar e^2} \omega_{21} P_{21}^2$ .

Квантовомеханический расчет показывает, что:  $\sum_e f_e = Z$  (западная ядра атома).

Величина  $\omega_p$  наз. поглощенной частотой и определяется так:  $\omega_p^2 = \frac{Ne^2}{m\epsilon_0}$ .

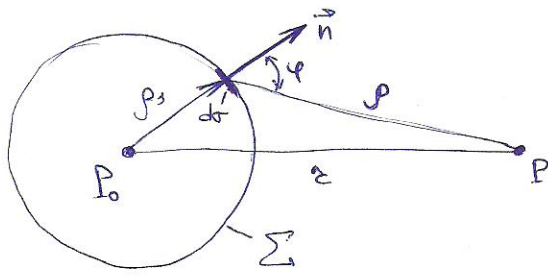
### Решетка 13.

1. Дифракция света. Принцип Гюйгенса-Френеля и дифракционный интеграл Френеля. Теорема обратимости Гельмгольца. Принцип дополнительности Габриэля.

Дифракционный наз. круг явления, описываемый в сферической форме отклонение от прямолинейного распространения света.

# Принцип Гюйгенса-Френеля:

Каждый элемент волнового фронта можно рассматривать как центр вторичного возмущения, порождающего вторичные сферические волны, а результатирующее световое поле в каждой точке пространства будет определяться интерференцией этих волн.



✗ распространение сферической волны от точечного монохроматического источника в т. Р.

В т. Р направлённость эл. поля будет равна:  $E(P) = \frac{c}{2} e^{i(kr - \omega t)} = Ae^{i\omega t}$ , где

$$A = \frac{c}{2} e^{-ikr} - \text{скамерная комплексная амплитуда,}$$

с - константа, зависящая от мощности источника. Процесс распространения волны в точку Р можно представить в два этапа. На первом этапе сферическая волна достигает нек. производимой сферической поверхности  $\Sigma$ , охватывающей источник. На этой поверхности же появляются вторичные источники. На втором этапе вторичные источники испускают свои сферические волны, которые интерферируют в точке Р. Однако, кроме частоты света, параметры этих источников неизвестны. Френель предположил, что возмущение, появляющееся эпипарфарной плоскостью, пропорционально её площади  $d\sigma$  и зависит от угла наклона  $\varphi$  к нормали к плоскости и направлением в точку наблюдения.

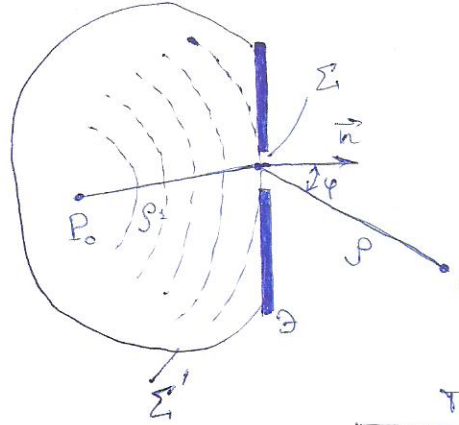
Поскольку в т. Р регистрируется интенсивность  $I = \frac{1}{2} |A|^2$ , в дальнейшем множитель  $e^{i\omega t}$  опускаем. В соответствии с геометрическим рассмотрением:

$$A(P) = \iint_{\Sigma} \frac{c}{P_1} e^{-ikr_1} \frac{e^{-ikr}}{r} K(\varphi) d\sigma = \frac{c}{2} e^{-ikr}, \text{ где } K(\varphi) -$$

коэффициент коэффициент, зависящий от угла наклона  $\varphi$ . Для выполнения полученного равенства необходимо, чтобы  $K(\varphi)$  был удовлетворен функцией  $\varphi$ . Френель предположил, что при  $\varphi = \pi/2$   $K(\varphi) = 0$ .

Кроме того, этот коэффициент должен быть равен единице:  $[K] = [m^{-1}]$ . Поскольку единственный параметр с размерностью длины яв. длина волны  $\lambda$ , то  $K \sim \lambda^2/2$ .

✗ Теперь дифракцию сферической волны на экране Э с отверстием площадью  $\Sigma$ :



Для этого окружите источник замкнутою линией поверхностью поглощают  $\Sigma'$  такими образом, чтобы она проходила  $\frac{1}{2}$  экрана. Если предположить, что материал экрана полностью поглощает свет и сам не излучает, то вторичные источники на отверстии такие же, как и в отсутствие экрана. Поэтому:

$$A(P) = \iint_{\Sigma} \frac{c}{P_0 P} e^{-ik(p_0 + p)} K(\varphi) d\sigma$$

дифракционный интерференционный фронт.

### Теорема обратимости Гельмгольца:

„Если в пространстве в какой-либо точке А возбуждаются световые волны, то одновременно они в какой-либо другой точке В амплитуда волн не величина и не фаза совпадают с тем, которая имела бы место в точке А, если бы источник света находился в точке В“.

### Принцип Бадиже:

„Сумма распределений полей от дополнительных объектов равна полю, наблюдаемому на экране при отсутствии препятствий“.

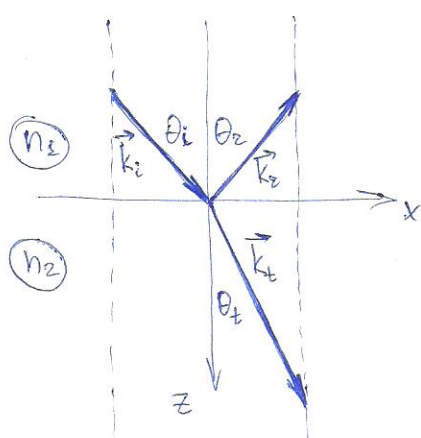
$U_0(P) = U(P) + U_s(P)$ , где  $U_0(P)$  – возбуждение в отсутствие экрана;  $U_s(P)$  – возбуждение в присутствии непрозрачного препятствия, заменяющего отверстие.

2. Оптические явления на границе раздела изотропных диэлектриков. Законы отражения и преломления. Фронт Френеля, параллельная отражённой и преломлённой волне Брюстера.

Из многочисленных опытов известно, что при падении световых волн на границу раздела двух сред возникают, в общем случае, две волны – отражённая и преломлённая  $\frac{1}{2}$  эту границу. Направление распространения этих двух волн и их интенсивности зависят как от направления падающей волны и её интенсивности, так и от оптических характеристик двух сред.

Простая монохроматическая линейно поляризованная световая волна:  $\vec{E} = \vec{A} e^{i(\omega t - \vec{k}^2)}$ ,  $\vec{E}_s = \vec{E}_i + \vec{E}_e$ ,  $\vec{E}_e = \vec{E}_t$ . 44

Границное условие:  $E_{s1} = E_{s2} \Rightarrow \vec{A}_{i1} e^{i(\omega_1 t - \vec{k}_1^2)} + \vec{A}_{e1} e^{i(\omega_1 t - \vec{k}_1^2)} = \vec{A}_{i2} e^{i(\omega_2 t - \vec{k}_2^2)}$



Нас граничне разделява гъвк срещу:

$$\omega_1 = \omega_2 = \omega_t,$$

$$\vec{k} \cdot \vec{z} = (\vec{k}_1 + \vec{k}_2) \cdot \vec{\Sigma}_t = \vec{k}_2 \cdot \vec{\Sigma}_t$$

$$\vec{k}_{i1} = \vec{k}_{e1} = \vec{k}_{t1},$$

$$k_1 \sin \theta_i = k_2 \sin \theta_e = k_t \sin \theta_t,$$

$$n_1 \sin \theta_i = n_2 \sin \theta_e = n_2 \sin \theta_t,$$

$$n_1 \sin \theta_i = n_2 \sin \theta_e = n_2 \sin \theta_t.$$

а) Частоте на гъвките, отразени и пренесени волни равни.

б) Възможни вектора на гъвките, отразени и пренесени волни лежат в едной плоскости с нормалта към повърхността разделя гъвк срещу в точка на гъвк.

б) Число гъвк е равно чику отражения —  $\theta_i = \theta_e$ .

в) Закон Винделброрда Сименса:  $\frac{\sin \theta_i}{\sin \theta_t} = \frac{n_2}{n_1} = n$ .

(му, это винделброрд  
нужен, а не сименс)  
(нам. втори доказ)

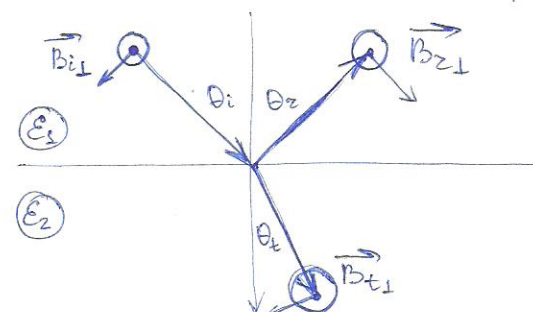
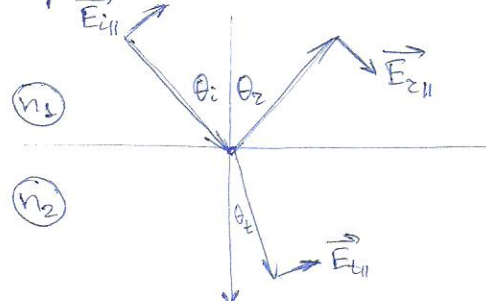
Формулата Френел:

границное условие —  $\vec{D}_{2n} = \vec{D}_{1n}$ ,  $\vec{B}_{2n} = \vec{B}_{1n}$ ,  $\vec{E}_{2n} = \vec{E}_{1n}$ ,  $\vec{H}_{2n} = \vec{H}_{1n}$ .

св-ва наскоки волни —  $[\vec{n} \vec{E}] = \sqrt{\mu} \vec{B}$ ,  $[\vec{n} \vec{H}] = -\sqrt{\mu} \vec{D}$ ,  $\sqrt{\epsilon_0 \epsilon_r} E = \sqrt{\mu_0 \mu_r} H$ .

материалически уравнения:  $\vec{D} = \epsilon_0 \epsilon_r \vec{E}$ ,  $\vec{B} = \mu_0 \mu_r \vec{H}$ .

- Поляризации на гъвките вълни в наскоке  $\vec{E}_{1n}$  и перпендикулярно наскоке  $\vec{E}_{\perp}$  гъвк:



Комплексные коэффициенты отражения ( $\varepsilon_{\parallel}$ ,  $\varepsilon_{\perp}$ ) и пропускания ( $t_{\parallel}$ ,  $t_{\perp}$ ) (по амплитуде):

$$\varepsilon_{\parallel} = \frac{A_{\varepsilon\parallel}}{A_{i\parallel}} = - \frac{\operatorname{tg}(\theta_i - \theta_t)}{\operatorname{tg}(\theta_i + \theta_t)} = - \frac{n^2 \cos \theta_i - \sqrt{n^2 - \sin^2 \theta_i}}{n^2 \cos \theta_i + \sqrt{n^2 - \sin^2 \theta_i}},$$

$$t_{\parallel} = \frac{A_{t\parallel}}{A_{i\parallel}} = \frac{2 \sin \theta_t \cos \theta_i}{\sin(\theta_i + \theta_t) \cos(\theta_i - \theta_t)} = \frac{2 n \cos \theta_i}{n^2 \cos \theta_i + \sqrt{n^2 - \sin^2 \theta_i}},$$

$$\varepsilon_{\perp} = \frac{A_{\varepsilon\perp}}{A_{i\perp}} = - \frac{\sin(\theta_i - \theta_t)}{\sin(\theta_i + \theta_t)} = \frac{\cos \theta_i - \sqrt{n^2 - \sin^2 \theta_i}}{\cos \theta_i + \sqrt{n^2 - \sin^2 \theta_i}},$$

$$t_{\perp} = \frac{A_{t\perp}}{A_{i\perp}} = \frac{2 \sin \theta_t \cos \theta_i}{\sin(\theta_i + \theta_t)} = \frac{2 \cos \theta_i}{\cos \theta_i + \sqrt{n^2 - \sin^2 \theta_i}}. \quad n = \frac{n_2}{n_3}$$

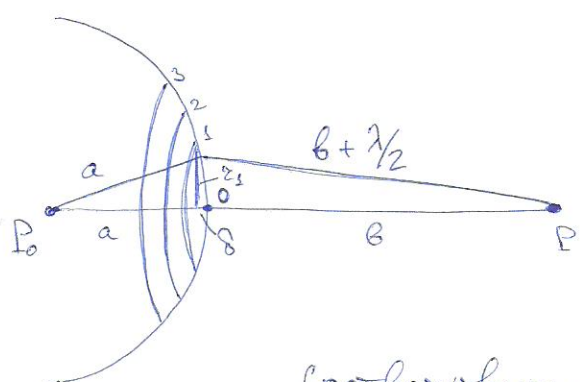
Число падение  $\theta_i$ , при котором одна из компонент ( $E_{\parallel}$  или  $E_{\perp}$ ) не отражается, наз. числом Брюстера. при  $\theta_i + \theta_t = \frac{\pi}{2} : \varepsilon_{\parallel} = 0$   
(одна из компонент не отр.).

$$\frac{\sin \theta_B}{\sin \theta_t} = \frac{\sin \theta_B}{\sin(\frac{\pi}{2} - \theta_B)} = \operatorname{tg} \theta_B = \frac{n_2}{n_3} < 1$$

Таким образом, при падении под числом Брюстера света, поглощаемого в плоскости падения, его отражение не происходит.

#### Тема 14.

1. Метод зон Френеля. Радиус и число зон Френеля. Число Френеля. Условия подавления дифракции и перехода от волновой к геометрической оптике.



Окруженный торец  $P_0$  сферой радиусом  $R_s = a$ . Пусть точка  $P$  расположена на расстоянии  $b$  от поверхности сферы. Мысленно изображим, одна коника которой находится в т.  $P$ , проведём по ней-то сферы окружности,

равные  $b + \frac{1}{2}$ ,  $b + 2\frac{1}{2}$ ,  $b + 3\frac{1}{2}$ , ...,  $b + m\frac{1}{2}$ . Тогда сфера будет разделена на концентрические оболочки, называемые зонами Френеля.

Рассчитаем радиус  $\Sigma_m$  и площадь  $T_m$  в  $m$ -й зоне. Радиус  $\Sigma_1$  46  
первой зоны определяется, как следует из рисунка, из уравнения:

$$a^2 - (a-\delta)^2 = \Sigma_1^2 = \left(b + \frac{1}{2}\right)^2 - (b+\delta)^2$$

Поскольку  $b \gg \lambda$ , можно преобразовать величиной  $\lambda^2/4 \ll \lambda b$  в правой части. В результате получим:

$$\Sigma_1 = \sqrt{\frac{ab}{a+b}} \lambda$$

Площадь первой зоны:  $T_1 = \pi \Sigma_1^2 = \frac{\pi ab}{a+b} \lambda$

Заменив  $\lambda$  на  $m\lambda$ , получим выражение для радиуса  $m$ -й зоны Френеля:

$$\Sigma_m = \sqrt{\frac{ab}{a+b} m\lambda}$$

Площадь  $m$ -й зоны равна площади кельца:

$$T_m = \pi(\Sigma_m^2 - \Sigma_{m-1}^2) = \pi \Sigma_1^2 = T_1 \Rightarrow T_m = T_1 = \text{const}$$

Приведенное выражение означает, что различие площадей зон в дифракционной интервале Френеля обусловлено только различием расстояния  $R_m = b + m\frac{\lambda}{2}$  и угла наклона  $\varphi_m$ .

Основные параметры, существенно определяющие характер дифракционных явлений, являются: длина волны  $\lambda$ , радиус отверстия  $b$ , расстояние до точки наблюдения  $R$ . Характер дифракционных явлений существенно зависит от значения  $m$ -го кольца

$$R = \frac{\sqrt{\lambda p}}{b}$$

$p \ll 1$  - область геометрической оптики;

$p \gg 1$  - область дифракции Фраунгофера;

$p \approx 1$  - область дифракции Френеля.

При падении экрана не все зоны Френеля открыты. Число открытых (действующих) зон Френеля  $N$  наз. числом Френеля.

В общем случае число Френеля  $N$  зависит от радиуса отверстия  $b$  экрана  $R_0$ , взаимного расположения источника, экрана с отверстием и точки наблюдения  $-a, b$ , а длина волны  $\lambda$ :

$$R_0 = \Sigma_N = \sqrt{N \frac{ab}{a+b} \lambda}, \quad N = \frac{R_0^2}{\lambda} \left( \frac{1}{a} + \frac{1}{b} \right)$$

С изменением числа Френеля регулирующая интенсивность 47 будет периодически уменьшаться и увеличиваться, т.е. будет наблюдаться дифракционная картина. При этом число действующих зон Френеля (число Френеля) определяет условие наблюдения дифракции. Поэтому условием подобия дифракции будет одинаковое число Френеля  $N$ .

Если число Френеля будет большим, то при недостаточных перемещениях вдоль линии РоР существенных дифракционных изменений интенсивности не происходит, поскольку вклады от дальних зон Френеля стремятся к нулю, — волна распространяется прямолинейно. Следовательно, условием перехода от волновой к геометрической оптике является очень большое число Френеля —  $N \gg 1$ .

2. Оптические явления на границе раздела изотропных диэлектриков. Формулы Френеля, явление полного внутреннего отражения. Энергетические соотношения при преломлении и отражении света.

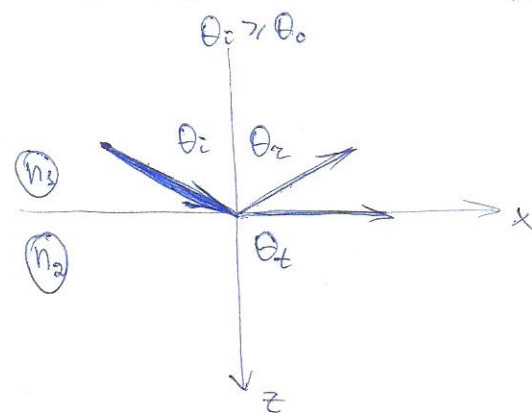
см. Рисунок 3 (н. 2)

Если  $n_2 < n_1$ , то существует угол полного внутреннего отражения  $\theta_0$  — наименьший угол падения, при котором нет преломленной волны во второй среде:

$$\sin \theta_0 = \frac{n_2}{n_1} = n \rightarrow \boxed{\theta_0 = \arcsin \frac{n_2}{n_1}}$$

В этом случае волна движется вдоль поверхности раздела:

$$E_t = A_t e^{i(\omega t - k_t z)} = A_t e^{i(\omega t - k_t x \sin \theta_t - k_t z \cos \theta_t)}$$



при  $\sin \theta_0 \geq n$ :

$$\cos \theta_t = \pm \sqrt{1 - \sin^2 \theta_t} = \pm \sqrt{n^2 - \sin^2 \theta_i} = \\ = \pm i \sqrt{\sin^2 \theta_i - n^2}$$

$$E_t = A_t e^{-k_t \frac{\sqrt{\sin^2 \theta_0 - n^2}}{n} z} e^{i(\omega t - k_t x \sin \theta_t)} = \\ = A_t e^{-z/\lambda z} e^{i(\omega t - k_t x \sin \theta_t)}$$

Глубина проникновения волны в среду  $\Delta z$  вдоль оси Z:

(48)

$$\Delta z = \frac{n}{k_t \sqrt{\sin^2 \theta_i - n^2}} = \frac{n \Delta t}{2\pi \sqrt{\sin^2 \theta_i - n^2}}.$$

Энергетические соотношения при преломлении и отражении света:

a) мощность потока энергии (вектор Чебо-Байтинга) падающей световой волны, среднейная по времени наблюдение:

$$\langle \vec{S} \rangle = I \vec{n} = \sqrt{\frac{\epsilon_0 \epsilon}{\mu_0 \mu_r}} \cdot \frac{1}{2} \langle |E|^2 \rangle \vec{n} = \sqrt{\frac{\epsilon_0 \epsilon}{\mu_0 \mu_r}} \cdot \frac{1}{2} |A|^2 \vec{n}.$$

b) козф. отражения (по энергии) R - отношение модулей нормальных компонент мощностей потоков энергии в отражённой и падающей волнах:

$$R = \left| \frac{I_2 \cos(\pi - \theta_2)}{I_1 \cos \theta_1} \right| = \frac{I_2 \cos \theta_2}{I_1 \cos \theta_1} = \frac{|A_2|^2}{|A_1|^2} = |\varepsilon|^2;$$

$$R_{||} = |\varepsilon_{||}|^2, R_{\perp} = |\varepsilon_{\perp}|^2.$$

c) козф. пропускания (по энергии) T - отношение модулей нормальных компонент мощностей потоков энергии в пропущенной и падающей волнах:

$$T = \left| \frac{I_t \cos \theta_t}{I_1 \cos \theta_1} \right| = \frac{I_t \cos \theta_t}{I_1 \cos \theta_1} = \frac{\sqrt{\epsilon_2} |A_t|^2 \cos \theta_t}{\sqrt{\epsilon_1} |A_1|^2 \cos \theta_1} = n |t|^2 \frac{\cos \theta_t}{\cos \theta_1};$$

$$T_{||} = n |t_{||}|^2 \frac{\cos \theta_t}{\cos \theta_1}, \quad T_{\perp} = n |t_{\perp}|^2 \frac{\cos \theta_t}{\cos \theta_1}.$$

Из формулы Френеля следует, что  $R + T = 1$  - 3-й к. соотр. энергии.

### Диод 15.

1. Спектральный анализ с пространственным разложением спектра. Спектральные приборы и их характеристики. Эмисия Майкельсона. Многоволновые интерферометры. Интерферометр Майкельсона.

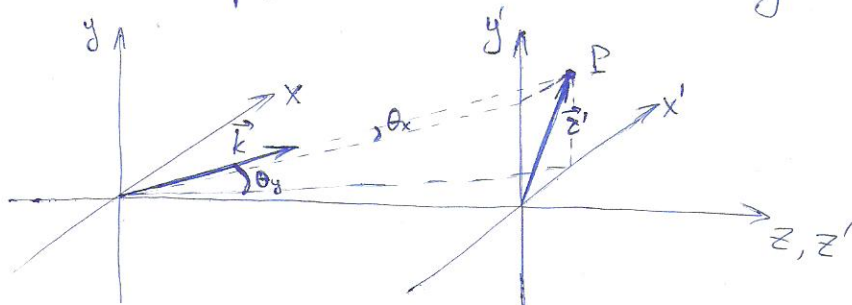
Комплексная амплитуда и интенсивность дифракционной (49)  
картины в приближении Фраунгофера:

$$A(P) = \frac{i}{\lambda} \cdot \frac{e^{-ikb}}{b} \int_{-\infty}^{+\infty} \int_{-\infty}^{+\infty} A_\Sigma(x, y) e^{i(k_x x + k_y y)} dx dy = \frac{i}{\lambda} \frac{e^{-ikb}}{b} A_\Sigma(ik_x, ik_y),$$

$$I(P) = \frac{1}{2} |A(P)|^2 = \frac{1}{2\lambda^2 b^2} |A_\Sigma(ik_x, ik_y)|^2.$$

Пространственные частоты —  $k_x = k \sin \theta_x = \frac{2\pi}{\lambda} \frac{x'}{b}$ ,  $k_y = k \sin \theta_y = \frac{2\pi}{\lambda} \frac{y'}{b}$ .

Угловые координаты точки наблюдения  $P$  —  $\theta_x$  и  $\theta_y$ .



Комплексная пространственная спектральная амплитуда —  
прямое пространственное (пространственно-частотное или угловое)  
преобразование Фурье комплексной амплитуды  $A_\Sigma(x, y)$  свето-  
вого поля:  $A_\Sigma(ik_x, ik_y) = \int_{-\infty}^{+\infty} \int_{-\infty}^{+\infty} A_\Sigma(x, y) e^{i(k_x x + k_y y)} dx dy$ .

Комплексная амплитуда светового поля на поверхности  $\Sigma$  —  
обратное пространственное преобразование Фурье комплексной  
пространственной спектральной амплитуды  $A_\Sigma(ik_x, ik_y)$ :

$$A_\Sigma(x, y) = \left(\frac{1}{2\pi}\right)^2 \int_{-\infty}^{+\infty} \int_{-\infty}^{+\infty} A_\Sigma(ik_x, ik_y) e^{-i(k_x x + k_y y)} dk_x dk_y.$$

Спектральный прибор — прибор для разложение светового поля  
на монохроматические составляющие в спектр (с пространст-  
венным разрешением вели с помощью угловой дисперсии).

Основные характеристики:

a) Функция интенсивности  $I(P)$  — "отклик" прибора на монохрома-  
тическое излучение — регистрируемая интенсивность светово-  
го поля в зависимости от обобщенной координаты точки  
наблюдения  $P$ .

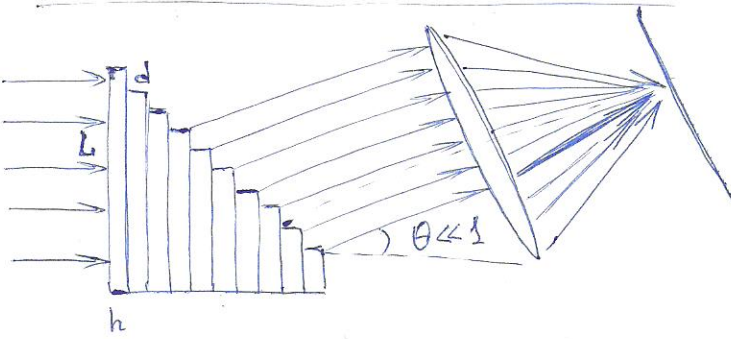
5) Область дисперсии, дисперсионная область  $\Delta\lambda$  — максимальная ширина спектрального интервала, при которой возможна работа прибора (получение разрешенной дифракционной или интерференционной картины). Интервал длины волн, исследуемый спектральным прибором.

6) Предел разрешения  $\delta\lambda$  — минимальная разность длины волн двух спектральных линий, которые разрешает спектральный прибор.

7) Разрешающая способность (спектра) — отношение характерной длины волны  $\lambda$  исследуемого излучения к пределу разрешения  $\delta\lambda$  ( $R = \lambda/\delta\lambda$ ).

8) Числовая дисперсия  $D_\theta = \frac{d\theta}{d\lambda}$  — скорость изменения чисевой координаты  $\theta$  максимальной регистрирующей интенсивности с изменением длины волн.

Этапы дифрактометрии:



$$\Delta(\theta) = nh + d \sin \theta - h \cos \theta \approx (n-1)h.$$

Аппаратная функция:

$$I(\theta) = I_0(\theta) \cdot H(N, \xi(\theta))$$

$$H(N, \xi(\theta)) = \frac{\sin^2(N\xi(\theta))}{\sin^2(\xi(\theta))}, \quad \xi(\theta) = \frac{k\Delta(\theta)}{2}.$$

Усл. главных максимумов:

$$\Delta = nh + d \sin \theta - h \cos \theta = m\lambda$$

Период дифракции:

$$m = \frac{\Delta}{\lambda} \approx \frac{(n-1)h}{\lambda}.$$

Область дисперсии:  $\Delta\lambda = \lambda/m \approx \frac{\lambda^2}{(n-1)h}$ .

Предел разрешения:  $\delta\lambda = \frac{\lambda}{Nm} \approx \frac{\lambda^2}{N(n-1)h}$ .

Разрешающая способность:  $R = Nm \approx \frac{N(n-1)h}{\lambda}$ .

Числовая дисперсия:  $D_\theta = \frac{m}{d \cos \theta + h \sin \theta} \approx \frac{m}{d} = \frac{(n-1)h}{\lambda d}$ .

## Многоволновые интерферометры:

### a) Интерферометр Раби-Перо:

см. Билет 50 (н. 1).

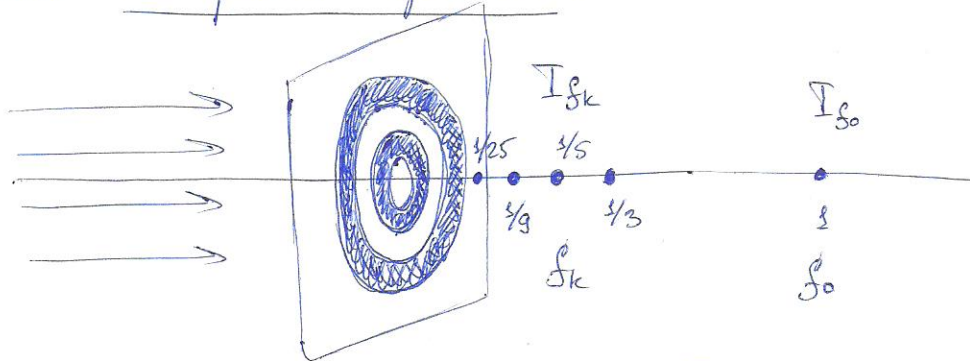
Интерферометр Майкельсона (метод генерации амплитуды).  
схему см. Билет 53 (н. 1).

2. Метод векторных диаграмм. Страна Франция. Золотые пластинки. Амплитудная и фазовая золотые пластинки. Рокуэль золотой пластинки. Пленка как оптическая золотая пластинка.

Если на стеклянную пластинку нанести концентрические тёмные кольца, закрывающие либо только тёмные, либо чёткие чёткие зоны Френеля, то получится золотая пластинка.

Комбинации от чётных и чётных зон Френеля находятся в прописофазе и, следовательно, взаимно ослабливают друг друга. Если поставить на пути световой вспышки золотую пластинку, то интенсивность света в точке наблюдения резко возрастёт. Ещё большего эффекта можно достичь, не перекрывая чётные (или чётные) зоны, а изменяя фазу их комбинаций на  $\pi$ . Это можно осуществить с помощью прозрачной пластины, толщина которой в местах, соответствующих чётным или чётным зонам, отличается на полпериода таким образом подобранную величину. Такой пластина наз. фазовой золотой пластинкой. По сравнению с перекрывающей зонами амплитудной золотой пластинкой фазовая даёт дополнительное увеличение амплитуды в два раза, а интенсивности света — в четыре раза.

Две касающиеся зоны Френеля фаза будет плавно меняться от границы начальной зоны до её конца.  $OM_2$  - действующие перпендикульные зоне Френеля. Для того чтобы учесть действие второй зоны Френеля, надо продолжить вторую диаграмму (луча  $M_3M_2$ ).  $M_1M_2$  короткое лучи  $OM_2$  ближайшие возрастанию начальной зоны. Проделав такое рассмотрение, получим спираль Френеля.



Если сместить точку наблюдения вблизи или напротив оси  $SP$ , соединяющей источник и точку наблюдения, то условие зонной пластинки нарушается, и интенсивность света резко уменьшается. Как видно, зонная пластинка работает как линза, давая в точке  $P$  изображение точечного источника, находящегося в точке  $S$ . Для расчёта фокусного расстояния зонной пластинки воспользуемся формулой для радиусов зон Френеля. При наложении на зонную пластинку плоской волны ( $a \rightarrow \infty$ ) лучи дифракции сходятся в фокусе. Следует:

$$R_m = \sqrt{m\lambda \frac{ab}{a+b}} \xrightarrow{a \rightarrow \infty, b \rightarrow f_0} \sqrt{m\lambda f_0} \Rightarrow \boxed{f_0 = \frac{R_m^2}{m\lambda}}$$

При приближении точки наблюдения к пластинке зоны Френеля уменьшаются, а при удалении — увеличиваются. Если расстояние  $b = f_0$  уменьшить в  $(2k+1)$  раз, то каждая зона пластинки будет содержать в себе  $(2k+1)$  новых зон Френеля, (поскольку оно увеличивается в то же число раз) и будет испытывать локальное увеличение интенсивности. При этом самые максимальные будут обнаруживаться на расстояниях  $\boxed{f_k = \frac{f_0}{2k+1}}$ , где  $k = 0, 1, 2, \dots$ .

Линза — это оптимальная зональная маска, у кото- 53  
рой световые возмущения в точке наблюдения (в месте  
изображения вторичного источника, а в случае маской пада-  
ющей волны — в фокусе) от всех элементарных зон наход-  
ятся в одинаковой фазе. Поэтому для линзы на некоторой  
диапазоне выполняются параклассические, соответствующие  
зональные Френелем.

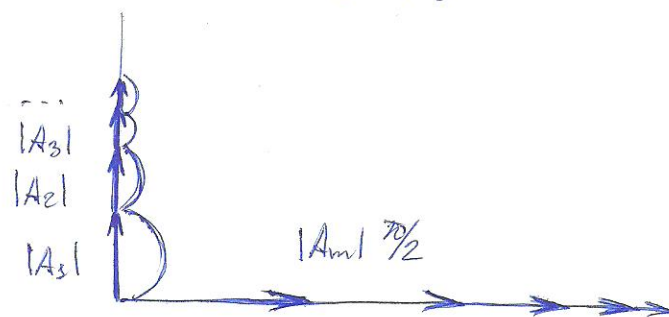
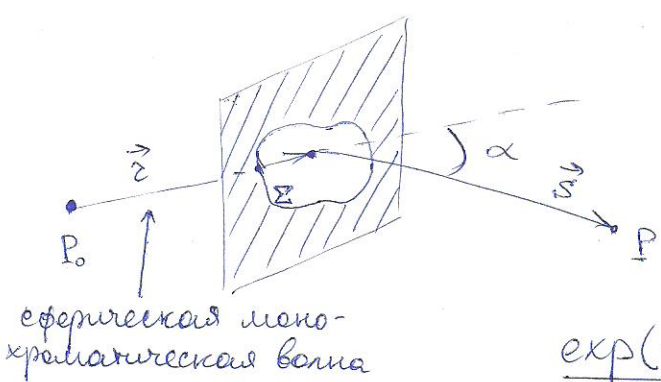


Рисунок 16.

1. Дифракция света. Ближняя и дальняя зоны дифракции, дифракционная длина пучка. Дифракционная расходимость пучка в дальней зоне. Дифракция на краю отверстия и краю экрана. Пятое Пуассона.

Дифракция света — это совокупность физических явлений, обусловленных волновой природой света и наблюдаемых при его распространении в среде с резко выраженной оптической неоднородностью.



сферическая монохроматическая волна

$$U(P) = -\frac{iA}{2\lambda} \iint_{\Sigma} k(\alpha) \frac{\exp(-ikr)}{z} \frac{\exp(-iks)}{s} dS$$

интегральная формула Френеля—  
Кирхгофа.

$\frac{\exp(-ikr)}{z}$  — описывает сфер. волну, распространяющуюся из т.  $P_0$  до некоторого вторичного источника.

$\frac{\exp(-iks)}{s}$  — описывает сфер. волну, идущую от вторичного источника до точки наблюдения  $P$ .

Если размер отверстия мал ( $\Sigma \ll z, s$ ), то множитель  $k(\alpha)$  и  $\frac{1}{zs}$  незначительно изменяются при интегрировании по отверстию  $\Sigma$  и основную роль в вычислении дифракцион-

каждая картина имеет интервал от быстрого осциллирующего (54)  
импульса вида  $\exp[-ik(z+s)]$ . Разложение в ряд этого  
импульса называет сущесвенно упрощено ф. Фр.-Кирх. Две-  
ние, описываемое в рамках такого приближения, назят  
называние дифракции Френеля, или дифракции в ближней  
зоне.

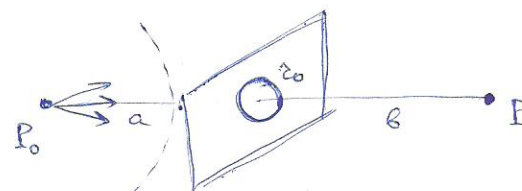
При  $z \rightarrow \infty$  фронт наблюдаемой волны можно считать плос-  
кой. Если  $s \rightarrow \infty$ , то и вторичные волны, распространяю-  
щиеся под некоторым углом  $\alpha$  к первоначальному на-  
правлению, имеют плоский волновой фронт. Дифракцион-  
ные явления, наблюдаемые при этих условиях, называют на-  
зывание дифракции Фраунгофера, или дифракции в дальней  
зоне.

Если  $l_0$  — поперечный радиус светового пучка,  $\lambda$  — длина  
волны света, то величина  $L_0 = \frac{l_0^2}{\lambda}$  наз. дифракционной  
диаметр пучка. Она определяет масштаб расстояний, на ко-  
торых развивается заметная дифракция пучка.

В дальней зоне  $z > L_0$  ( $m < 1$ ) интенсивность на оси с  
расстоянием  $z$  экспоненциально уменьшается. Это свидетельствует о  
том, что радиус пучка стал увеличиваться по мере его  
распространения. Пучок приобретает дифракционную раско-  
динность, задаваемую условием  $\Theta \approx \lambda/l_0$ .

Если сфер. волна падает на экран с круглыми отверстиями  $r_0$ , то амплитуда волны в точке  $P$  на оси отверстия  
зависит от числа открытий зон Френеля.

При фиксированном положении источника число откры-  
тий зон изменяется с расстоянием  $b$ :  $\Sigma_m = \sqrt{\frac{ab}{a+b}} m! = r_0$

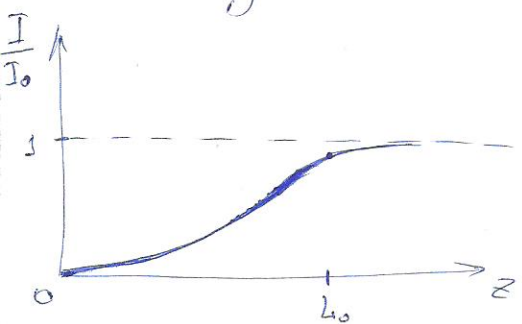


$$\text{След-но: } m = \frac{r_0^2}{\lambda} \left( \frac{1}{a} + \frac{1}{b} \right).$$

Такое перемещение точки Р вдоль оси апертуры воз- (55)  
мущения будет периодически изменяться, достигая макси-  
мума при нечётном  $m$  и минимума при чётном  $m$ .  
Несимметричный максимум достигается на расстоянии  $b$ , ко-  
да  $m=1$ . В этом случае:  $A_{\max} = A_1 = 2A = 2 \frac{a}{a+b}$ . Следовательно

интенсивность вспышки повышается в 4 раза по сравнению с  
интенсивностью вспышки в отсутствие экрана.

2) Если же на пути падающей вспышки поставить непрозрачный  
диск (первый экран) радиуса  $r_0$ , то при  $z \ll L_0 = \frac{r_0^2}{\lambda}$  этот  
диск закроет практически все зоны и интенсивность  $I \approx 0$ .  
Насоберег, в дальней зоне при  $z > L_0$  диск закрывает лишь  
небольшую центральную часть первой зоны, поэтому  $I \approx I_0$ .  
График распределения интенсивности на оси Oz, совпадающей  
с осью диска, выглядит так:

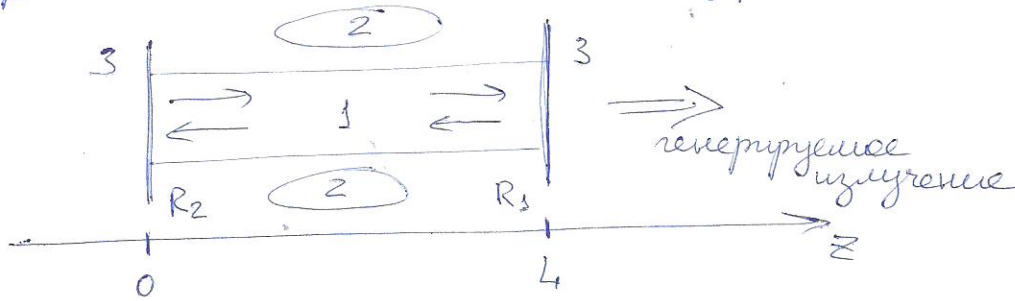


Проникновение света за диск в дальней  
зоне иногда трактуется как отбрасывание  
светом диска. В центре тёмного поля  
дифракционной картины имеется свет-  
лая пятно (пятно Бессона).

2. Лазер — устройство и принцип работы. Принципиаль-  
ная схема лазера. Условие стационарной генерации.  
Продольные и поперечные моды колебания и излучения.  
Спектральный состав излучения лазера. Модные линии из-  
лучения, международного интервала и полосы усиления. Одно-  
модовый лазер. Примеры лазеров.

Лазер — ОКГ, устройство, преобразующее произвольного вида энер-  
гии (электрическую, световую, химическую, тепловую и т.д.) в энергию  
коherentного и излучение оптического диапазона.

## Принципиальная схема лазера:



- 1 - активная среда (среда с ионизированной заселенностью уровней);
- 2 - система пакетки (источник энергии для создания активной среды);
- 3 - оптический резонатор (обратная связь для генерации).

Пакетка  $\rightarrow$  Ионизация заселенности  $\rightarrow$  Спонтанное излучение  $\rightarrow$  Вынужденное излучение  $\rightarrow$  Усиление света  $\rightarrow$  Обратная связь  $\rightarrow$  Генерация света.

### Условия стационарной генерации:

a) Баланс амплитуд (условие усиления, возникновение генерации):

$$S(\omega) = S_0(\omega) R_1 R_2 e^{\beta_{nm}(\omega)2L}, \quad \frac{S(\omega)}{S_0(\omega)} = R_1 R_2 e^{\beta_{nm}(\omega)2L} > 1,$$

$$\beta_{nm}(\omega) = \frac{\hbar\omega}{\gamma} \delta_{nm}(\omega) g_n(h_m - h_n) > \beta_{\text{нор}} = \frac{-\ln \sqrt{R_1 R_2}}{L} \equiv \frac{f}{L}.$$

Здесь  $R_1, R_2$  - коф-фиц. отражение (по энергии) зеркал;  $L$  - длина резонатора;  $\beta_{nm}(\omega)$  - коф. усиления света в активной среде.

b) Баланс фаз (оптимальное условие для генерации):

$$2L = m\lambda_m, \quad \lambda_m = \frac{2L}{m}; \quad k_m = m \frac{\pi}{L}, \quad \omega_m = m \frac{\pi v}{L}, \quad T_m = \frac{2L}{m v}, \quad m = 1, 2, 3, \dots$$

Для  $n_y$  резонатора - для зеркала ( $n > 1$ ) баланс оси  $Z$  и отсутствие зеркала баланс осей  $X$  и  $Y$  (доп. граничные  $n < 1$ ) - условие моды колебания (решение канонического уравнения):

$$\begin{aligned} E(t, x, y, z) &= E_0 \cos(\omega t + \varphi_0) \cos(k_x x + \varphi_{x0}) \cos(k_y y + \varphi_{y0}) \cos(k_z z + \varphi_{z0}) = \\ &= E_0 \cos(\omega t + \varphi_0) \cos(k_x x) \cos(k_y y) \sin(k_z z) \end{aligned}$$

Излучение лазера — бегущие волны, соответствующие модам колебаний — моды излучения лазера. Ур-кие моды излучения:  $E(t, x, y, z) = E_0 \cos(\omega t - k_x x - k_y y - k_z z + \varphi_0) = E_0 \cos(\omega t - \vec{k} \vec{z} + \varphi_0)$ .

Продольные моды —  $(0, 0, m_z)$  — в плоскости XOY нет узлов.

Поперечные моды —  $m_x, m_y \neq 0$  — рисунок узлов в плоскости XOY.

Спектральный состав излучения лазера:

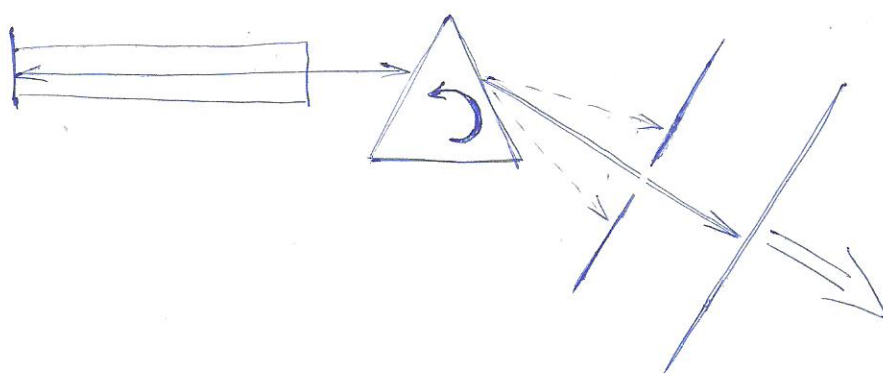
Ширина линий излучения —  $\delta\omega (\sim \frac{1}{2} \sim 10^8 \text{ с}^{-1})$ .

Ширина временного интервала —  $\Delta\omega_z = \frac{\pi V}{L} (\sim 10^9 \text{ с}^{-1})$ .

Ширина полосы усиления —  $\Delta\omega_{ye} = \omega_u - \omega_{lc} (\sim 10^{10} \div 10^{14} \text{ с}^{-1})$ .

Одномеровый лазер.

Принципиальная схема. Внутри резонатора — частотный фильтр — дисперсионный элемент (призма, диф. решётка и т.д.) и диафрагма. Преодолевший порог генерации лазер создаётся только где узкой области частот.



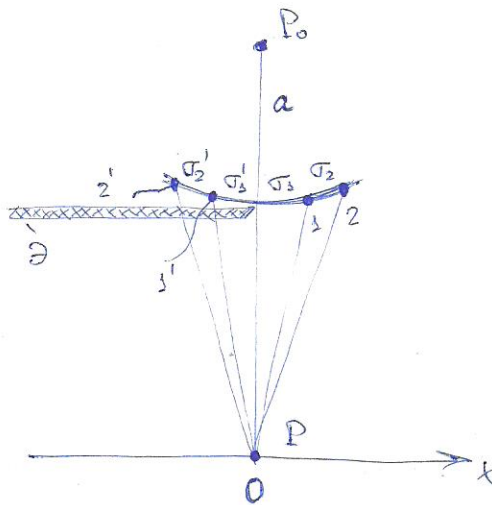
Трёхмерные лазеры: трубчатый лазер, гелий-неоновый лазер, лазер на урановом газе, лазеры на органических красителях

Билет 17.

1. Дифракция света. Дифракция на крае полуцилиндрического экрана и зоны Муслера, спираль Корнио.

и. Билет 16 (н. 1)

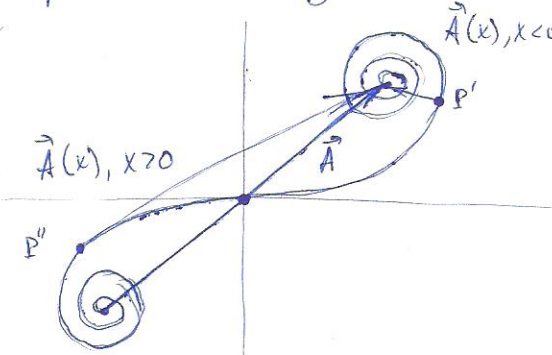
Для решения задачи дифракции на у крае или полуцилиндрическости необходимо вспоминать симметрию задачи и разбить волновой фронт на полуволновые зоны (зоны Муслера), которые, в принципе, аналогичны зонам Френеля. Однако в отличие от последних, ширина зон Муслера убывает по величине.



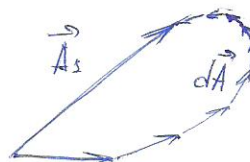
Пусть сферическая волна падает на непрозрачный экран  $\mathcal{E}$  с перпендикулярными краями, закрывающими часть волнового фронта. Край экрана перпендикулярен плоскости чертежа. Разобьём сферический фронт радиуса  $a$  на зоны Муслера. Через точку  $P_0$  и точки  $1'$  и  $2'$ ,  $1$  и  $2$  и т.д. проведем меридиональные плоскости, параллельные краю экрана. Эти плоскости разбивают фронт на зоны-диски неравной ширины: тем больше номер зоны, тем меньше её ширина. Это означает, что при суммировании в пределах какой-либо зоны величина  $dA$  будет уменьшаться в одинаковом соотношении, что и ширина зон, поскольку уменьшение угла  $\varphi$  для всех  $dA$  одинаково. Векторная диаграмма для первой зоны изображается следующим образом:

Подобным образом рассчитывается вклад любой зоны. Для расчета амплитуды в точке  $P$  строится векторная диаграмма, называемая спиралью Корнио.

Подобным образом рассчитывается вклад любой зоны. Для расчета амплитуды в точке  $P'$  строится векторная диаграмма, называемая спиралью Корнио.



Она состоит из двух векторов, называемых учитывать вклад как зон  $T_1, T_2, \dots$ , так и зон  $T'_1, T'_2, \dots$ . Длина вектора  $\vec{A}$ , составляющая на плоскости спирали (круговидной), равна амплитуде падающей волны.



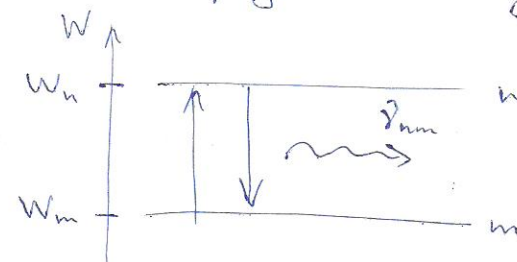
Расчёт дифракции Френеля на бесконечной плоскости сводится к (59) задаче о дифракции на двух полуволновых зонах с учётом открытого числа зон Мустера. Интенсивность дифрагированного света в данной точке наблюдения определяется как длина вектора из двух точек максимумов, координаты которых зависят от положения точки наблюдения относительно краёв зоны. Как и в случае дифракции Френеля на круглом отверстии, интенсивность дифрагированного света в центре экрана определяется числом открытых полуволновых зон Мустера: если это число чётное, то наблюдается минимум, если нечётное — максимум.

2. Основные представления о квантовой теории излучения света атомами и молекулами. Модель двухуровневой системы. Спонтанное и вынужденное радиационные переходы. Коэффициенты Эйнштейна. Взаимодействие коэффициентов Эйнштейна, формула Бланка.

см. Рисунок 3 (n.2)

- существуют стационарные состояния атомов, в которых они не излучают и не поглощают свет. В этих состояниях атомы обладают энергией  $W_n$ , образующими дискретный ряд значений — уровни энергии.
- излучающие и поглощающие атомы световые волны при переходе с уровня энергии  $W_n$  на уровень  $W_m$ , монохроматичные с частотой  $\nu_{nm}$  ( $\omega_{nm}$ ), определяемой условием:

$$h\nu_{nm} = h\omega_{nm} = W_n - W_m.$$



a) спонтанное излучение фотонов с частотой  $\nu_{21}$ :

атомы спонтанно переходят из возбуждённого состояния  $E_2$  на уровень  $E_1$ . Число этих переходов в единицу времени пропорционально населённости  $N_2$  верхнего уровня и равно:

$$\frac{dN_{2\text{cr}}}{dt} = A_{21} N_2, \text{ где } A_{21} - \text{коэф. Эйнштейна}, \text{ характеризующий}$$

вероятность спонтанных переходов в единицу времени в расчёте на один атом на верхнем уровне  $N_2$  и имеющий смысл величи-

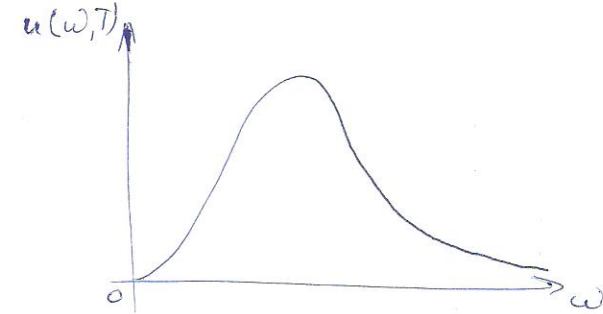
и обратной среднему времени жизни возбуждённого со-<sup>60</sup>  
стоящим атома.

б) внуждённое излучение фотонов с частотой  $\nu_{21}$ :  
атомы переходят из возбуждённого состояния  $E_2$  в состояние  
 $E_1$  под действием внешнего светового поля. Число таких пе-  
реходов в единицу времени пропорционально населённости  $N_2$   
верхнего уровня и спектральной интенсивности  $\rho$  поля  $\rho$ , и будет  
равно:  $\frac{dN_{2\text{вын}}}{dt} = B_{21} N_2 \rho$ , где  $B_{21}$  — коэф. Гинзбурга для вы-  
нуждённого излучения;  $(B_{21} \rho)$  — вероятность индуцированного пе-  
рехода с излучением фотона, отнесённая к единице времени.

$$\boxed{\frac{A_{nm}}{B_{nm}} = \frac{\hbar \omega_{nm}^3}{\pi^2 c^3}}$$

Ф-ла Планка для спектральной общейной интенсивности энер-  
гии теплового излучения:

$$\boxed{u(\omega, T) = \frac{\hbar \omega^3}{\pi^2 c^3} \cdot \frac{1}{e^{\frac{\hbar \omega}{kT}} - 1}}$$



### Блок 18.

1. Дифракция света. Недостатки начального принципа Гюйгенса-Френеля. Понятие о теории дифракции Кирхгофа. Уравнение Гельмгольца и интегральная теория Гельмгольца-Кирхгофа. Дифракционный интеграл Френеля-Кирхгофа. Принципиальная Френеля и Фраунгофера.

см. Блок 16 (н. 3)

## Недостатки приимена Гюйгенса-Френеля:

Если задаётся только одна скользящая волна в функции, то единичу и тому же распределению амплитуд и фаз единичных волн будут соответствовать два волновых фронта (рассматриваемые как симметричные единичные сферические волны). Один из фронтов распространяется в одну сторону от поверхности, а другой — в противоположную. Поэтому для однозначности решения приходится принимать дополнительное, не включённое в формулировку задачи предположение о направлении распространения волн и сдвиге их фаз. Другими словами, при такой постановке задачи не задана необходимая информация о том, в какую сторону дальше распространяется волна.

Уравнение Гельмгольца:  
(для независимой от времени комплексной амплитуды)

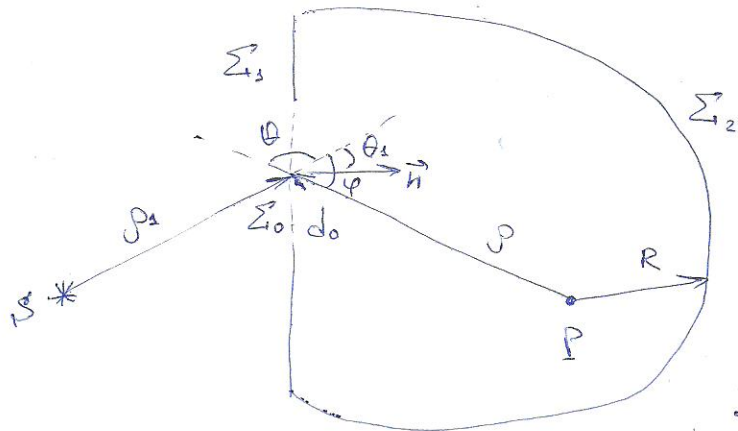
$$(\Delta + k^2) A(\vec{\Sigma}) = 0, \quad k = \frac{2\pi}{\lambda}$$

$\Delta$  — лапласиан.

Если решение уравнения Гельмгольца (комплексная амплитуда  $A(\vec{\Sigma})$ ) гармонической волны имеет непрерывные частные производные первого и второго порядков на заданной поверхности  $\Sigma$  и внутри объема  $V$ , ограниченного этой поверхностью, то имеет место интегральная теорема Гельмгольца-Кирхгофа:

$$A(P) = \frac{i}{4\pi} \iint_{\Sigma} \left( A_{\Sigma} \frac{\partial}{\partial n} \left( \frac{e^{-ik\rho}}{\rho} \right) \Big|_{\Sigma} - \frac{e^{-ik\rho}}{\rho} \cdot \frac{\partial A}{\partial n} \Big|_{\Sigma} \right) d\sigma$$

Пусть монохроматическая волна, исходящая от точечного источника  $S$  сквозь отверстие  $\Sigma_0$  в непрозрачном экране  $\Sigma_1$ , создаёт световое возбуждение в точке наблюдения  $P$ . Проделем вокруг этой точки  $P$  замкнутую поверхность  $\Sigma = \Sigma_0 + \Sigma_1 + \Sigma_2$



Допустим, что линейные размеры д. отверстия  $\Sigma_0$  велики по сравнению с длиной волны света ( $d_0 \gg \lambda$ ). Тогда разумно принять граничные условия Кирхгофа (приближение Кирхгофа):

- в отсутствие экрана на  $\Sigma_0$  —  $A_{\Sigma_0} = \frac{A_0}{S_0} e^{-ikS_0}$ ,  $\left. \frac{\partial A}{\partial n} \right|_{\Sigma_0} = \frac{\partial A_{\Sigma_0}}{\partial n}$ ;
- в области расположения экрана на  $\Sigma_1$  —  $A_{\Sigma_1} = 0$ ,  $\left. \frac{\partial A}{\partial n} \right|_{\Sigma_1} = 0$ ;
- на поверхности  $\Sigma_2$  —  $A_{\Sigma_2} \rightarrow 0$ ,  $\left. \frac{\partial A}{\partial n} \right|_{\Sigma_2} \rightarrow 0$  при бесконечном удалении точек поверхности  $\Sigma_2$  от точки наблюдения P; это ведет к тому, что световое поле существуето в этой области пространства не всегда и имеет конечную скорость распространения.

$$A(P) = \iint_{\Sigma_0} A_{\Sigma_0} \frac{e^{-ikP}}{S} \cdot \frac{i}{2\pi} (\cos \theta_1 - \cos \theta) d\sigma \quad - \text{дифракционный интеграл Френеля - Кирхгофа.}$$

Здесь  $A_{\Sigma_0}$  — комплексная амплитуда поля реального точечного источника S (если учесть принцип суперпозиции, то и суммарности реальных точечных источников, для которых  $\cos \theta_i \sim \text{const}$ ) на поверхности  $\Sigma_0$  вторичных источников.

## 2. см. Билет 16 (н.2)

### Билет 19.

1. Дифракция света. Дифракция в дальней зоне как пространственное преобразование Фурье. Комплексная пространственная спектральная амплитуда. Расложение пучка по模式ам. Узкий спектр и его ширина.

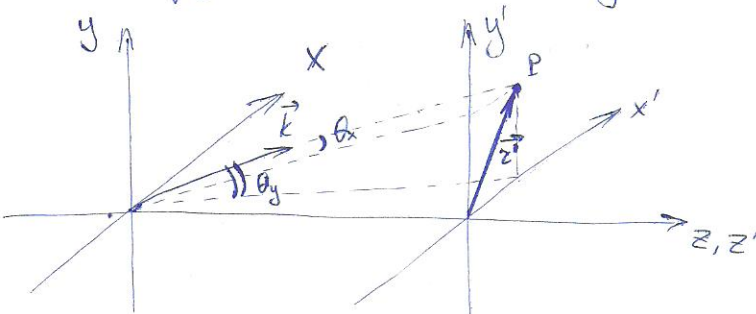
## Пространственное преобразование Фурье.

Комплексная амплитуда и интенсивность дифракционной картины в приближении Фраунгофера:  $A(P) = \frac{i}{\lambda} \frac{e^{-ikb}}{b} \int_{-\infty}^{+\infty} \int_{-\infty}^{+\infty} A_\Sigma(x, y) e^{i(k_x x + k_y y)} dx dy = \frac{i}{\lambda} \frac{e^{-ikb}}{b} A_\Sigma(ik_x, ik_y),$

 $I(P) = \frac{1}{2} |A(P)|^2 = \frac{1}{2\lambda^2 b^2} |A_\Sigma(ik_x, ik_y)|^2.$ 

Пространственные частоты —  $k_x = k \sin \theta_x = \frac{2\pi}{\lambda} \cdot \frac{x'}{b}$ ;  $k_y = k \sin \theta_y = \frac{2\pi}{\lambda} \cdot \frac{y'}{b}$ ;

Частотные координаты точки наблюдения  $P$ :  $\theta_x$  и  $\theta_y$ .



Комплексная пространственная спектральная амплитуда — процесс пространственное (пространство-частотное или частотное) преобразование Фурье комплексной амплитуды  $A_\Sigma(x, y)$  светового поля:

$$A_\Sigma(ik_x, ik_y) = \int_{-\infty}^{+\infty} \int_{-\infty}^{+\infty} A_\Sigma(x, y) e^{i(k_x x + k_y y)} dx dy.$$

Комплексную амплитуду светового поля  $A(x, y, z)$  в произвольной точке пространства можно выразить, аналогично для поля на светящейся поверхности  $A_\Sigma(x, y)$ :  $A(x, y, z) = \left(\frac{1}{2\pi}\right)^2 \int_{-\infty}^{+\infty} \int_{-\infty}^{+\infty} A(ik_x, ik_y, z) e^{-i(k_x x + k_y y)} dk_x dk_y.$

Равнодействующая уравнение Гельмгольца  $(\Delta + k^2)A(x, y, z) = 0$ :

$$(\Delta + k^2)(A(ik_x, ik_y, z) e^{-i(k_x x + k_y y)}) = 0$$

$$\frac{\partial^2 A(ik_x, ik_y, z)}{\partial z^2} + (k^2 - k_x^2 - k_y^2) A(ik_x, ik_y, z) = 0$$

$A(ik_x, ik_y, z) = A(ik_x, ik_y) e^{-i\sqrt{k^2 - k_x^2 - k_y^2} z} = A(ik_x, ik_y) e^{-ik_z z}$ . В результате:

$$A(x, y, z) = \left(\frac{1}{2\pi}\right)^2 \int_{-\infty}^{+\infty} \int_{-\infty}^{+\infty} A_\Sigma(ik_x, ik_y) e^{-i(k_x x + k_y y + k_z z)} dk_x dk_y = \left(\frac{1}{2\pi}\right)^2 \int_{-\infty}^{+\infty} \int_{-\infty}^{+\infty} A_\Sigma(ik_x, ik_y) e^{-ik \vec{R}} dk_x dk_y,$$

где  $\vec{R}$  — радиус-вектор произвольной точки пространства относительно точки  $O$  — центра светящейся поверхности.

Как видно, ограниченный в пр-ве угол можно представить в виде суперпозиции (сочетания) многих волн, распространяющихся в разных направлениях, задаваемых вектором  $\vec{k}$  (с независимыми непрерывными компонентами  $k_x$  и  $k_y$  вектора  $\vec{k}$ ).

Интенсивность дифракционной картины  $I(P)$  равна:

(64)

$I(P) = \frac{1}{2} |A(P)|^2 = \frac{1}{2\pi^2 b^2} |A_\Sigma(ik_x, ik_y)|^2$ . Здесь  $|A_\Sigma(ik_x, ik_y)|^2$  — пространственная спектральная мощность или участок спектра излучения (пучка), заданного комплексной амплитудой  $A_\Sigma(x, y)$  светового волна падающего на поверхности  $\Sigma$ .

Как и при частотно-временном Фурье-преобразовании, когда интегрирование частотного спектра  $A_\Sigma$  связана с длительностью импульса  $\Delta t \approx 2\pi$ , при пространственно-частотном Фурье-преобразовании ширина участка спектра  $\Delta k_x$  и  $\Delta k_y$  связана с полережимами линейным разширением пучка  $l_x$  и  $l_y$ :  $\Delta k_{x,y} \cdot l_{x,y} \approx 2\pi$

$$\Delta k_{x,y} = \frac{2\pi}{l_{x,y}}.$$

2. Излучение света. Классическая осцилляторная модель атома. Резонансная затухание. Естественная форма и инициация линии излучения.

Для излучения света атомом можно использовать классическое описание, если интерпретировать акт излучения фотона частоты  $\omega_0$  как кратковременный процесс излучения атомом, обладающим осцилляторным дипольным моментом:

$$p(t) = qx(t) = qx_0 \cos \omega_0 t \quad (\star)$$

В этой модели атома предполагается, что внешний (внешний) электрон с зарядом  $q$  колеблется близко ядра по гармоническому закону, и расстояние  $x$  от ядра и электрона изменяется с амплитудой  $x_0$  и частотой  $\omega_0$ .

При излучении атом будет терять энергию, и в конечном итоге излучение уединённого атома прекратится. Происходит это вследствие торможения электрона излучающим  $\gamma$ -излучением. Поэтому говорят о радиационном затухании осцилляции. Тогда модель осциллятора следует несколько уточнить, включив в  $(\star)$  затухание.

Рассчитаем характерное время затухания  $\tau$ , записав закон движения электрона в виде:  $x(t) = x_0 e^{-t/\tau} \cos \omega_0 t$ .

Большая механическая энергия  $W$  осциллятора массой  $m$  (масса электрона), равная сумме кинетической  $W_k$  и потенциальной  $W_p$  энергий, будет убывать по закону:

$$W(t) = W_k(t) + W_p(t) = \frac{m\omega_0^2 x_0^2}{2} e^{-2t/\tau}$$

Скорость изменения этой энергии во времени связана с изучаемой величиной мощностью законом сохранения энергии:  $\frac{dW}{dt} = -P$

$$P = \int \langle \dot{S} \rangle d\sigma = \frac{\langle \ddot{p}^2 \rangle}{6\pi E_0 c^3}$$

Тогда имеем:

$$\begin{aligned} -\frac{2}{\tau} \frac{m\omega_0^2 x_0^2}{2} e^{-2t/\tau} &= \\ &= -\frac{q^2 \omega_0^4 x_0^2}{6\pi E_0 c^3} e^{-2t/\tau}. \end{aligned}$$

Окончательно:

$$\boxed{\tau = \frac{6\pi m E_0 c^3}{q^2 \omega_0^2}}$$

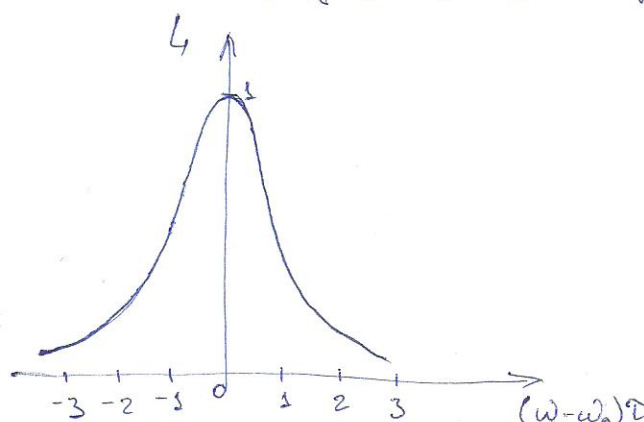
. Для видимого диапазона ( $\omega_0 \sim 10^{16} \text{ Гц}$ ):

$$\boxed{\tau \sim 10^{-8} \text{ с}}$$

Мы получили фундаментальный результат, состоящий в том, что любой уединённый атом после возбуждения излучает энергию в течение времени порядка  $10^{-8}$  с.

Естественные флуктуации частоты дают гармоническую форму спектральной линии. Спектральная интенсивность излучения неизодействующих атомов описывается гармоникой функцией, а спектральная линия их излучения имеет гармонический контур, ширина которого обратно пропорциональна времени радиационного затухания:  $\Delta\omega = 2/\tau$ . Ширина линии, связанные с радиационным затуханием, наз. естественной шириной.

$L(\omega) = \frac{1}{\tau^2 (\omega_0 - \omega)^2 + 1}$  - гармоника функция. График этой функции наз. гармоническим контуром.



Блок 20.

1. Тёмовое излучение. Излучательная и поглощательная способности вещества и их соотношение. Модель абсолютно чёрного тела. Формула Рэлея-Джинса. Ограничность классической теории излучения. Формула Планка. Закон Стефана-Больцмана и закон смещения Вина.

Тёмовое излучение — свет, излучаемый напротив темом.

Поглощательная способность тела  $\alpha$  — физ. величина, равная отношению энергии света, поглощённого телом  $W_{\text{пог}}$ , к энергии падающего на тело света  $W_{\text{наг}}$ :

$$\alpha = \frac{W_{\text{пог}}}{W_{\text{наг}}}.$$

«Абсолютно чёрное тело» — тело, полностью поглощающее свет ( $\alpha=1$ ).

Оно показывает, что  $\alpha=\alpha(\omega, T)$ . При этом для каждого тела эта функция своя.

Понятно, что мощность излучения  $dP_{\text{изл}}$  физически бесконечно малого элемента поверхности в начале интервала частот от  $\omega$  до  $\omega+d\omega$  пропорциональна площади  $dS$  этого элемента и ширине интервала  $d\omega$ :  $dP_{\text{изл}} = E d\omega dS$ , где коф-т пропорциональности  $E$  — излучательная способность тела, равная энергии излучения света элементом поверхности единичной площади в единицу времени, в единичном интервале частот (спектральной интенсивности). Оно показывает, что  $E = E(\omega, T)$ .

Закон Кирхгофа:

В состоянии теплового равновесия отношение излучательной способности к поглощательной способности тела не зависит от природы тела и является универсальной (одинаковой для всех тел) физич. частоты и температуры тела, называемой излучательной способностью абсолютно чёрного тела:

$$\frac{E(\omega, T)}{\alpha(\omega, T)} = j(\omega, T) - \text{inv.}$$

Спектральная мощность равновесного излучения  $u(\omega, T)$  — (67) обобщенная мощность энергии равновесного излучения, приходящегося на единицу длины частотного интервала:

$$u(\omega, T) = \frac{1}{V} \frac{dW}{d\omega}$$

$$u(\omega, T) = \frac{\omega^2}{\pi^2 c^3} kT$$

— формула Рэлея-Джинса.

Главный недостаток формулы Рэлея-Джинса состоит в предсказывавшем его неограниченном росте спектральной мощности излучения в области высоких частот. Кроме того, из этой формулы следует, что полная энергия теплового излучения равна:  $\int u(\omega, T) d\omega = \infty$ .

Поскольку эти обстоятельства связаны с коротковолновой частью спектра, то за них закрепилось название ультрафиолетовой катастрофы или парадокса Рэлея-Джинса.

$$u(\omega, T) = \frac{\hbar\omega^3}{\pi^2 c^3} \cdot \frac{1}{e^{\hbar\omega/kT} - 1}$$

— формула Planck.

З-и Стефана-Больцмана:

Обобщенная мощность излучения теплового излучения во всем диапазоне частот возрастает пропорционально ~~квадрату~~ кубической степени абсолютной температуры тела:  $u(T) = \sigma T^4$ , где  $\sigma = \frac{\pi^2 k^4}{15 c^3 h^3}$

З-и спеклени Вина:

Длина волны  $\lambda_{max}$ , на которую приходится максимум спектральной мощности теплового излучения, уменьшается обратно пропорционально абсолютной температуре тела:

$$\lambda_{max} = \frac{const}{T}$$

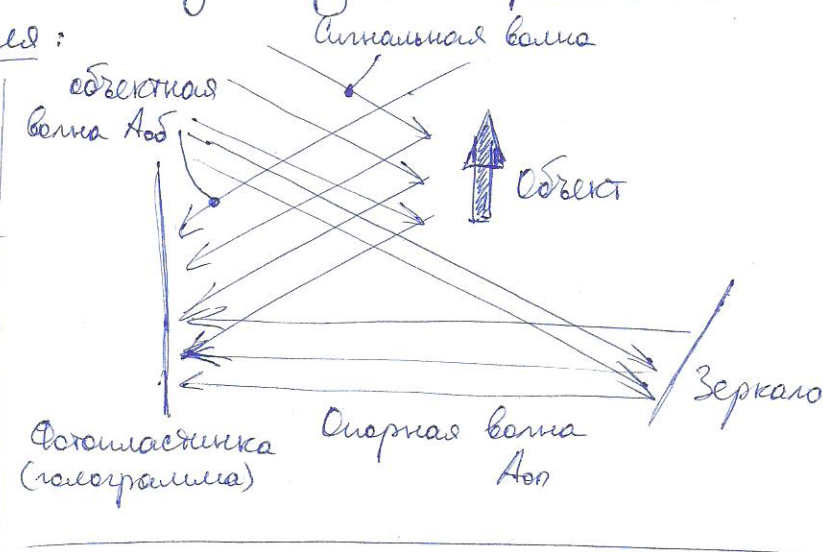
2. Запись и восстановление светового поля. Голография. Схемы голографической записи и восстановления. Двух- и трёхмерные голографии.

Основная идея голографии — фотографируется не сама объектная волна  $A_{ob}$ , исходящая от светящегося объекта, а картина интерференции этого поля с когерентной опорной волной  $A_{op}$ . Картина интерференции объектной и опорной волн, записанная на фотомасстинку, наз. голографией.

Схема записи светового поля:

амплитуда светового поля в плоскости фотомасстинки есть  $A = A_{ob} + A_{op}$ , а распределение интенсивности:

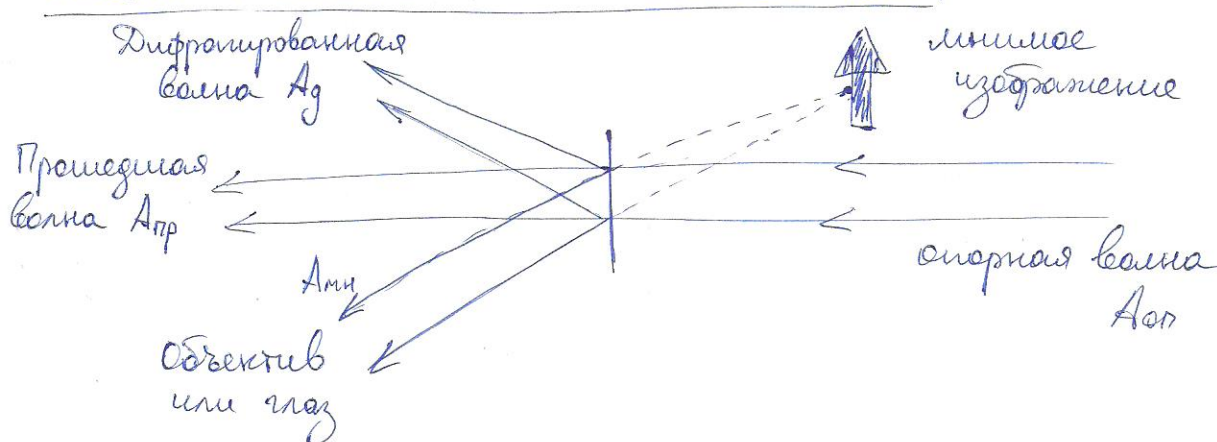
$$I(x,y) = \frac{1}{2} |A(x,y)|^2 = \frac{1}{2} |A_{op} + A_{ob}|^2 = I_{op} + I_{ob} + \frac{1}{2} A_{op} A_{ob}^* + \frac{1}{2} A_{op}^* A_{ob}.$$



Это распределение интенсивности фиксируется на фотомасстинке. Важно, что в этом выражении есть слагаемые, содержащие информацию о фазе объектной волны.

Для восстановления светового поля голографию освещают опорной волной  $A_{op}$ . В результате дифракции опорной волны на голографии возникает несколько световых волн, одна из которых в точности повторяет поле предметной волны.

Схема восстановления светового поля:



В зависимости от геометрической конфигурации световывесительной среды, в которой зарегистрирована интерференционная картина, различают двумерные и трёхмерные голографии.

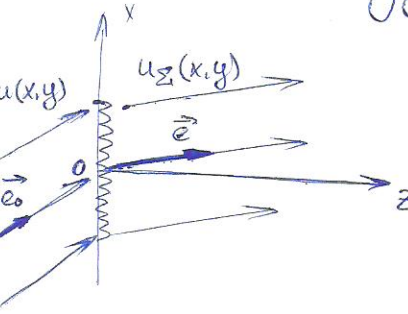
Двухмерная голография относится к тому случаю, когда <sup>(69)</sup> тиньшина фотоматериала и много меньшие пространственного периода  $\Lambda$  регистрирующей интерференционной картины от суперпозиции объектной  $A_{OB}$  и спектральной  $A_{Sp}$  волн. Отображающие св-ва двухмерной голографии ограничены. В частности, она неоднозначно восстанавливает волновое поле излучения объекта: кроме истинной объектной волны  $A_{OB}$  и соответствующего ей истинного изображения объекта в этом случае восстанавливается так называемое сопряжённое дифрактированное поле  $A_d$  и соответствующее ей сопряжённое изображение. Источник  $S_d$ , с помощью которого восстанавливается двухмерная голография, должен быть строго монохроматичным, поскольку двухмерная голография восстанавливает все соответствующие различия  $\Lambda$  изображения, и, как следствие этого, результирующее изображение будет сильно размыто, поскольку излучающая волна не будет обладать достаточной степенью временной когерентности.

Трёхмерная голография, у которой тиньшина и много большие  $\Lambda$ , представляет собой наиболее общий случай голографической записи. Она однозначно восстанавливает волновое поле объекта — сопряжённое поле  $A_d$  и соответствующее ему сопряжённое изображение отсутствуют. Особенностью трёхмерной голографии является также способность воспроизводить не только фазу и амплитуду записанного на ней излучения, но и его спектральный состав. Оказывается, что если такую голографию восстановить итогом излучения со сплошным спектром (например, лампой накаливания), то она сама выберет из сплошного спектра те составляющие, которые участвовали в её записи. Св-во спектральной селективности трёхмерной голографии обусловлено интерференцией волн, ограниченных трёхмерной последовательностью пучностей зарегистрированных на голографии стадий волны. Эти волны складываются синфазно и взаимно усиливаясь друг друга только для одной монохроматической составляющей, которой экспонировались голография при её записи. Т.к. любая светочувствительная среда имеет конечную тиньшину, то все голографии фактически трёхмерны. Трёхмерность голографической записи особенно выражается в том случае, когда запись волны регистрируемого на голографии излучения падающего на тиньшины светочувствительного материала.

## Билет 25.

1. Дифракция на одномерных периодических структурах.  
 Физ. (комплексный коэффициент) проникновения (отражения).  
 Фактор многоволновой интерференции. Интерферционная ф-ция  
 Лауэ. Числовая широта главных максимумов. Амплитудные  
 и фазовые решётки.

Дифракционной решёткой является любое устройство, обес-  
 печивающее периодическую модуляцию вдоль одного направ-  
 ления амплитуды и фазы падающей волны.



При падении на решётку плоской волны  
 возмущение на её поверхности:  
 $u(x,y) = U_0 e^{-ik_0 x - ike_{0x}y}$ .

Модулирующие св-ва решётки задаются  
 комплексной функцией проникновения (отражения):

$$t(x) = \frac{U_\Sigma(x,y)}{U(x,y)} = |t(x)| e^{-i\Phi(x)}$$

, где  $U_\Sigma(x,y)$  - возму-  
 щение, проходящее  
 через решётку.

Эта функция периодична:  $t(x) = t(x+d)$ .  
 Величина  $d$  наз. периом решётки.

По характеру модуляции решётки подразделяются на амп-  
 литудные и фазовые. Для амплитудных решёток  $\Phi(x) = 0$ , где

Пусть исследуемый объект представляет собой идеальный кри-  
 сталлический образец, характеризующий кристаллической решёт-  
 кой, узлы которой описываются трансцендентными вектора-  
 ми вида:  $\vec{T} = u\vec{a} + v\vec{b} + w\vec{c}$ , где  $\vec{a}, \vec{b}, \vec{c}$  - базисные векторы;  
 $u, v, w$  - произвольные целые числа. Для упрощение расчётов об-  
 личаемый образец кристалла рассматривается в форме парал-  
 лелепипеда. Числовые ряды, направленные вдоль базисных век-  
 торов  $\vec{a}, \vec{b}, \vec{c}$  содержат  $N_1, N_2, N_3$  узлов соответственно. След-ко,  
 рассматриваемый кристаллический образец содержит  $N =$   
 $= N_1 N_2 N_3$  узлов.

$$L = \frac{\sin^2(N_1 \Psi_1)}{\sin^2 \Psi_1} \cdot \frac{\sin^2(N_2 \Psi_2)}{\sin^2 \Psi_2} \cdot \frac{\sin^2(N_3 \Psi_3)}{\sin^2 \Psi_3} - \text{интерференционные фуны Лаур.}$$
71

Здесь  $\Psi_1 = \frac{\hbar}{\lambda} (\vec{A} \vec{s} \vec{a})$ ;  $\Psi_2 = \frac{\hbar}{\lambda} (\vec{A} \vec{s} \vec{b})$ ;  $\Psi_3 = \frac{\hbar}{\lambda} (\vec{A} \vec{s} \vec{c})$ .

$$S_{\Psi_m} = \frac{1}{\sqrt{1 - \frac{m^2 \lambda^2}{d^2}}} \cdot \frac{2I}{Nd} - \text{умова ширини плавних максимумов.}$$

2. Изучение света атомами и молекулами. Квантовые свойства света. Фотоэлектрический эффект. Эффект Комптона. Квантовые свойства атомов, поступатель Бора.

см. Билет 17 (н. 2)

Фотоэффект — явление испускания электронов веществом под действием света — фотоэлектронная эмиссия.

З-чи фотоэффекта:

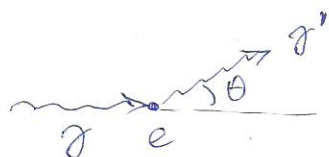
- Существует фотоконстанта излучения, сила которого пропорциональна интенсивности падающего света  $I$ .
- Максимальная кинетическая энергия фотоэлектронов  $W_{max} = eV_{zap}$  не зависит от интенсивности  $I$  падающего света, а линейно зависит от частоты  $\nu$  падающего света.
- Существует минимальная частота падающего света  $\nu_{min}$  — красная граница фотоэффекта ( $h\nu_{min} = A_{без}$ ), при которой еще наблюдается фотоэффект.

Для обяснения з-чи фотоэффекта пришлось предположить, что свет обладает корпускулярными свойствами (гипотеза Эйнштейна).

$$h\nu = A_{без} + W_{max} - \text{Ф-ла Эйнштейна для фотоэффекта.}$$

Эффект Комптона — явление увеличения длины  $\lambda$  волны (рентгеновских лучей) при её рассеянии на свободном электроне (из-за скошения электроне лёгких атомов).

$$\Delta \lambda = \lambda' - \lambda = \lambda_k (1 - \cos \theta), \text{ где } \lambda_k = \frac{h}{m_e c} - 72$$



квантов. длина волны электрона.

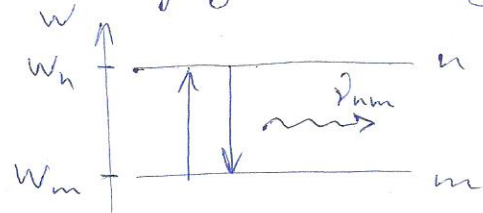
Изменение длины волны  $\Delta \lambda$  не зависит от длины волны  $\lambda$  рассеиваемой волны и от материала рассеивающего тела, но зависит от направления рассеяния (как в эксперименте).

Гипотеза Макса Толяка о квантовании энергии ацилатора + модель атома Резерфорда  $\Rightarrow$  Теория Сидородобского атома Бора.

Постулата Бора:

- 1) Существуют стационарные состояния атомов, в которых они не излучают и не поглощают свет. В этих состояниях атомы обладают энергиями  $W_n$ , образующими дискретный ряд значений — уровни энергии.
- 2) Излучающие или поглощающие атомы световые волны при переходе с уровня энергии  $W_n$  на уровень  $W_m$ , монохроматичные с частотой  $\nu_{nm}$  ( $\omega_{nm}$ ) определяемой условием:

$$h\nu_{nm} = h\omega_{nm} = W_n - W_m.$$



## Библет 22.

1. Дифракция на многомерных периодических структурах. Прямоугольные дифракционные решётки. Трёхмерная структура. Уравнения Лаур. Условие Брэга-Вульфа. Понятие о рентгеноструктурном анализе.

еси. Библет 23 (n. 5)

Уравнения Лаур — полная система уравнений для учета  $\alpha_x, \alpha_y, \alpha_z$ , определяющих направления на главные максимумы дифракционной картины при дифракции ионской волны в кристалле, учет  $\alpha$  направлением на точку наблюдения и оси координат.

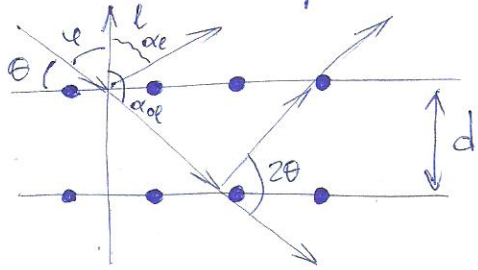
$$\left\{ \begin{array}{l} \cos \alpha_x - \cos \alpha_{ox} = m_x \frac{\lambda}{d_x}, \\ \cos \alpha_y - \cos \alpha_{oy} = m_y \frac{\lambda}{d_y}, \\ \cos \alpha_z - \cos \alpha_{oz} = m_z \frac{\lambda}{d_z}; \end{array} \right.$$

где  $\alpha_{ox}, \alpha_{oy}, \alpha_{oz}$  — углы <sup>73</sup> измерения наименее погрешной плоскостью и оси координат. При этом в соответствии с т. Пифагора:

$$\cos^2 \alpha_x + \cos^2 \alpha_y + \cos^2 \alpha_z = 1,$$

$$\cos^2 \alpha_{ox} + \cos^2 \alpha_{oy} + \cos^2 \alpha_{oz} = 1.$$

Для получения дифракционных картин используют либо рентгеновское излучение с широким частотным спектром, либо брачивают кристалл относительно монокроматического луча рентгеновского излучения с помощью сплошного гомоизотропного устройства, меняя углы  $\alpha_{ox}, \alpha_{oy}, \alpha_{oz}$ , либо используют поликристаллический образец с сильно разориентированными кристалликами.



Условие интерференционного условия для, идущих от совокупности параллельных атомных плоскостей:

$$\cos \alpha_0 - \cos \alpha_{0f} = m \frac{\lambda}{d}.$$

Поскольку  $\alpha_0 = \varphi$  и  $\alpha_{0f} = \pi - \varphi$ , то условие дифракции будет условие Брэга-Брэйса:  $2d \cos \varphi = m \lambda$  или  $2d \sin \theta = m \lambda$ , где

$d$  — расстояние между плоскостями,  $\varphi$  — угол падения,  $\theta$  — угол склонения,  $2\theta$  — угол дифракции,  $m \in \mathbb{Z}$ .

Рентгеноструктурный анализ — один из методов исследования структуры вещества. В основе данного метода лежит явление дифракции рентгеновских лучей на трёхмерной кристаллической решётке. Метод позволяет определить атомную структуру вещества, выявляющую в себе пространственную группу элементарной ячейки, её размеры и форму, а также определять группу симметрии кристалла.

2. Резонансное усиление света. Математическое изложение  
помощи и усиления среды. Инерсия заселённости энергетических уровней. Воздействие светового потока на заселённость уровней. Изменение инверсии заселённости в помощь трёхуровневой системы. Зависимость коэффициента усиления от частоты.

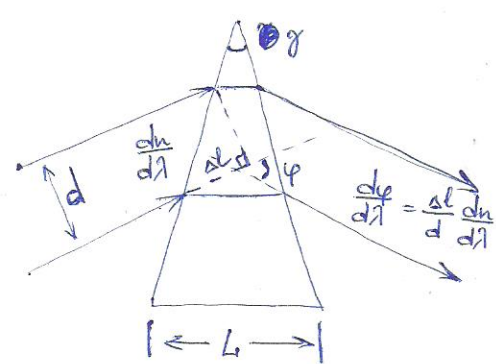
см. Билет 3 (н. 2)

Билет 23.

1. Спектральный анализ с пространственным разложением спектра. Спектральные приборы и их характеристики. Прязка. Дифракционная решётка.

см. Билет 15 (н. 1)

Прязка:



$$\text{Аппаратная функция: } I(\theta) = I_0 \frac{d^2}{\lambda^2} \operatorname{sinc}^2 \left( \frac{k \sin(\theta - \varphi)}{2} \right)$$

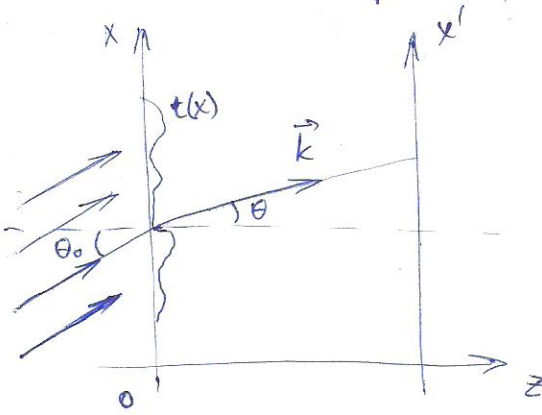
$$\text{Чел. максимума: } \frac{k \sin(\theta - \varphi)}{2} d = 0 \Rightarrow \theta = \varphi \quad \text{и} \quad \frac{d\theta}{d\lambda} = \frac{d\varphi}{d\lambda}$$

$$\text{Чел. минимума: } \frac{k \sin(\theta - \varphi)}{2} d = \pi \Rightarrow \theta \approx \varphi + \frac{\pi}{d}$$

$$\text{Чел. дисперсия: } D_\theta = \frac{d\theta}{d\lambda} = \frac{d\varphi}{d\lambda} = \frac{\Delta\ell}{d} \frac{dn}{d\lambda}$$

$$\text{Разрешающая способность: } R = \frac{\lambda}{\Delta\lambda} = \Delta\ell \left| \frac{dn}{d\lambda} \right| ; R_{\max} = L \left| \frac{dn}{d\lambda} \right|.$$

Дифракционная решётка:



$$\text{Аппаратная функция: } I(\theta) = I_0(\theta) \frac{\sin^2 N \delta}{\sin^2 \delta}, \text{ где}$$

$$\delta = k \frac{\sin\theta - \sin\theta_0}{2} d = k \frac{\Delta(\theta)}{2}$$

$$\text{Чел. чётных максимумов: } \Delta = d(\sin\theta - \sin\theta_0) = m\lambda$$

$$\text{Чел. нечётных минимумов: } \Delta = d(\sin\theta - \sin\theta_0) = (m + \frac{1}{N})\lambda$$

$$\text{Порядок дифракции: } m = \frac{\Delta}{\lambda} = \frac{d(\sin\theta - \sin\theta_0)}{\lambda}$$

$$\text{Ум. дисперсия: } D_\theta = \frac{d\theta}{d\lambda} = \frac{m}{d \cos \theta}.$$

Разрешающая способность:  $R = \frac{\lambda}{\delta\lambda} = mN$ ,  $R_{\max} = Nm_{\max} = N \frac{d}{\ell} = \frac{L}{\ell}$

2. Кавернозная анизотропия оптических свойств. Фотоупругость, Эффекты Покельса и Керра. Явление Котто-Мутона, эффект Зеемана и Фарадея.

Механо- (электро-, магнито-) оптические эффекты — изменение оптических характеристик среды под влиянием механическим (электрическим, магнитным) воздействием.

Фотоупругость — двойное изгижение в кристаллах при их одностороннем сжатии и растяжении.

$$n_e - n_o = \Delta n(\omega) = \gamma(\omega) \frac{F}{S}; \quad \Delta \varphi = \frac{2\pi}{\lambda_0} (n_e - n_o) l$$

Электрооптический эффект Покельса — двойное изгижение в кристаллах при воздействии электрического поля.

$$\Delta n = n_e - n_o = \gamma E$$

Квадратичный эффект Керра — двойное изгижение в однородных диэлектриках и других центрально-симметричных средах под действием сильного постоянного электрического поля напряженностью  $E$ .

$$\Delta n = n_e - n_o = \gamma E^2$$

Явление Котто-Мутона — квадратичный магнитооптический эффект в поперечном магнитном поле.

$$\Delta n = n_e - n_o = \gamma B^2.$$

Эффект Зеемана — расщепление спектральных линий испускания и поглощения в продольном и поперечном магнитных полях.

Эффект Фарадея — явление браузения интенситета поляризации в продольном магнитном поле из-за изменения показателей преломления среды при чиральности право- и левовинтовидизованного света (чиральный двуизгижение).

## Блок 24.

1. Изучение света. Классическая осциллографная модель атома. Оценка времени затухания. Естественная форма и ширинка линии изучения.

ан. Блок 19 (н. 2)

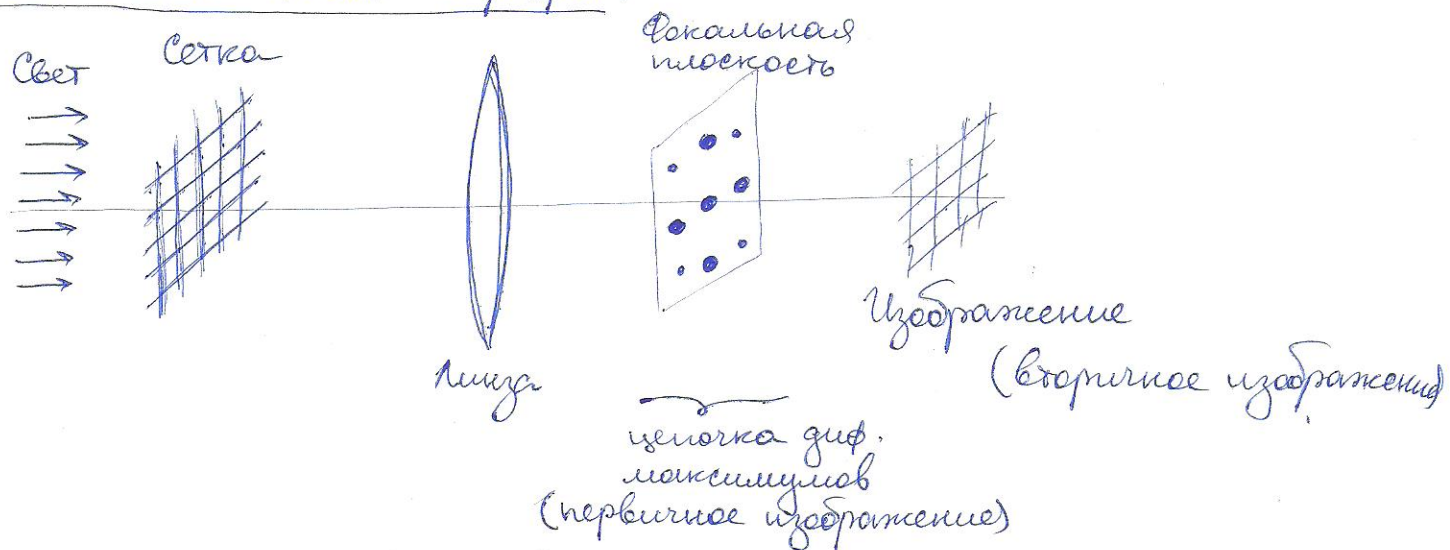
2. Основы дифракционной теории формирования изображения Аббе. Пространственная фильтрация изображения. Спектр Аббе-Портера. Специальные методы наблюдения фазовых объектов. Метод гоммого поля. Метод фазового контраста.

I этап: линза в своей фокальной плоскости осуществляет пространственную Фурье-анализ светового поля светодиодного объекта.

II этап: в процессе свободной дифракции осуществляется пространственный Фурье-синтез изображения.

Пространственная фильтрация изображения — изучение изображения объекта посредством медицинской пространственных спектральных компонент светового поля объекта.

Схема опыта Аббе-Портера:



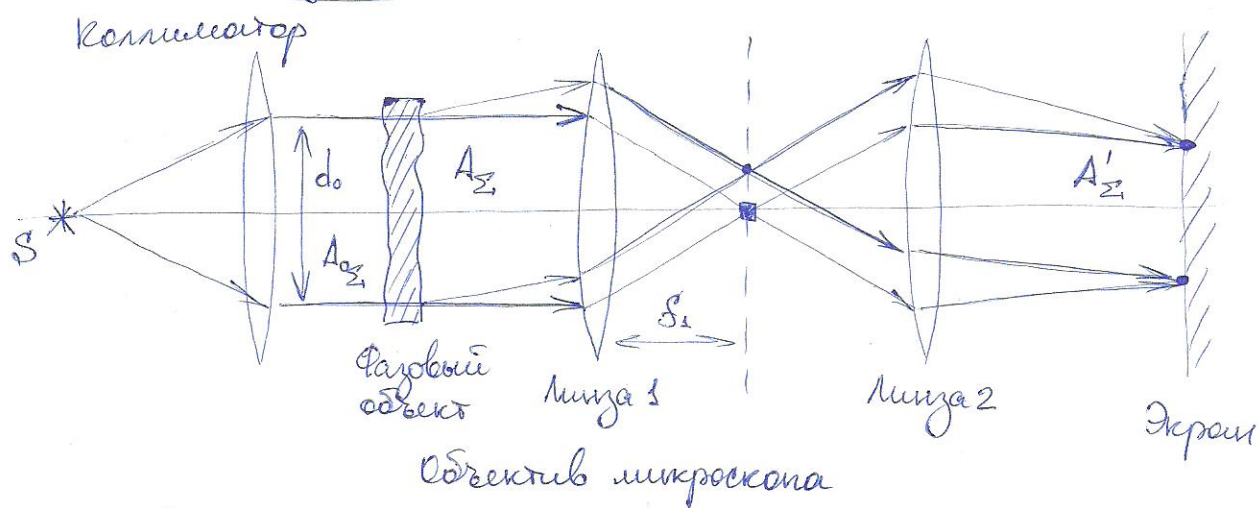
Рассмотрим фазовые объекты, которые практически не поглощают свет  $|t(x,y)| \approx 1$  и слабо меняют его фазу  $|\Phi(x,y)| \ll 1$ :

$$t(x,y) = |t(x,y)| e^{-i\Phi(x,y)} \approx 1 - i\Phi(x,y)$$

$$A_{\Sigma}(x,y) \approx A_{o\Sigma}(x,y)(1-i\Phi(x,y)) = A_{o\Sigma}(x,y) - iA_{o\Sigma}(x,y)\Phi(x,y),$$

$$I_{\Sigma}(x,y) = \frac{1}{2}|A_{\Sigma}|^2 = I_{o\Sigma}(x,y)|t(x,y)|^2 \approx I_{o\Sigma}(x,y)(1+\Phi^2(x,y)) \approx I_{o\Sigma}(x,y). (\star)$$

Схема наблюдения объекта в микроскопе:



Метод тёмного поля.

В заднем фокусе объектива микроскопа — неупорядоченный диск, закрывающий круглый зрачок Фурье:

$$A'_{\Sigma}(x,y) \approx A_{o\Sigma}(x,y) - iA_{o\Sigma}(x,y)\Phi(x,y) - A_{o\Sigma}(x,y) \approx -iA_{o\Sigma}(x,y)\Phi(x,y)$$

$$I'_{\Sigma}(x,y) \approx I_{o\Sigma}(x,y)\Phi^2(x,y)$$

Изменение интенсивности будут такие же мельчайшие, как и в ( $\star$ ), однако более заметные, поскольку средняя освещённость отсутствует (отсюда и название метода).

Метод фазового контраста.

Фазовый рефлектор преобразуется в амплитудный рефлектор с помехами фазовой пластиникой, перекрывающей круглый зрачок Фурье. Пластиника толщиной  $d = (2m+1) \frac{\lambda_0}{4(n-1)}$  осуществляет изменение фазы  $\Delta\varphi$ :

$$\Delta\varphi = k(n-1)d = \frac{2\pi}{\lambda_0}(n-1)d = (2m+1) \frac{\pi}{2}$$

$$e^{-i\Delta\varphi} = e^{-i(2m+1) \frac{\pi}{2}} = -i(-1)^m;$$

$$A'_{\Sigma}(x,y) \approx -i(-1)^m A_{o\Sigma}(x,y) - iA_{o\Sigma}(x,y)\Phi(x,y),$$

$$I'_{\Sigma}(x,y) \approx I_{o\Sigma}(x,y)(1+2(-1)^m\Phi(x,y)).$$

При  $m=2l+1$  — тёмный, а при  $m=2l$  — светлый фазовый контраст.

## Бимет 28.

1. Изучение ансамбля статистически независимых атомов. Ударное и динеровское уширение спектральной линии. Понятие об однородном и неоднородном уширении.

Если атомы излучают независимо друг от друга, что типично для ненадежных источников, то квадратура является суммой большого числа статистически независимых случайных величин. В соответствии с центральной предельной теоремой при  $N \rightarrow \infty$  распределение плотности вероятности суммы независимых случайных величин, имеющих производственную статистику, стремится к нормальному (гауссову) распределению.

$$w(A) = \frac{1}{\sigma^2} \exp\left(-\frac{A^2}{2\sigma^2}\right)$$

- распределение Рэлея случайной величины  $A$  для ансамбля независимых атомов.

Столкновение атомов приводит к изменению времени жизни возбуждённого состояния. Изменение времени жизни влечёт увеличение ширины спектральной линии излучения как отдельного атома, так и всего ансамбля. Такое уширение наз. ударным. Оно относится к однородному уширению, поскольку в одинаковой степени уширяются контуры спектральных линий излучения каждого атома.

Поскольку атомы находятся в тепловом движении, то на биодатчике видение эффекта Доплера будет регистрировать атомы с различными частотами. Динеровское уширение относится к неоднородному уширению, поскольку разные атомы вносят вклад в суммарное излучение с различными частотами.

2. Запись и восстановление светового поля. Голография. Схемы голографической записи и восстановления. Двух- и трёхмерные гологramмы.

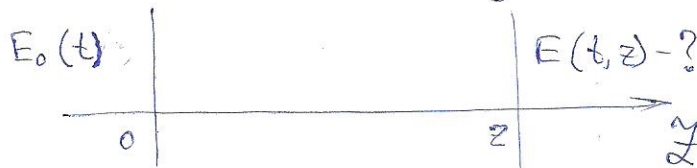
ан. Бимет 20 (н.2)

## Билет 26.

1. Темповое изучение. Изучательная и помощительная способности вещества и их соотношение. Модель абсолютно чёрного тела. Формула Рэлея-Джинса. Ограничность классической теории изучения. Формула Планка. Закон Стефана-Больцмана и закон смещения Вина.

см. Билет 20 (н. 1)

2. Распространение светового импульса в диспергирующей среде. Фурье-анализ, спектральное преобразование и Фурье-синтез светового пакета. Разовая и групповая скорости. Формула Рэлея. Дисперсионное расщепление световых пакетов. Дисперсионная длина светового импульса.



Три этапа решения:

1) Фурье-анализ входного импульса:

$$E_0(t) = \frac{1}{2\pi} \int_{-\infty}^{+\infty} E_0(i\omega) e^{i\omega t} d\omega, \text{ где } E_0(i\omega) = \int_{-\infty}^{+\infty} E_0(t') e^{-i\omega t'} dt'$$

2) Преобразование спектральных компонент входного импульса диспергирующей средой:  $E(i\omega, z) = E_0(i\omega) e^{-ik(\omega)z}$

3) Фурье-синтез импульса на выходе:

$$E(t, z) = \frac{1}{2\pi} \int_{-\infty}^{+\infty} E(i\omega, z) e^{i\omega t} d\omega = \frac{1}{2\pi} \int_{-\infty}^{+\infty} \int_{-\infty}^{+\infty} E_0(t') e^{-ik(\omega)z} e^{i\omega(t-t')} d\omega dt'$$

Разовая скорость — скорость перемещения точки, обладающей последней фазой колебательного движения, в пространстве вдоль заданного направления.

Групповая скорость — это величина, характеризующая скорость распространения "группы волн" (светового пакета), т.е. более или менее хорошо локализованной квазимonoхроматической волны (волны с достаточно узким спектром).

$$I = I_0 \frac{\omega^4}{(4\pi c^2 z)^2} 4(n-1)^2 \frac{V}{N} \sin^2 \theta$$

- формула Рэлея для рассеяния света в разреженных газах.

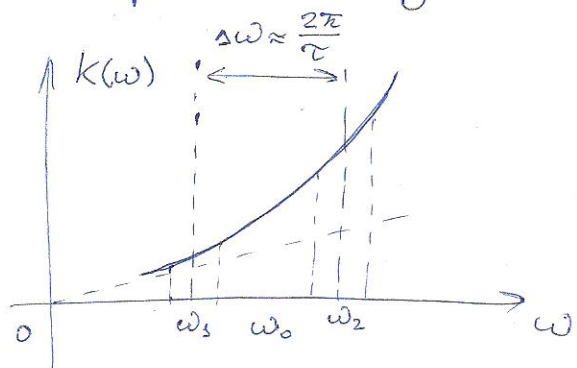
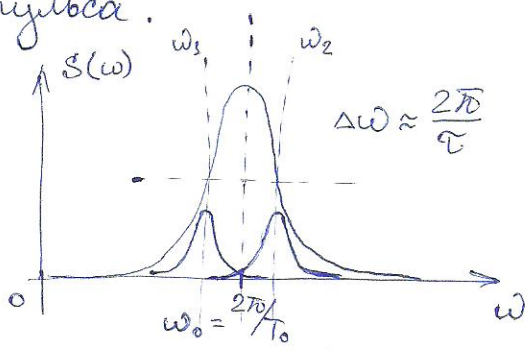
Здесь  $n$  - показатель преломления среды,  $N$  - число молекул в единице  $V$ ,  $\theta$  - угол рассеяния.

В линейных прозрачных средах с дисперсией второго или более высоких порядков групповая скорость  $u(\omega)$  зависит от частоты света, имеет место дисперсия групповых скоростей:

$$k(\omega) = k_0 + k'_0(\omega - \omega_0) + \frac{1}{2} k''_0 (\omega - \omega_0)^2 + \dots$$

$$u(\omega) = \frac{d\omega}{dk} = \frac{1}{dk/d\omega} = \frac{1}{k'_0 + k''_0(\omega - \omega_0) + \dots}$$

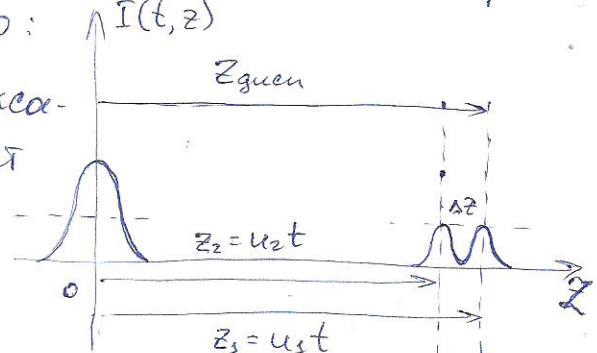
Установим на графике зависимость интенсивности  $I(\omega)$  от частоты  $\omega$ . На краях частотного интервала имеем две пачки с частотами  $\omega_1$  и  $\omega_2$ .



Эти пакеты вначале находятся вместе в начале координат, а затем распространяются в пространстве с различными групповыми скоростями  $u_1$  и  $u_2$ . За время  $t$  эти пакеты пройдут расстояние  $z_1$  и  $z_2$  соответственно:

В точке с координатой  $z_1$  после фиксации первого пакета второй пакет будет зафиксирован в  $z_2$  время:

$$\Delta t = \frac{\Delta z}{u_2} = \frac{u_2 - u_1}{u_2} t = \frac{u_2 - u_1}{u_1 u_2} z_1$$



Из-за этой задержки между пакетами начнет увеличиваться длительность импульса примерно на ту же величину. Введем расстояние  $z_{\text{зад}}$  такое, чтобы задержка между пакетами  $\Delta t$  равнялась длительности импульса  $\tau$  в начале процесса, и назовем ее дисперсионной длиной импульса в данной среде.

Дисперсионная длина светового шнурка в среде — расстояние 81  
вдоль направления распространения светового шнурка в прозрачной диспергирующей среде, на котором его длина уменьшается вдвое.

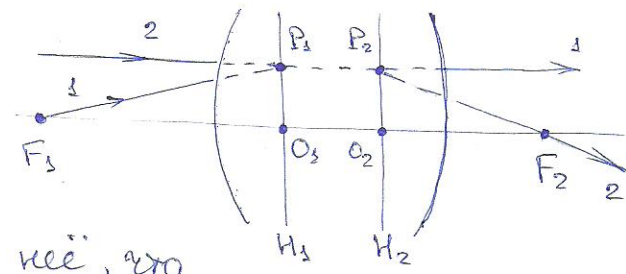
### Тема 27.

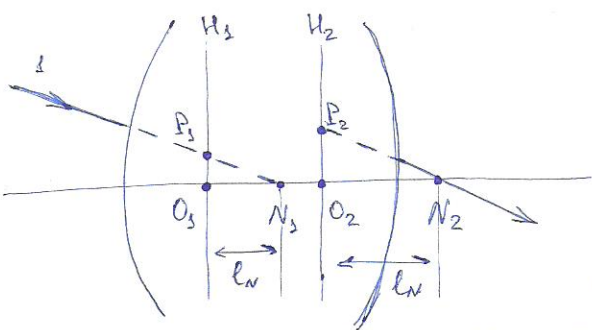
1. Геометрическая оптика. Кардиальные элементы оптической системы — узловые точки, главные и фокальные плоскости. Построение изображений с помощью кардиальных элементов.

Установим св-ва сопряжённых плоскостей, в которых находится предмет (объект) и его изображение. Первой фокальной плоскостью называется плоскость, сопряжённая с бесконечно удалённой в положительном направлении плоскостью. Соответственно вторая фокальная плоскость сопряжена с бесконечно удалённой в отрицательном направлении плоскостью. Свет, идущий от бесконечно удалённого предмета (параллельный пучок), фокусируется в одной из фокальных плоскостей. Если на волокне получается расходящийся пучок, то продолжения лучей пересекаются в одной из этих плоскостей.

Среди бесконечного числа пар сопряжённых плоскостей особое место занимают две главные плоскости, для находящихся которых  $\neq$  ход лучей  $\frac{1}{z}$  систему:

Луч 1, идущий из первого фокуса  $F_1$ , выходит параллельно главной оптической оси. Луч 2, идущий параллельно главной оптической оси на том же удалении от неё, что и воледящий луч 1, проходит  $\frac{1}{z}$  второй фокус  $F_2$ . Если  $\frac{1}{z}$  точки  $P_1$  и  $P_2$ , находящиеся на пересечении продолжения лучей, провести две плоскости  $H_1$  и  $H_2$ , перпендикулярные оптической оси, то они и будут главными плоскостями. Точки  $O_1$  и  $O_2$  наз. главными точками.





У такой системы на оптической оси (82) существуют две узловые точки. Если наблюдущий поклоняется к оси луг направлена на одну узловую точку, то выходящий луг будет параллелен наблюдущему и направлен на вторую узловую точку. На рисунке луг 1 проходит ч узловые точки  $N_1$  и  $N_2$ . Узловые точки находятся на одинаковом расстоянии  $\ell_1$  от соответствующих главных плоскостей, т.к.  $O_1P_1 = O_2P_2$ , а выходящий луг параллелен наблюдущему.

2. Основные схемы двухволновой интерференции. Метод генерации волнистого фронта и метод деления амплитуды. Характерные особенности методов. Примечания реализации методов. Интерференция при естественных условиях в тонких пленках.  
см. Таблица 18 (н. 1)

### Таблица 28.

1. Световые пучки и шуплерсы. Модели реальных световых волн. Квазимодельная гармоническая волна. Квазигармоническая волна. Сургаково модулированные волны. Энергетика световых пучков и шуплерсов.

~~В оптическом диапазоне могут формироваться направленные пучки света, которые распространяются преимущественно вдоль одной координатной оси. В поперечном же направлении амплитуда падает от середины пучка к его периферии.~~

Реальные световые волны модулированы (т.е. изменяются) по координатам и времени. Модуляция в пространстве означает изменение волны в пр-ве с характерными размерами модуляции  $d$  ( $d \gg \lambda$ ). В случае изменения по времени волна изменяется с характерными временем модуляции  $\tau$  ( $\tau \gg T$ ).

Световой пучок — световая волна, модулированная в пр-ве.

Световой шуплерс — световая волна, модулированная во времени.

Квазимоющая волна — волна, описываемая сверхом пучок. (83)

Ур-ние квазимоющей волны:  $f(t, z) = a(x, y) \cos(\omega t - kz + \varphi_0)$ . Отличие от моекой волны состоит в том, что  $a = a(x, y)$  — волна излучирована.

Квазиармоническая волна —  $f(t, z) = a(t, x, y) \cos(\omega t - kz + \varphi_0(t))$ .

Будет имеется источник света размечки  $D$ , состоящий из большого числа  $N$  элементарных источников, линейные размеры которых равны  $d$ . Типичные элементарные источники могут быть атомы.  $N \sim 10^{19} \div 10^{22}$ ,  $d \sim 10^{-10} \div 10^{-9}$  м.

Очевидно,  $z_i \gg \frac{d_i^2}{4\lambda} \Rightarrow$  волну от каждого источника можно считать сферической.

$$f(t, x, y, z) = \sum_i \frac{a_i \cos(\omega t - kz_i + \varphi_{0i})}{z_i} = \frac{1}{z} \sum_i \cos(\omega t - kz + \varphi_{0i}) = \frac{a}{z} \cos(\omega t - kz + \varphi_0).$$

Время существования пучка волны  $\tau$  равно по порядку величине  $\sim 10^{-13}$  с, а время разрешения приборов  $\tau_p$  соответственно 0,1 с для глаза,  $10^{-2} \div 10^{-4}$  с для фотометрики,  $10^{-10}$  с для ФЭУ. Во всех случаях  $\tau \ll \tau_p$ . Это значит, что показания прибора есть усреднение по времени принимаемых сигналов.  $a$  и  $\varphi_0$  — плавко изменяющиеся величины.

$f(t, z) = \tilde{a} \cos(\omega t - kz + \tilde{\varphi}_0)$  — ур-ние суперимодулированной моекой волны.

Пучок описывается ур-ием  $E(t, x, y, z) = E_0(x, y) \cos(\omega t - kz + \varphi_0)$ . Пучок характеризуется площадью поперечного сечения  $\sigma$ , мощностью. Мощность пучка  $P$  есть величина  $P = \iint_{-\infty}^{+\infty} I(x, y) dx dy = I_{\text{эфф}} \sigma$ ,  $I_{\text{эфф}} = \frac{P}{\sigma}$ ,

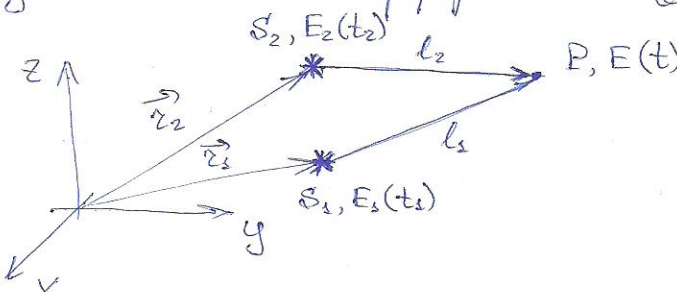
$$E_{\text{эфф}} = \sqrt{2 I_{\text{эфф}} \frac{\epsilon_0 E}{\mu_0}}$$

Чипулье описывается ур-ием  $E(t, x, y, z) = E_0(t, x, y) \cos(\omega t - kz + \varphi_0(t))$ . Чипулье характеризуется полной энергией  $W$ , площадью поперечного сечения  $\sigma$  и характерным временем излучения (динамичностью)  $T$ .

$$W = \iint_{-\infty}^{+\infty} \int_{-\infty}^{+\infty} I(t, x, y) dx dy dt = I_{\text{эфф}} \sigma = P_{\text{эфф}} \sigma, \text{ где } P_{\text{эфф}} = \frac{W}{\sigma}, I_{\text{эфф}} = \frac{W}{\sigma \sigma}. \quad (84)$$

2. Комплексная форма корреляции и степень когерентности.  
Пространственно-временная корреляция. Временная корреляция.  
Однородное и изотропное световое поле.

Общая схема двухволновой интерференции света от двух разных источников света:



\* где пространственно-временное поле светового поля  $S_1$  и  $S_2$ , определяемое радиус-векторами  $\vec{r}_1, \vec{r}_2$  и моментами времени  $t_1, t_2$ . Пусть световое поле в этих точках создается квазиархимеской волной со спиральной временной модуляцией ( $\tau \gg T_0$ ), излучаемой приступательными источниками:

$$\hat{E}_{s,2}(t_{s,2}) = a_{s,2}(t_{s,2}) e^{i(\omega_0 t_{s,2} + \varphi_{s,2}(t_{s,2}))} = A_{s,2}(t_{s,2}) e^{i\omega_0 t_{s,2}}$$

Зримые двухволновые интерференции стационарного излучения в комплексной форме:  $I = \langle E^2(t) \rangle = I_1 + I_2 + \operatorname{Re} \langle \hat{\Gamma}_{s2}(\Delta\tau) \rangle$ .

Комплексная форма пространственно-временной (взаимной) корреляции стационарных колебаний поля в разных точках при  $\Delta\tau$  в моменты времени, отстоящие на  $\Delta\tau$ :

$$\hat{\Gamma}_{s2}(\Delta\tau) \equiv \langle \hat{E}_1(t) \hat{E}_2^*(t + \Delta\tau) \rangle = \langle A_1(t) A_2^*(t + \Delta\tau) \rangle e^{-i\omega_0 \Delta\tau}$$

Комплексная степень пространственно-временной (взаимной) когерентности колебаний  $\hat{\gamma}_{s2}(\Delta\tau)$  в точках  $S_1$  и  $S_2$ :

$$\hat{\gamma}_{s2}(\Delta\tau) \equiv \frac{\hat{\Gamma}_{s2}(\Delta\tau)}{2\sqrt{I_1 I_2}} = \underbrace{\hat{\gamma}_{s2}(\Delta\tau) e^{-i(\omega_0 \Delta\tau - \Psi_{s2}(\Delta\tau))}}_{\rightarrow \text{степень пр.-бр. когерентности колебаний.}}$$

\* суммарному стационарному волнику, полученному от одной точки светового поля:  $\hat{E}_{s,2}(t_{s,2}) = \sqrt{a_{s,2}} \hat{E}_0(t_{s,2})$ . В этом случае:

$$\hat{\Gamma}_{s2}(\Delta\tau) = \sqrt{I_1 I_2} \frac{1}{I_0} \langle \hat{E}_0(t) \hat{E}_0^*(t + \Delta\tau) \rangle = \sqrt{I_1 I_2} \frac{1}{I_0} \hat{\Gamma}(\Delta\tau), \text{ где}$$

$$\hat{\Gamma}(\Delta t) = \langle \hat{E}_o(t) \hat{E}_o^*(t + \Delta t) \rangle = \langle A_o(t) A_o^*(t + \Delta t) \rangle e^{-i\omega_0 \Delta t}$$

Физик временной (авто-) корреляции колебаний наше в данной точке в разные моменты времени.

Комплексная степень временной (авто-) корреляции колебаний:

$$\hat{g}_{12}(\Delta t) \equiv \frac{\hat{\Gamma}_{12}(\Delta t)}{2\sqrt{I_1 I_2}} \equiv \hat{g}(\Delta t) \equiv \frac{\hat{\Gamma}(\Delta t)}{2I_0} = g(\Delta t) e^{-i(\omega_0 \Delta t - \Psi_{12})}, \text{ rge}$$

$g(\Delta t)$  — степень временной (авто-) корреляции колебаний.

✗ стационарное, однородное и изотропное световое поле, когда расположение вторичных источников достаточно будет охарактеризовать только расстояние  $d$  от вторичных источников вдоль фронта волны  $d = |\Sigma_1 - \Sigma_2|$ . В этом случае получим:

$$\hat{\Gamma}_{12}(\Delta t) = \hat{\Gamma}(\Delta t, d) = \langle A(t) A^*(t + \Delta t, d) \rangle e^{-i\omega_0 \Delta t},$$

$$\hat{g}_{12}(\Delta t) = \hat{g}(\Delta t, d) = g(\Delta t, d) e^{-i(\omega_0 \Delta t - \Psi(\Delta t, d))},$$

$$I = I_1 + I_2 + 2\sqrt{I_1 I_2} g(\Delta t, d) \cos(\omega_0 \Delta t - \Psi(\Delta t, d)),$$

$$V(\Delta t, d) \equiv \frac{I_{\max} - I_{\min}}{I_{\max} + I_{\min}} = \frac{2\sqrt{I_1 I_2}}{I_1 + I_2} g(\Delta t, d).$$

## Билет 29.

3. Плотность импульса  $\frac{W}{m^2}$  волны. Давление световой волны на поверхность тела. Импульс фотона.

$\vec{P} = \vec{n} \frac{W}{v^2}$ , rge  $\vec{P}$  — импульс излучения волны;  $W$  — энергия излучения;  $v$  — скорость излучения;  $\vec{n}$  — заданное направление распространения.

$$\vec{G} = \frac{\vec{P}}{V} = \frac{\vec{n} W}{v V} = \vec{n} \frac{\omega}{v}; \text{ rge } \omega \text{ — мощность энергии в единице } V.$$

Значит,  $\vec{S} = \vec{n} \omega v$  — вектор Умова-Пойнтона, можно записать:

$$\boxed{\vec{G} = \frac{\vec{S}}{v^2}}$$

— плотность импульса  
волны.

Давление  $\gamma$ е волны может рассчитываться по выражению из 86  
шпарта. Например, если  $\gamma$ е волны падают по нормали к  
поверхности и полностью отражаются, то давление равно:

$$P_g = \sigma G = \frac{\epsilon}{\nu} = \omega.$$

Если же волна полностью отражается, то по телу переда-  
ется двойной шпарт и давление равно:  $P_g = 2\sigma G = 2\omega$ .

Нетрудно записать формулу в общем случае:

$$P_g = \omega(1+R), \text{ где } R - \text{коэф. отражения.}$$

$$P_\Phi = \frac{h\nu}{c} - \text{шпарт фотона, здесь } \nu - \text{частота колебаний } \gamma\text{е волн.}$$

2. Интерференция квазимохроматического света. Условие ин-  
терференции. Временное описание. Фурье корреляции и её  
свойства. Теорема Винера-Хинчина. Понятие о Фурье-спектро-  
скопии. Разрешающая способность Фурье-спектрометра.  
см. лист 7 (н. 1).

Временное описание.

$$\langle E_{1+2}^2 \rangle = \langle E_1^2 \rangle + \langle E_2^2 \rangle + 2 \langle \vec{E}_1 \vec{E}_2 \rangle \quad (\star)$$

В оптике Юнга излучение квазимохроматического источника  
поступает на два отверстия, после чего собирается в точке Р.  
Если напряженность поля источника меняется во времени по  
закону  $E(t)$ , то  $E_1$  и  $E_2$  в разной временной задержкой по-  
вторяют это поле:  $E_1(t) = E(t-\Delta t)$  и  $E_2(t) = E(t-\Delta t + \tau)$ , где  
 $\Delta t$  - время прохождения волны от  $S \rightarrow S_1$  к точке Р;  
 $\tau = \frac{r_2 - r_1}{c}$  - время задержки, определяемое разностью хода.

Подставив  $E_1$  и  $E_2$  в  $(\star)$  и учитывая, что результат усредне-  
ния от  $\Delta t$  не зависит, получаем:

$$I(\tau) = \langle E_{t+\tau}^2 \rangle = I_0 + I_0 + 2 \langle E(t) E(t+\tau) \rangle.$$

Формула  $B(\tau) = \langle E(t) E(t+\tau) \rangle$  наз. формулой автокорреляции по-нар  $E(t)$ . Основные её свойства:  $B(0) = I_0$ ;  $B(-\tau) = B(\tau)$ ;  $B \rightarrow 0$  при  $\tau \rightarrow \infty$ .

Спектральное описание даёт:  $I(\tau) = 2I_0 + 2 \int_0^\infty S(\omega) \cos(\omega\tau) d\omega$ .

Тогда имеем:  $B(\tau) = \int_0^\infty S(\omega) \cos(\omega\tau) d\omega$ .

$$S(\omega) = \frac{1}{2\pi} \int_{-\infty}^{+\infty} B(\tau) e^{-i\omega\tau} d\tau - \text{теорема Винера - Хинчина.}$$

На этапе преобразования основана Фурье-спектроскопия. Для экспериментального определения спектральной плотности интенсивности  $S(\omega)$  какого-либо источника света используют интерференционную схему. Измеряют интерферограмму  $I(\tau)$ , определяют форму автокорреляции по формуле:  $B(\tau) = \frac{I(\tau)}{2} - I_0$  и затем рассчитывают  $S(\omega)$ .

Основные элементы фурье-спектрометра являются интерферометр Майкельсона:

$$R = \frac{2L}{\lambda_0}$$

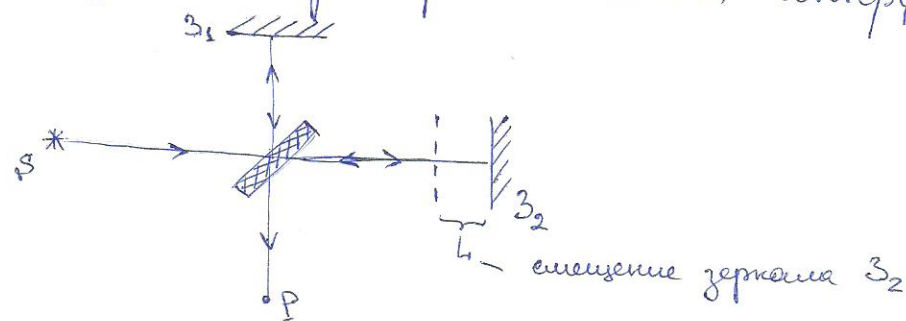


Рисунок 30.

5. Роль дифракции в приборах, формирующих изображение. Предел разрешения и разрешающая способность оптического прибора: Телескоп, микроскоп. Уравнение синусов Аббе.

Конечная апертура линзы улавливает конечную полосу пространственных частот спектра излучения объекта.

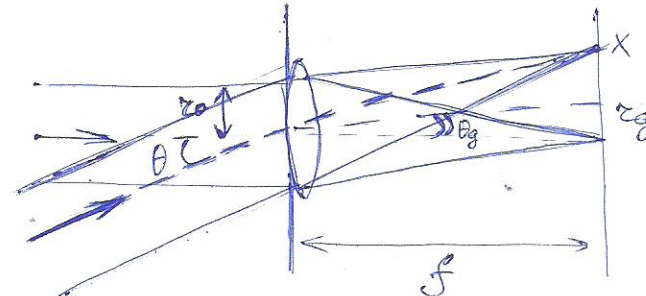
Изображением светящейся точки в сопряжённой плоскости (88) дифракционной картины, состоящей из концентрических колец, окружающих центральный световой круглый (ядро) — круглый Эйри. Изображение объекта есть наложение таких кругов и дифракционных колец.

Разрешающая способность оптических приборов ограничивается дифракцией Фраунгофера на их входной апертуре.

Предел углового (линейного) разрешения оптического прибора  $\delta\theta (\delta l)$  — минимальное угловое (линейное) расстояние между двумя светящимися точками объекта, которое разрешает прибор.

Разрешающая способность (сона) оптического прибора  $R$  — величина, обратная пределу разрешения —  $R = 1/\delta\theta$ .

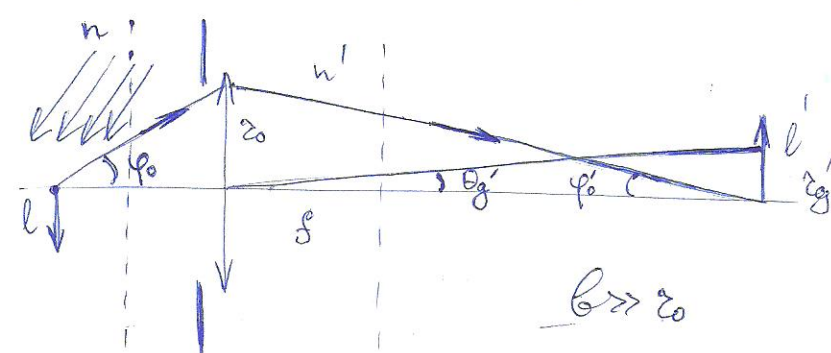
Телескоп:



Видимые масштабы —  $a \gg \frac{\lambda^2}{d}$ , пространственные когерентные —

В соответствии с критерием Рэлея:  $\delta\theta = \Theta_g = 0,65 \frac{\lambda}{d} \Rightarrow R = \frac{d}{0,65 \lambda}$ .

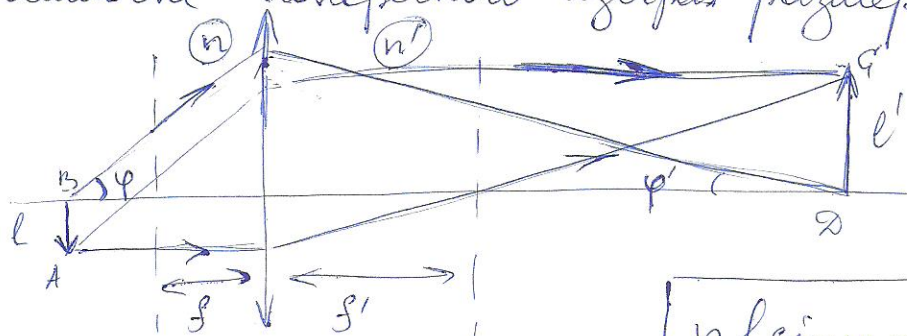
Микроскоп:



$R = \frac{1}{\delta l} = \frac{n \sin \varphi_0}{0,65 \lambda}$  — для некогерентного освещения объекта.

$R = \frac{2n}{\lambda}$  — для когерентного освещения объекта.

В случае стigmaticеских изображений, когда каждой (89) светящейся точке объекта соответствует одна точка изображения, оптические длины всех лучей, соединяющих спроецируемые единичные точки объекта и его изображения одинаковы. Условие, при котором оптические длины лучей, соединяющих любые единичные точки, одинаковы записывается в виде изотропного изображения (высоты)  $\ell$  объекта.



$$n l \sin \varphi = n' l' \sin \varphi'$$

- ур-ние  
синусов  
Лобе.

2. Изучение света отражения и преломления. Модель двухуровневой системы. Спонтанные и вынужденные радиационные переходы. Коэффициент Эйнштейна. Взаимосвязь коэффициентов Эйнштейна, формула Планка.

см. Рисунок 17 (н. 2)

22.04.2014

А.Мелук